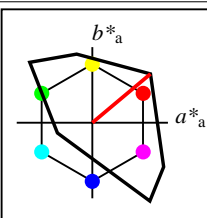


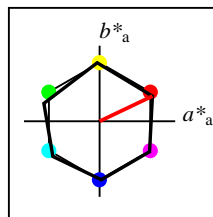
%Umfang  
 $u^*_{rel} = 158$   
%Regularität  
 $g^*_{H,rel} = 20$   
 $g^*_{C,rel} = 37$

TLS00	$L^*=L^*_a$	$a^*_a$	$b^*_a$	$C^*_{ab,a}$	$h^*_{ab,a}$
O <sub>M</sub>	50.5	76.92	64.55	100.42	40
Y <sub>M</sub>	92.66	-20.69	90.75	93.08	103
L <sub>M</sub>	83.63	-82.75	79.9	115.04	136
C <sub>M</sub>	86.88	-46.16	-13.55	48.12	196
V <sub>M</sub>	30.39	76.06	-103.59	128.52	306
M <sub>M</sub>	57.3	94.35	-58.41	110.97	328
N <sub>M</sub>	0.01	0.0	0.0	0.0	0
W <sub>M</sub>	95.41	0.0	0.0	0.0	0
R <sub>CIE</sub>	39.92	58.74	27.99	65.07	25
J <sub>CIE</sub>	81.26	-2.88	71.56	71.62	92
G <sub>CIE</sub>	52.23	-42.41	13.6	44.55	162
B <sub>CIE</sub>	30.57	1.41	-46.46	46.49	272



%Umfang  
 $u^*_{rel} = 158$   
%Regularität  
 $g^*_{H,rel} = 20$   
 $g^*_{C,rel} = 37$

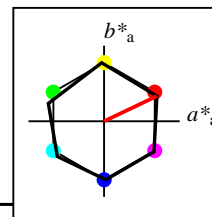
TLS00a; adaptierte CIELAB-Daten	$L^*=L^*_a$	$a^*_a$	$b^*_a$	$C^*_{ab,a}$	$h^*_{ab,a}$
O <sub>Ma</sub>	50.5	76.92	64.55	100.42	40
Y <sub>Ma</sub>	92.66	-20.69	90.75	93.08	103
L <sub>Ma</sub>	83.63	-82.75	79.9	115.04	136
C <sub>Ma</sub>	86.88	-46.16	-13.55	48.12	196
V <sub>Ma</sub>	30.39	76.06	-103.59	128.52	306
M <sub>Ma</sub>	57.3	94.35	-58.41	110.97	328
N <sub>Ma</sub>	0.01	0.0	0.0	0.0	0
W <sub>Ma</sub>	95.41	0.0	0.0	0.0	0
R <sub>CIE</sub>	39.92	58.74	27.99	65.07	25
J <sub>CIE</sub>	81.26	-2.88	71.56	71.62	92
G <sub>CIE</sub>	52.23	-42.41	13.6	44.55	162
B <sub>CIE</sub>	30.57	1.41	-46.46	46.49	272



%Umfang  
 $u^*_{rel} = 100$   
%Regularität  
 $g^*_{H,rel} = 78$   
 $g^*_{C,rel} = 100$

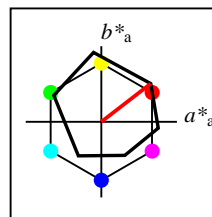
NRS18a; adaptierte CIELAB-Daten	$L^*=L^*_a$	$a^*_a$	$b^*_a$	$C^*_{ab,a}$	$h^*_{ab,a}$
O <sub>Ma</sub>	56.71	69.87	33.29	77.4	25
Y <sub>Ma</sub>	56.71	-3.1	77.34	77.4	92
L <sub>Ma</sub>	56.71	-73.68	23.63	77.39	162
C <sub>Ma</sub>	56.71	-61.81	-46.54	77.39	217
V <sub>Ma</sub>	56.71	2.35	-77.34	77.39	272
M <sub>Ma</sub>	56.71	66.07	-40.3	77.4	329
N <sub>Ma</sub>	18.01	0.0	0.0	0.0	0
W <sub>Ma</sub>	95.41	0.0	0.0	0.0	0
R <sub>CIE</sub>	39.92	58.74	27.99	65.07	25
J <sub>CIE</sub>	81.26	-2.88	71.56	71.62	92
G <sub>CIE</sub>	52.23	-42.41	13.6	44.55	162
B <sub>CIE</sub>	30.57	1.41	-46.46	46.49	272

Workflow-Wahlen  
für Farbmuster:  
1. keine Farbänderung  
2. Buntton-Änderung  
3. Buntheits-Änderung



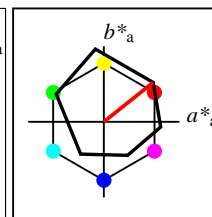
%Umfang  
 $u^*_{rel} = 100$   
%Regularität  
 $g^*_{H,rel} = 78$   
 $g^*_{C,rel} = 100$

NRS18a; adaptierte CIELAB-Daten	$L^*=L^*_a$	$a^*_a$	$b^*_a$	$C^*_{ab,a}$	$h^*_{ab,a}$
O <sub>Ma</sub>	56.71	69.87	33.29	77.4	25
Y <sub>Ma</sub>	56.71	-3.1	77.34	77.4	92
L <sub>Ma</sub>	56.71	-73.68	23.63	77.39	162
C <sub>Ma</sub>	56.71	-61.81	-46.54	77.39	217
V <sub>Ma</sub>	56.71	2.35	-77.34	77.39	272
M <sub>Ma</sub>	56.71	66.07	-40.3	77.4	329
N <sub>Ma</sub>	18.01	0.0	0.0	0.0	0
W <sub>Ma</sub>	95.41	0.0	0.0	0.0	0
R <sub>CIE</sub>	39.92	58.74	27.99	65.07	25
J <sub>CIE</sub>	81.26	-2.88	71.56	71.62	92
G <sub>CIE</sub>	52.23	-42.41	13.6	44.55	162
B <sub>CIE</sub>	30.57	1.41	-46.46	46.49	272



%Umfang  
 $u^*_{rel} = 93$   
%Regularität  
 $g^*_{H,rel} = 57$   
 $g^*_{C,rel} = 59$

ORS18a; adaptierte CIELAB-Daten	$L^*=L^*_a$	$a^*_a$	$b^*_a$	$C^*_{ab,a}$	$h^*_{ab,a}$
O <sub>Ma</sub>	47.94	65.39	50.52	82.63	38
Y <sub>Ma</sub>	90.37	-10.26	91.75	92.32	96
L <sub>Ma</sub>	50.9	-62.83	34.96	71.91	151
C <sub>Ma</sub>	58.62	-30.34	-45.01	54.3	236
V <sub>Ma</sub>	25.72	31.1	-44.4	54.22	305
M <sub>Ma</sub>	48.13	75.28	-8.36	75.74	354
N <sub>Ma</sub>	18.01	0.0	0.0	0.0	0
W <sub>Ma</sub>	95.41	0.0	0.0	0.0	0
R <sub>CIE</sub>	39.92	58.66	26.98	64.57	25
J <sub>CIE</sub>	81.26	-2.16	67.76	67.79	92
G <sub>CIE</sub>	52.23	-42.25	11.76	43.87	164
B <sub>CIE</sub>	30.57	1.15	-46.84	46.86	271



%Umfang  
 $u^*_{rel} = 94$   
%Regularität  
 $g^*_{H,rel} = 58$   
 $g^*_{C,rel} = 54$

ORS18	$L^*=L^*_a$	$a^*_a$	$b^*_a$	$C^*_{ab,a}$	$h^*_{ab,a}$
O <sub>M</sub>	47.94	65.31	52.07	83.53	39
Y <sub>M</sub>	90.37	-11.15	96.17	96.82	97
L <sub>M</sub>	50.9	-62.96	36.71	72.89	150
C <sub>M</sub>	58.62	-30.62	-42.74	52.59	234
V <sub>M</sub>	25.72	31.45	-44.35	54.38	305
M <sub>M</sub>	48.13	75.2	-6.79	75.51	355
N <sub>M</sub>	18.01	0.5	-0.46	0.69	317
W <sub>M</sub>	95.41	-0.98	4.76	4.86	102
R <sub>CIE</sub>	39.92	58.74	27.99	65.07	25
J <sub>CIE</sub>	81.26	-2.88	71.56	71.62	92
G <sub>CIE</sub>	52.23	-42.41	13.6	44.55	162
B <sub>CIE</sub>	30.57	1.41	-46.46	46.49	272

**Relatives CIELAB-Buntheitsdiagramm:** ( $a^*_r = lab^*a$ ,  $b^*_r = lab^*b$ ) und **absolutes CIELAB Bunttondreiecks-Diagramm:** ( $L^*$ ,  $C^*_{ab}$ ) für Ein- (---) und Ausgabe (----) TLS00: Eingabe (i) Farbmatrik-Sytem; Sechs Bunttonwinkel des Farbgerätes: (40.0, 102.8, 136.0, 196.4, 306.3, 328.2); Vier Bunttonwinkel der Elementarfarben: (25.5, 92.3, 162.2, 271.7) ORS18: Ausgabe (o) Farbmatrik-Sytem; Sechs Bunttonwinkel des Farbgerätes: (37.7, 96.4, 150.9, 236.0, 305.0, 353.7); Vier Bunttonwinkel der Elementarfarben: (24.7, 91.8, 164.5, 271.4)

#### Y Gelb

$olv3Mi = 1.0 \ 1.0 \ 0.0$   
 $olv3Mo = 0.881 \ 1.0 \ 0.0$   
 $LCHMi = 92.7 \ 93.1 \ 103$   
 $LCHo = 85.7 \ 89.9 \ 103$   
 $tchMi = 0.5 \ 1.0 \ 0.286$   
 $tchMo = 0.5 \ 1.0 \ 0.286$

#### L Laubgrün

$olv3Mi = 0.0 \ 1.0 \ 0.0$   
 $olv3Mo = 0.273 \ 1.0 \ 0.0$   
 $LCHMi = 83.6 \ 115.0 \ 136$   
 $LCHo = 61.7 \ 77.5 \ 136$   
 $tchMi = 0.5 \ 1.0 \ 0.378$   
 $tchMo = 0.5 \ 1.0 \ 0.378$

#### C Cyanblau

$olv3Mi = 0.0 \ 1.0 \ 1.0$   
 $olv3Mo = 0.0 \ 1.0 \ 0.534$   
 $LCHMi = 86.9 \ 48.1 \ 196$   
 $LCHo = 55.0 \ 62.5 \ 196$   
 $tchMi = 0.5 \ 1.0 \ 0.545$   
 $tchMo = 0.5 \ 1.0 \ 0.545$

#### O Orangerot

$olv3Mi = 1.0 \ 0.0 \ 0.0$   
 $olv3Mo = 1.0 \ 0.039 \ 0.0$   
 $LCHMi = 50.5 \ 100.4 \ 40$   
 $LCHo = 49.6 \ 83.0 \ 40$   
 $tchMi = 0.5 \ 1.0 \ 0.111$   
 $tchMo = 0.5 \ 1.0 \ 0.111$

#### M Magentarot

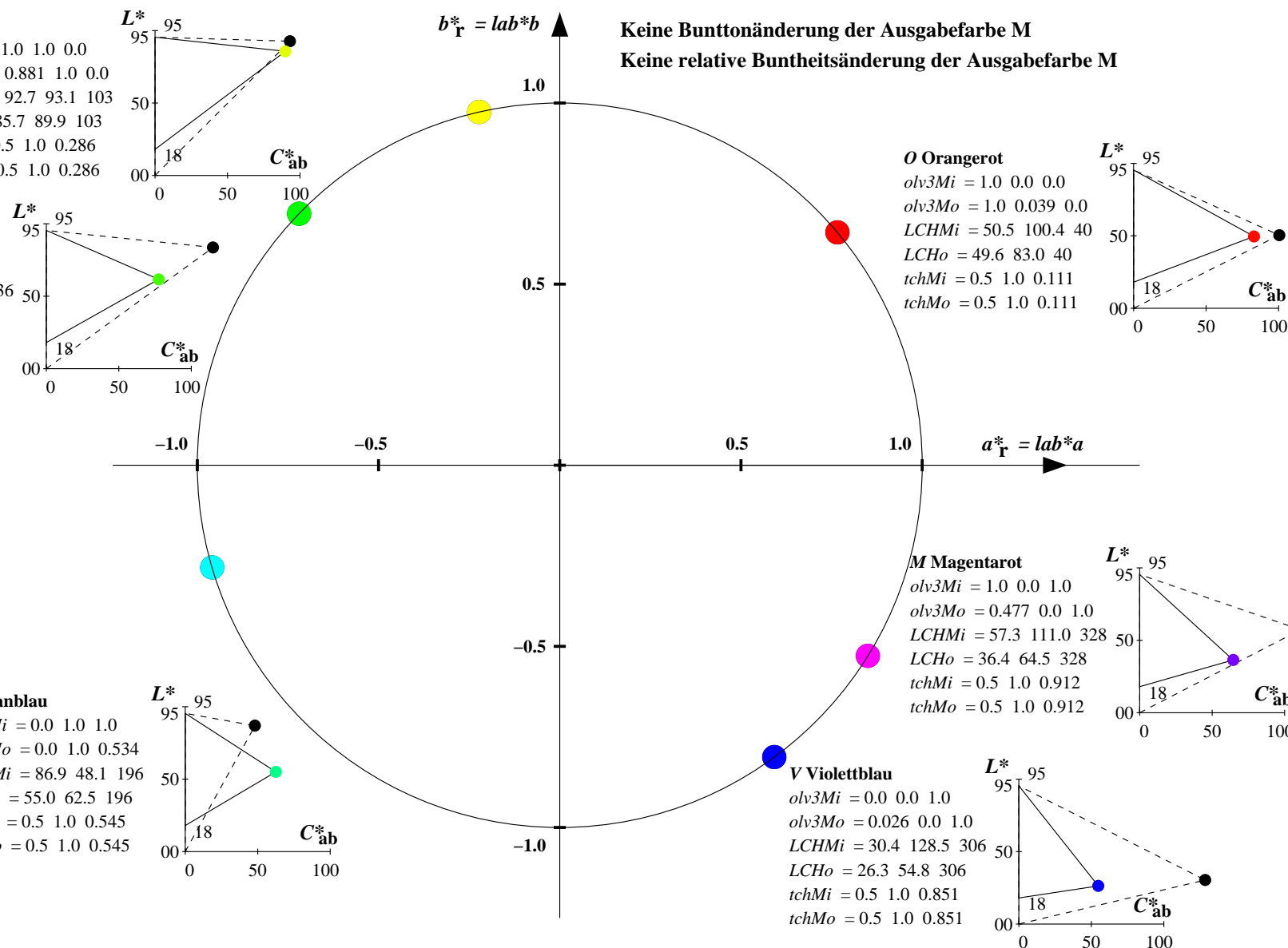
$olv3Mi = 1.0 \ 0.0 \ 1.0$   
 $olv3Mo = 0.477 \ 0.0 \ 1.0$   
 $LCHMi = 57.3 \ 111.0 \ 328$   
 $LCHo = 36.4 \ 64.5 \ 328$   
 $tchMi = 0.5 \ 1.0 \ 0.912$   
 $tchMo = 0.5 \ 1.0 \ 0.912$

#### V Violettblau

$olv3Mi = 0.0 \ 0.0 \ 1.0$   
 $olv3Mo = 0.026 \ 0.0 \ 1.0$   
 $LCHMi = 30.4 \ 128.5 \ 306$   
 $LCHo = 26.3 \ 54.8 \ 306$   
 $tchMi = 0.5 \ 1.0 \ 0.851$   
 $tchMo = 0.5 \ 1.0 \ 0.851$

Keine Bunttonänderung der Ausgabefarbe M

Keine relative Buntheitsänderung der Ausgabefarbe M



**Relatives CIELAB-Buntheitsdiagramm:** ( $a^*_r = lab^*a$ ,  $b^*_r = lab^*b$ ) und **absolutes CIELAB Bunttondreiecks-Diagramm:** ( $L^*$ ,  $C^*_{ab}$ ) für Ein- (---) und Ausgabe (----) TLS00: Eingabe (i) Farbmatrik-Sytem; Sechs Bunttonwinkel des Farbgerätes: (40.0, 102.8, 136.0, 196.4, 306.3, 328.2); Vier Bunttonwinkel der Elementarfarben: (25.5, 92.3, 162.2, 271.7) ORS18: Ausgabe (o) Farbmatrik-Sytem; Sechs Bunttonwinkel des Farbgerätes: (37.7, 96.4, 150.9, 236.0, 305.0, 353.7); Vier Bunttonwinkel der Elementarfarben: (24.7, 91.8, 164.5, 271.4)

#### Y Gelb

$olv3Mi = 1.0 \ 1.0 \ 0.0$   
 $olv3Mo = 0.698 \ 1.0 \ 0.0$   
 $LCHMi = 92.7 \ 93.1 \ 103$   
 $LCHo = 78.4 \ 86.2 \ 113$   
 $tchMi = 0.5 \ 1.0 \ 0.286$   
 $tchMo = 0.5 \ 1.0 \ 0.313$

#### L Laubgrün

$olv3Mi = 0.0 \ 1.0 \ 0.0$   
 $olv3Mo = 0.09 \ 1.0 \ 0.0$   
 $LCHMi = 83.6 \ 115.0 \ 136$   
 $LCHo = 54.4 \ 73.7 \ 146$   
 $tchMi = 0.5 \ 1.0 \ 0.378$   
 $tchMo = 0.5 \ 1.0 \ 0.406$

#### C Cyanblau

$olv3Mi = 0.0 \ 1.0 \ 1.0$   
 $olv3Mo = 0.0 \ 1.0 \ 0.652$   
 $LCHMi = 86.9 \ 48.1 \ 196$   
 $LCHo = 55.9 \ 60.4 \ 206$   
 $tchMi = 0.5 \ 1.0 \ 0.545$   
 $tchMo = 0.5 \ 1.0 \ 0.573$

#### O Orangerot

$olv3Mi = 1.0 \ 0.0 \ 0.0$   
 $olv3Mo = 1.0 \ 0.21 \ 0.0$   
 $LCHMi = 50.5 \ 100.4 \ 40$   
 $LCHo = 56.8 \ 84.7 \ 50$   
 $tchMi = 0.5 \ 1.0 \ 0.111$   
 $tchMo = 0.5 \ 1.0 \ 0.139$

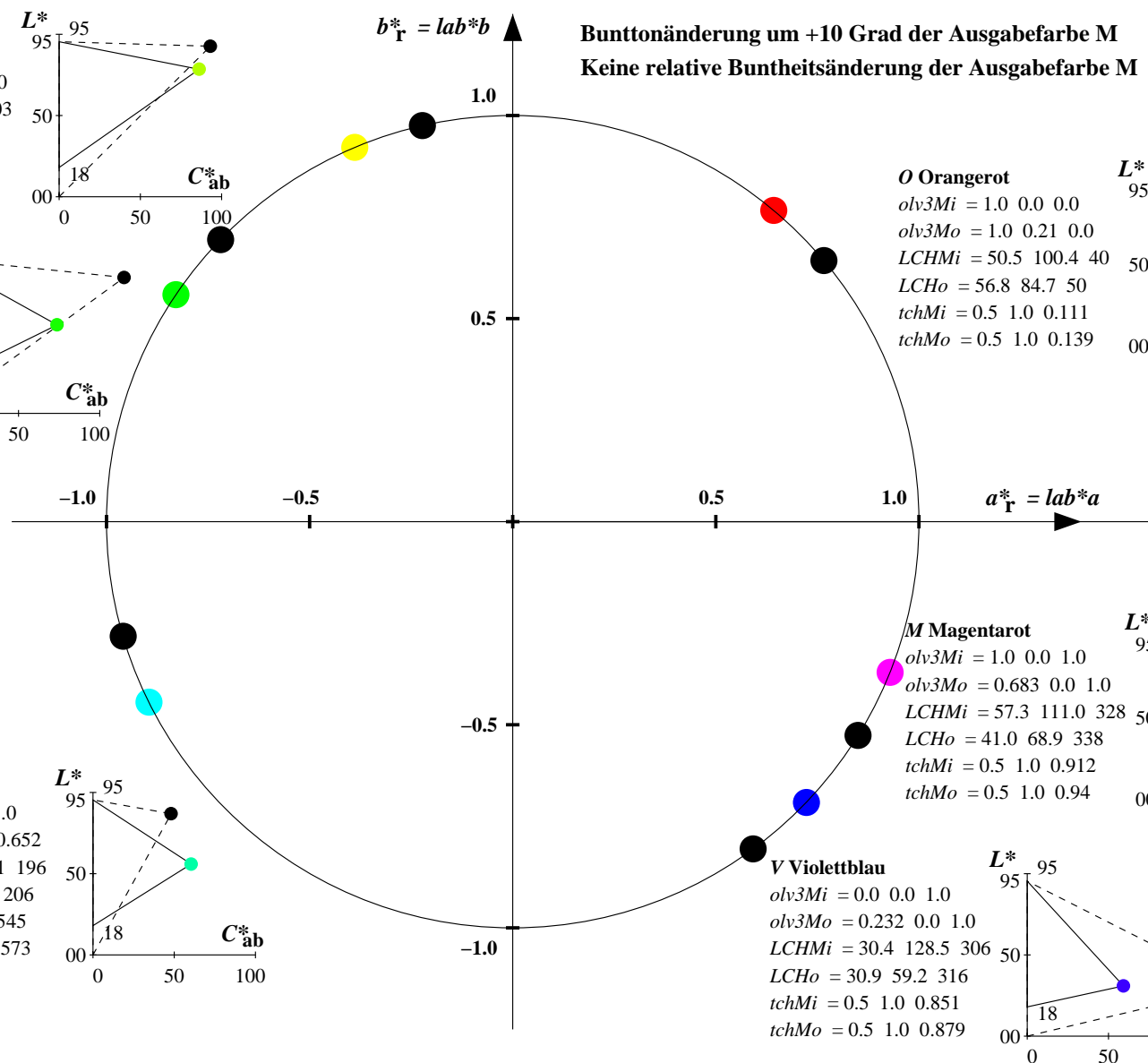
#### M Magentarot

$olv3Mi = 1.0 \ 0.0 \ 1.0$   
 $olv3Mo = 0.683 \ 0.0 \ 1.0$   
 $LCHMi = 57.3 \ 111.0 \ 328$   
 $LCHo = 41.0 \ 68.9 \ 338$   
 $tchMi = 0.5 \ 1.0 \ 0.912$   
 $tchMo = 0.5 \ 1.0 \ 0.94$

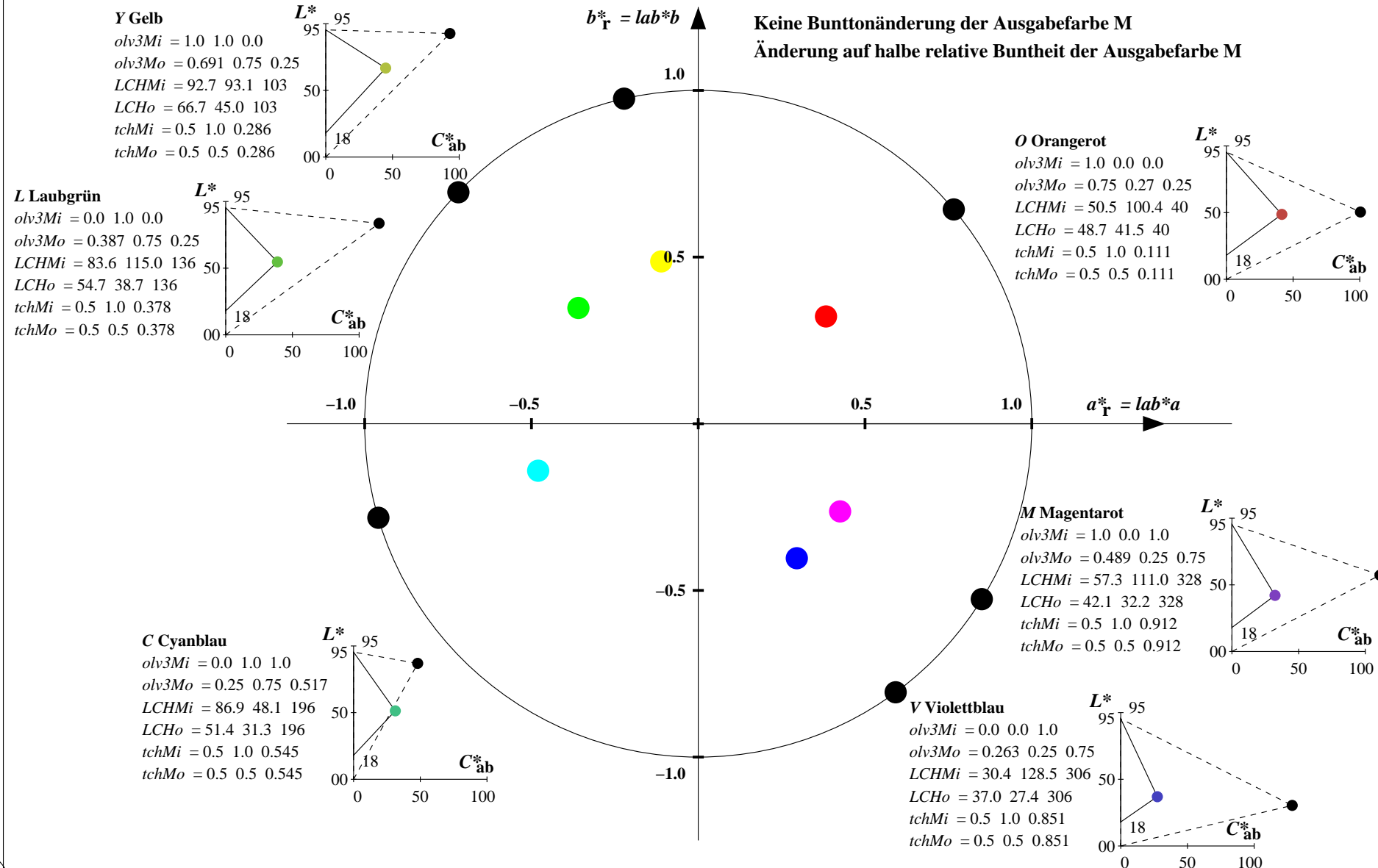
#### V Violettblau

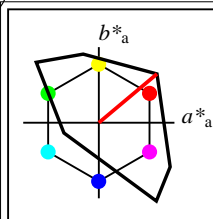
$olv3Mi = 0.0 \ 0.0 \ 1.0$   
 $olv3Mo = 0.232 \ 0.0 \ 1.0$   
 $LCHMi = 30.4 \ 128.5 \ 306$   
 $LCHo = 30.9 \ 59.2 \ 316$   
 $tchMi = 0.5 \ 1.0 \ 0.851$   
 $tchMo = 0.5 \ 1.0 \ 0.879$

**Bunttonänderung um +10 Grad der Ausgabefarbe M**  
**Keine relative Buntheitsänderung der Ausgabefarbe M**



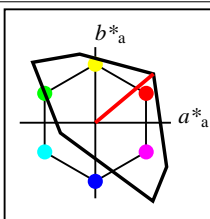
**Relatives CIELAB-Buntheitsdiagramm:** ( $a_R^* = lab^*a$ ,  $b_R^* = lab^*b$ ) und **absolutes CIELAB Bunttondreiecks-Diagramm:** ( $L^*$ ,  $C_{ab}^*$ ) für Ein- (---) und Ausgabe (----) TLS00: Eingabe (i) Farbmatrik-Sytem; Sechs Bunttonwinkel des Farbgerätes: (40.0, 102.8, 136.0, 196.4, 306.3, 328.2); Vier Bunttonwinkel der Elementarfarben: (25.5, 92.3, 162.2, 271.7) ORS18: Ausgabe (o) Farbmatrik-Sytem; Sechs Bunttonwinkel des Farbgerätes: (37.7, 96.4, 150.9, 236.0, 305.0, 353.7); Vier Bunttonwinkel der Elementarfarben: (24.7, 91.8, 164.5, 271.4)





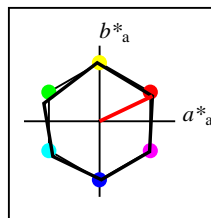
%Umfang  
 $u^*_{rel} = 158$   
%Regularität  
 $g^*_{H,rel} = 20$   
 $g^*_{C,rel} = 37$

TLS00	$L^*=L^*_a$	$a^*_a$	$b^*_a$	$C^*_{ab,a}$	$h^*_{ab,a}$
O <sub>M</sub>	50.5	76.92	64.55	100.42	40
Y <sub>M</sub>	92.66	-20.69	90.75	93.08	103
L <sub>M</sub>	83.63	-82.75	79.9	115.04	136
C <sub>M</sub>	86.88	-46.16	-13.55	48.12	196
V <sub>M</sub>	30.39	76.06	-103.59	128.52	306
M <sub>M</sub>	57.3	94.35	-58.41	110.97	328
N <sub>M</sub>	0.01	0.0	0.0	0.0	0
W <sub>M</sub>	95.41	0.0	0.0	0.0	0
R <sub>CIE</sub>	39.92	58.74	27.99	65.07	25
J <sub>CIE</sub>	81.26	-2.88	71.56	71.62	92
G <sub>CIE</sub>	52.23	-42.41	13.6	44.55	162
B <sub>CIE</sub>	30.57	1.41	-46.46	46.49	272



%Umfang  
 $u^*_{rel} = 158$   
%Regularität  
 $g^*_{H,rel} = 20$   
 $g^*_{C,rel} = 37$

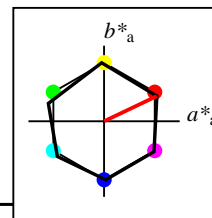
TLS00a; adaptierte CIELAB-Daten	$L^*=L^*_a$	$a^*_a$	$b^*_a$	$C^*_{ab,a}$	$h^*_{ab,a}$
O <sub>Ma</sub>	50.5	76.92	64.55	100.42	40
Y <sub>Ma</sub>	92.66	-20.69	90.75	93.08	103
L <sub>Ma</sub>	83.63	-82.75	79.9	115.04	136
C <sub>Ma</sub>	86.88	-46.16	-13.55	48.12	196
V <sub>Ma</sub>	30.39	76.06	-103.59	128.52	306
M <sub>Ma</sub>	57.3	94.35	-58.41	110.97	328
N <sub>Ma</sub>	0.01	0.0	0.0	0.0	0
W <sub>Ma</sub>	95.41	0.0	0.0	0.0	0
R <sub>CIE</sub>	39.92	58.74	27.99	65.07	25
J <sub>CIE</sub>	81.26	-2.88	71.56	71.62	92
G <sub>CIE</sub>	52.23	-42.41	13.6	44.55	162
B <sub>CIE</sub>	30.57	1.41	-46.46	46.49	272



%Umfang  
 $u^*_{rel} = 100$   
%Regularität  
 $g^*_{H,rel} = 78$   
 $g^*_{C,rel} = 100$

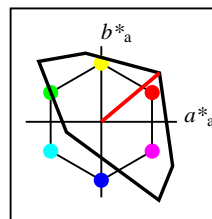
NRS18a; adaptierte CIELAB-Daten	$L^*=L^*_a$	$a^*_a$	$b^*_a$	$C^*_{ab,a}$	$h^*_{ab,a}$
O <sub>Ma</sub>	56.71	69.87	33.29	77.4	25
Y <sub>Ma</sub>	56.71	-3.1	77.34	77.4	92
L <sub>Ma</sub>	56.71	-73.68	23.63	77.39	162
C <sub>Ma</sub>	56.71	-61.81	-46.54	77.39	217
V <sub>Ma</sub>	56.71	2.35	-77.34	77.39	272
M <sub>Ma</sub>	56.71	66.07	-40.3	77.4	329
N <sub>Ma</sub>	18.01	0.0	0.0	0.0	0
W <sub>Ma</sub>	95.41	0.0	0.0	0.0	0
R <sub>CIE</sub>	39.92	58.74	27.99	65.07	25
J <sub>CIE</sub>	81.26	-2.88	71.56	71.62	92
G <sub>CIE</sub>	52.23	-42.41	13.6	44.55	162
B <sub>CIE</sub>	30.57	1.41	-46.46	46.49	272

Workflow-Wahlen  
für Farbmuster:  
1. keine Farbänderung  
2. Buntton-Änderung  
3. Buntheits-Änderung



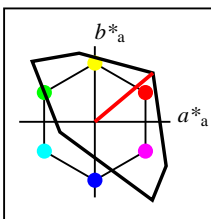
%Umfang  
 $u^*_{rel} = 100$   
%Regularität  
 $g^*_{H,rel} = 78$   
 $g^*_{C,rel} = 100$

NRS18a; adaptierte CIELAB-Daten	$L^*=L^*_a$	$a^*_a$	$b^*_a$	$C^*_{ab,a}$	$h^*_{ab,a}$
O <sub>Ma</sub>	56.71	69.87	33.29	77.4	25
Y <sub>Ma</sub>	56.71	-3.1	77.34	77.4	92
L <sub>Ma</sub>	56.71	-73.68	23.63	77.39	162
C <sub>Ma</sub>	56.71	-61.81	-46.54	77.39	217
V <sub>Ma</sub>	56.71	2.35	-77.34	77.39	272
M <sub>Ma</sub>	56.71	66.07	-40.3	77.4	329
N <sub>Ma</sub>	18.01	0.0	0.0	0.0	0
W <sub>Ma</sub>	95.41	0.0	0.0	0.0	0
R <sub>CIE</sub>	39.92	58.74	27.99	65.07	25
J <sub>CIE</sub>	81.26	-2.88	71.56	71.62	92
G <sub>CIE</sub>	52.23	-42.41	13.6	44.55	162
B <sub>CIE</sub>	30.57	1.41	-46.46	46.49	272



%Umfang  
 $u^*_{rel} = 158$   
%Regularität  
 $g^*_{H,rel} = 20$   
 $g^*_{C,rel} = 37$

TLS00a; adaptierte CIELAB-Daten	$L^*=L^*_a$	$a^*_a$	$b^*_a$	$C^*_{ab,a}$	$h^*_{ab,a}$
O <sub>Ma</sub>	50.5	76.92	64.55	100.42	40
Y <sub>Ma</sub>	92.66	-20.69	90.75	93.08	103
L <sub>Ma</sub>	83.63	-82.75	79.9	115.04	136
C <sub>Ma</sub>	86.88	-46.16	-13.55	48.12	196
V <sub>Ma</sub>	30.39	76.06	-103.59	128.52	306
M <sub>Ma</sub>	57.3	94.35	-58.41	110.97	328
N <sub>Ma</sub>	0.01	0.0	0.0	0.0	0
W <sub>Ma</sub>	95.41	0.0	0.0	0.0	0
R <sub>CIE</sub>	39.92	58.74	27.99	65.07	25
J <sub>CIE</sub>	81.26	-2.88	71.56	71.62	92
G <sub>CIE</sub>	52.23	-42.41	13.6	44.55	162
B <sub>CIE</sub>	30.57	1.41	-46.46	46.49	272



%Umfang  
 $u^*_{rel} = 158$   
%Regularität  
 $g^*_{H,rel} = 20$   
 $g^*_{C,rel} = 37$

TLS00	$L^*=L^*_a$	$a^*_a$	$b^*_a$	$C^*_{ab,a}$	$h^*_{ab,a}$
O <sub>M</sub>	50.5	76.92	64.55	100.42	40
Y <sub>M</sub>	92.66	-20.69	90.75	93.08	103
L <sub>M</sub>	83.63	-82.75	79.9	115.04	136
C <sub>M</sub>	86.88	-46.16	-13.55	48.12	196
V <sub>M</sub>	30.39	76.06	-103.59	128.52	306
M <sub>M</sub>	57.3	94.35	-58.41	110.97	328
N <sub>M</sub>	0.01	0.0	0.0	0.0	0
W <sub>M</sub>	95.41	0.0	0.0	0.0	0
R <sub>CIE</sub>	39.92	58.74	27.99	65.07	25
J <sub>CIE</sub>	81.26	-2.88	71.56	71.62	92
G <sub>CIE</sub>	52.23	-42.41	13.6	44.55	162
B <sub>CIE</sub>	30.57	1.41	-46.46	46.49	272



Relatives CIELAB-Buntheitsdiagramm: ( $a_R^* = lab^*a$ ,  $b_R^* = lab^*b$ ) und absolutes CIELAB Bunttondreiecks-Diagramm: ( $L^*$ ,  $C_{ab}^*$ ) für Ein- (—) und Ausgabe (---)  
TLS00: Eingabe (i) Farbmatrik-Sytem; Sechs Bunttonwinkel des Farbgerätes: (40.0, 102.8, 136.0, 196.4, 306.3, 328.2); Vier Bunttonwinkel der Elementarfarben: (25.5, 92.3, 162.2, 271.7)  
TLS00: Ausgabe (o) Farbmatrik-Sytem; Sechs Bunttonwinkel des Farbgerätes: (40.0, 102.8, 136.0, 196.4, 306.3, 328.2); Vier Bunttonwinkel der Elementarfarben: (25.5, 92.3, 162.2, 271.7)

#### Y Gelb

olv3Mi = 1.0 1.0 0.0  
olv3Mo = 1.0 1.0 0.0  
LCHMi = 92.7 93.1 103  
LCHo = 92.7 93.1 103  
tchMi = 0.5 1.0 0.286  
tchMo = 0.5 1.0 0.286

#### L Laubgrün

olv3Mi = 0.0 1.0 0.0  
olv3Mo = 0.0 1.0 0.0  
LCHMi = 83.6 115.0 136  
LCHo = 83.6 115.0 136  
tchMi = 0.5 1.0 0.378  
tchMo = 0.5 1.0 0.378

#### C Cyanblau

olv3Mi = 0.0 1.0 1.0  
olv3Mo = 0.0 1.0 1.0  
LCHMi = 86.9 48.1 196  
LCHo = 86.9 48.1 196  
tchMi = 0.5 1.0 0.545  
tchMo = 0.5 1.0 0.545

#### O Orangerot

olv3Mi = 1.0 0.0 0.0  
olv3Mo = 1.0 0.0 0.0  
LCHMi = 50.5 100.4 40  
LCHo = 50.5 100.4 40  
tchMi = 0.5 1.0 0.111  
tchMo = 0.5 1.0 0.111

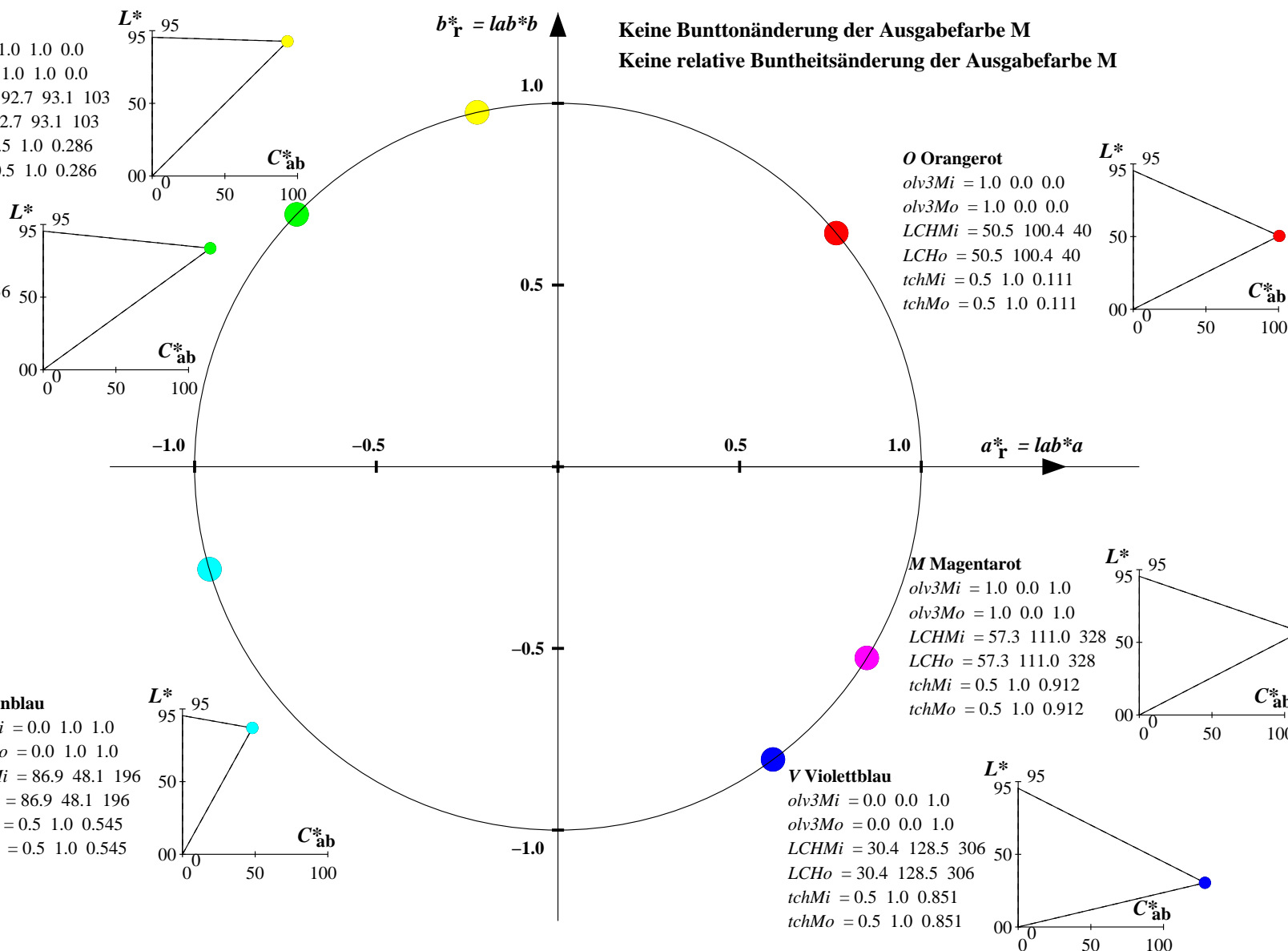
#### M Magentarot

olv3Mi = 1.0 0.0 1.0  
olv3Mo = 1.0 0.0 1.0  
LCHMi = 57.3 111.0 328  
LCHo = 57.3 111.0 328  
tchMi = 0.5 1.0 0.912  
tchMo = 0.5 1.0 0.912

#### V Violettblau

olv3Mi = 0.0 0.0 1.0  
olv3Mo = 0.0 0.0 1.0  
LCHMi = 30.4 128.5 306  
LCHo = 30.4 128.5 306  
tchMi = 0.5 1.0 0.851  
tchMo = 0.5 1.0 0.851

Keine Bunttonänderung der Ausgabefarbe M  
Keine relative Buntheitsänderung der Ausgabefarbe M



Relatives CIELAB-Buntheitsdiagramm: ( $a^*_r = lab^*a$ ,  $b^*_r = lab^*b$ ) und absolutes CIELAB Bunttondreiecks-Diagramm: ( $L^*$ ,  $C^*_{ab}$ ) für Ein- (---) und Ausgabe (----) TLS00: Eingabe (i) Farbmatrik-Sytem; Sechs Bunttonwinkel des Farbgerätes: (40.0, 102.8, 136.0, 196.4, 306.3, 328.2); Vier Bunttonwinkel der Elementarfarben: (25.5, 92.3, 162.2, 271.7)  
TLS00: Ausgabe (o) Farbmatrik-Sytem; Sechs Bunttonwinkel des Farbgerätes: (40.0, 102.8, 136.0, 196.4, 306.3, 328.2); Vier Bunttonwinkel der Elementarfarben: (25.5, 92.3, 162.2, 271.7)

#### Y Gelb

olv3Mi = 1.0 1.0 0.0  
olv3Mo = 0.698 1.0 0.0  
LCHMi = 92.7 93.1 103  
LCHo = 89.9 99.7 113  
tchMi = 0.5 1.0 0.286  
tchMo = 0.5 1.0 0.313

#### L Laubgrün

olv3Mi = 0.0 1.0 0.0  
olv3Mo = 0.0 1.0 0.166  
LCHMi = 83.6 115.0 136  
LCHo = 84.2 103.9 146  
tchMi = 0.5 1.0 0.378  
tchMo = 0.5 1.0 0.406

#### C Cyanblau

olv3Mi = 0.0 1.0 1.0  
olv3Mo = 0.0 0.909 1.0  
LCHMi = 86.9 48.1 196  
LCHo = 81.7 55.4 206  
tchMi = 0.5 1.0 0.545  
tchMo = 0.5 1.0 0.573

#### O Orangerot

olv3Mi = 1.0 0.0 0.0  
olv3Mo = 1.0 0.159 0.0  
LCHMi = 50.5 100.4 40  
LCHo = 57.2 99.2 50  
tchMi = 0.5 1.0 0.111  
tchMo = 0.5 1.0 0.139

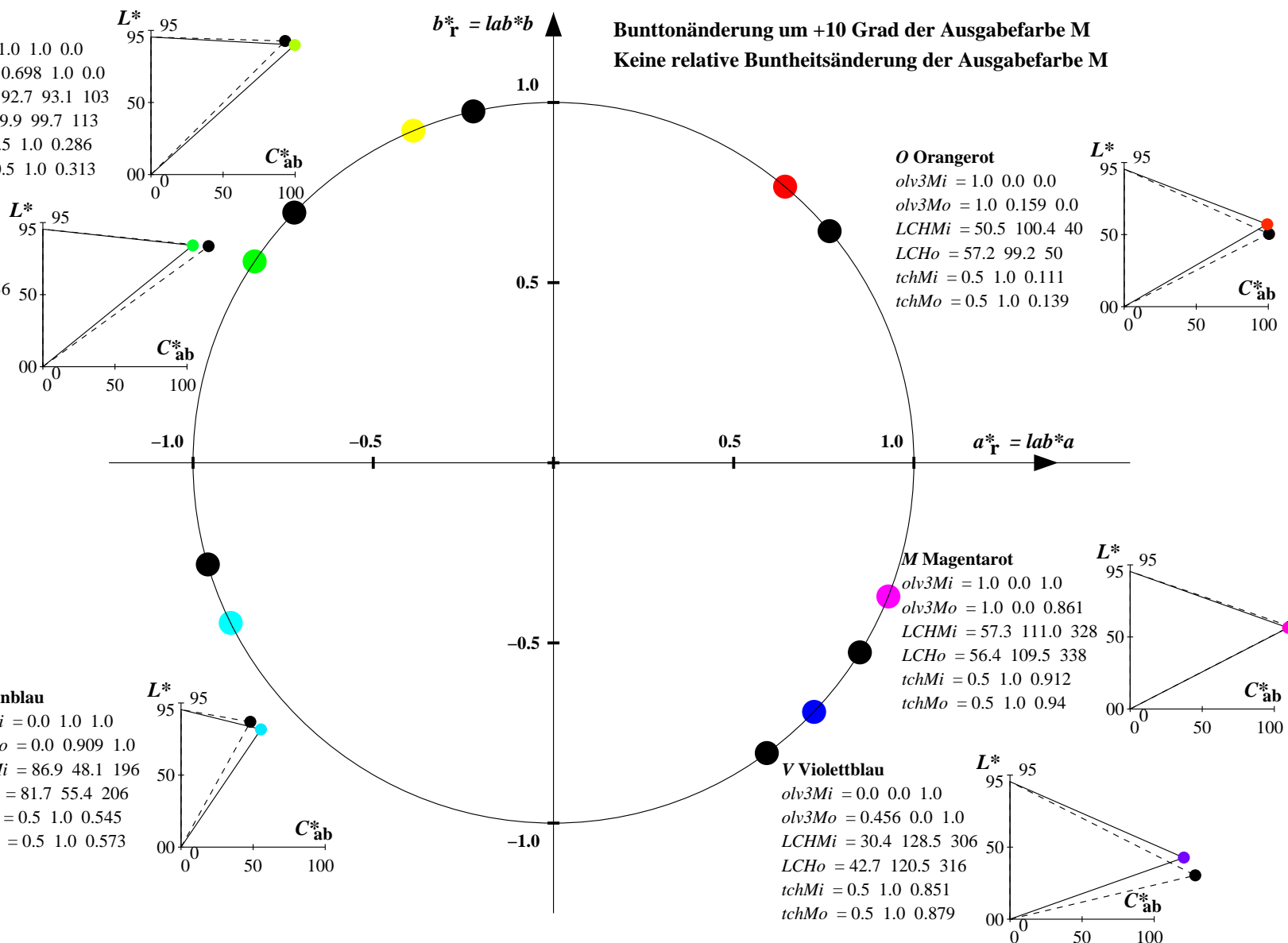
#### M Magentarot

olv3Mi = 1.0 0.0 1.0  
olv3Mo = 1.0 0.0 0.861  
LCHMi = 57.3 111.0 328  
LCHo = 56.4 109.5 338  
tchMi = 0.5 1.0 0.912  
tchMo = 0.5 1.0 0.94

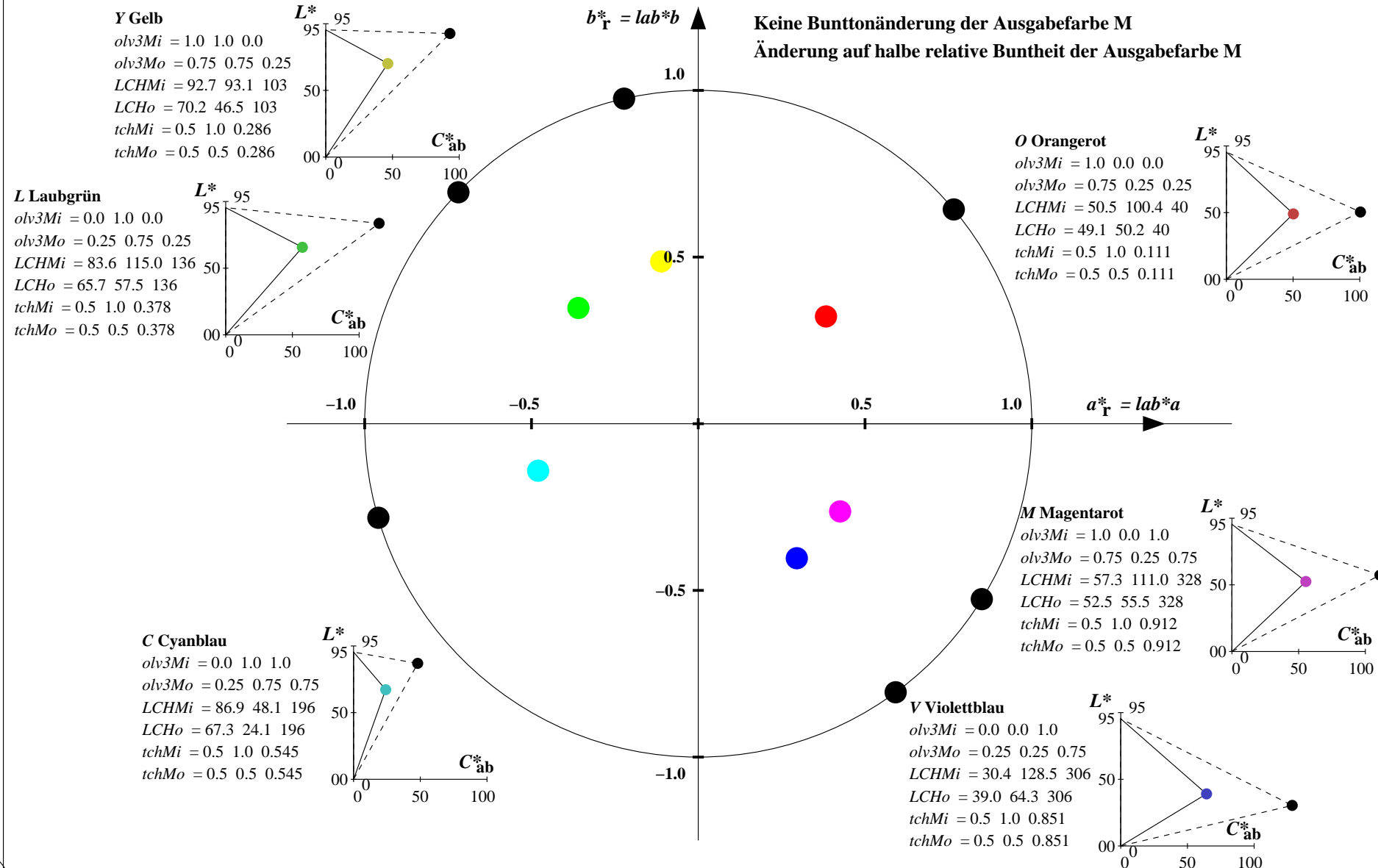
#### V Violettblau

olv3Mi = 0.0 0.0 1.0  
olv3Mo = 0.456 0.0 1.0  
LCHMi = 30.4 128.5 306  
LCHo = 42.7 120.5 316  
tchMi = 0.5 1.0 0.851  
tchMo = 0.5 1.0 0.879

Bunttonänderung um +10 Grad der Ausgabefarbe M  
Keine relative Buntheitsänderung der Ausgabefarbe M



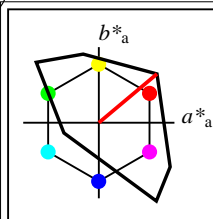
Relatives CIELAB-Buntheitsdiagramm: ( $a_R^* = lab^*a$ ,  $b_R^* = lab^*b$ ) und absolutes CIELAB Bunttondreiecks-Diagramm: ( $L^*$ ,  $C_{ab}^*$ ) für Ein- (---) und Ausgabe (----) TLS00: Eingabe (i) Farbmatrik-Sytem; Sechs Bunttonwinkel des Farbgerätes: (40.0, 102.8, 136.0, 196.4, 306.3, 328.2); Vier Bunttonwinkel der Elementarfarben: (25.5, 92.3, 162.2, 271.7)  
TLS00: Ausgabe (o) Farbmatrik-Sytem; Sechs Bunttonwinkel des Farbgerätes: (40.0, 102.8, 136.0, 196.4, 306.3, 328.2); Vier Bunttonwinkel der Elementarfarben: (25.5, 92.3, 162.2, 271.7)



YG610-7, Farb-Management-Workflow: Geräte-Farbeingabedaten des Farbenraums TLS00 -> Geräte-Farbausgabedaten des Farbenraums TLS00, Seite 8/32

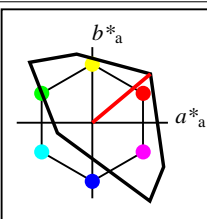
BAM-Prüfvorlage YG61; Farbmatrikworkflow TLS00->TLS00 Eingabe: olv\* setrgbcolor  
D65: 6 Grundfarben; Geräte- und Musterdaten; Seite 8/32 Ausgabe: olv\*' (TRI9) setrgbcolor





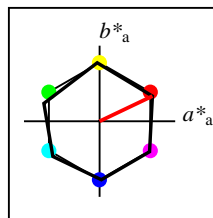
%Umfang  
 $u^*_{rel} = 158$   
%Regularität  
 $g^*_{H,rel} = 20$   
 $g^*_{C,rel} = 37$

TLS00	$L^*=L^*_a$	$a^*_a$	$b^*_a$	$C^*_{ab,a}$	$h^*_{ab,a}$
O <sub>M</sub>	50.5	76.92	64.55	100.42	40
Y <sub>M</sub>	92.66	-20.69	90.75	93.08	103
L <sub>M</sub>	83.63	-82.75	79.9	115.04	136
C <sub>M</sub>	86.88	-46.16	-13.55	48.12	196
V <sub>M</sub>	30.39	76.06	-103.59	128.52	306
M <sub>M</sub>	57.3	94.35	-58.41	110.97	328
N <sub>M</sub>	0.01	0.0	0.0	0.0	0
W <sub>M</sub>	95.41	0.0	0.0	0.0	0
R <sub>CIE</sub>	39.92	58.74	27.99	65.07	25
J <sub>CIE</sub>	81.26	-2.88	71.56	71.62	92
G <sub>CIE</sub>	52.23	-42.41	13.6	44.55	162
B <sub>CIE</sub>	30.57	1.41	-46.46	46.49	272



%Umfang  
 $u^*_{rel} = 158$   
%Regularität  
 $g^*_{H,rel} = 20$   
 $g^*_{C,rel} = 37$

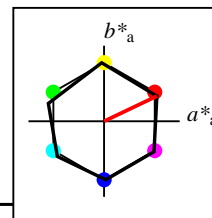
TLS00a; adaptierte CIELAB-Daten	$L^*=L^*_a$	$a^*_a$	$b^*_a$	$C^*_{ab,a}$	$h^*_{ab,a}$
O <sub>Ma</sub>	50.5	76.92	64.55	100.42	40
Y <sub>Ma</sub>	92.66	-20.69	90.75	93.08	103
L <sub>Ma</sub>	83.63	-82.75	79.9	115.04	136
C <sub>Ma</sub>	86.88	-46.16	-13.55	48.12	196
V <sub>Ma</sub>	30.39	76.06	-103.59	128.52	306
M <sub>Ma</sub>	57.3	94.35	-58.41	110.97	328
N <sub>Ma</sub>	0.01	0.0	0.0	0.0	0
W <sub>Ma</sub>	95.41	0.0	0.0	0.0	0
R <sub>CIE</sub>	39.92	58.74	27.99	65.07	25
J <sub>CIE</sub>	81.26	-2.88	71.56	71.62	92
G <sub>CIE</sub>	52.23	-42.41	13.6	44.55	162
B <sub>CIE</sub>	30.57	1.41	-46.46	46.49	272



%Umfang  
 $u^*_{rel} = 100$   
%Regularität  
 $g^*_{H,rel} = 78$   
 $g^*_{C,rel} = 100$

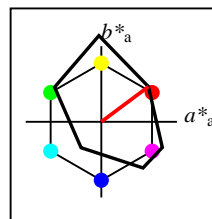
NRS18a; adaptierte CIELAB-Daten	$L^*=L^*_a$	$a^*_a$	$b^*_a$	$C^*_{ab,a}$	$h^*_{ab,a}$
O <sub>Ma</sub>	56.71	69.87	33.29	77.4	25
Y <sub>Ma</sub>	56.71	-3.1	77.34	77.4	92
L <sub>Ma</sub>	56.71	-73.68	23.63	77.39	162
C <sub>Ma</sub>	56.71	-61.81	-46.54	77.39	217
V <sub>Ma</sub>	56.71	2.35	-77.34	77.39	272
M <sub>Ma</sub>	56.71	66.07	-40.3	77.4	329
N <sub>Ma</sub>	18.01	0.0	0.0	0.0	0
W <sub>Ma</sub>	95.41	0.0	0.0	0.0	0
R <sub>CIE</sub>	39.92	58.74	27.99	65.07	25
J <sub>CIE</sub>	81.26	-2.88	71.56	71.62	92
G <sub>CIE</sub>	52.23	-42.41	13.6	44.55	162
B <sub>CIE</sub>	30.57	1.41	-46.46	46.49	272

Workflow-Wahlen  
für Farbmuster:  
1. keine Farbänderung  
2. Buntton-Änderung  
3. Buntheits-Änderung



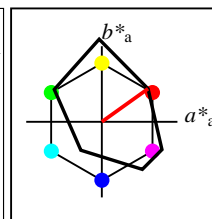
%Umfang  
 $u^*_{rel} = 100$   
%Regularität  
 $g^*_{H,rel} = 78$   
 $g^*_{C,rel} = 100$

NRS18a; adaptierte CIELAB-Daten	$L^*=L^*_a$	$a^*_a$	$b^*_a$	$C^*_{ab,a}$	$h^*_{ab,a}$
O <sub>Ma</sub>	56.71	69.87	33.29	77.4	25
Y <sub>Ma</sub>	56.71	-3.1	77.34	77.4	92
L <sub>Ma</sub>	56.71	-73.68	23.63	77.39	162
C <sub>Ma</sub>	56.71	-61.81	-46.54	77.39	217
V <sub>Ma</sub>	56.71	2.35	-77.34	77.39	272
M <sub>Ma</sub>	56.71	66.07	-40.3	77.4	329
N <sub>Ma</sub>	18.01	0.0	0.0	0.0	0
W <sub>Ma</sub>	95.41	0.0	0.0	0.0	0
R <sub>CIE</sub>	39.92	58.74	27.99	65.07	25
J <sub>CIE</sub>	81.26	-2.88	71.56	71.62	92
G <sub>CIE</sub>	52.23	-42.41	13.6	44.55	162
B <sub>CIE</sub>	30.57	1.41	-46.46	46.49	272



%Umfang  
 $u^*_{rel} = 115$   
%Regularität  
 $g^*_{H,rel} = 28$   
 $g^*_{C,rel} = 38$

FRS06a; adaptierte CIELAB-Daten	$L^*=L^*_a$	$a^*_a$	$b^*_a$	$C^*_{ab,a}$	$h^*_{ab,a}$
O <sub>Ma</sub>	32.57	62.32	46.49	77.75	37
Y <sub>Ma</sub>	82.73	-3.16	113.99	114.03	92
L <sub>Ma</sub>	39.43	-61.79	45.84	76.95	143
C <sub>Ma</sub>	47.86	-26.79	-34.24	43.49	232
V <sub>Ma</sub>	10.16	55.12	-61.03	82.24	312
M <sub>Ma</sub>	34.5	80.68	-33.92	87.52	337
N <sub>Ma</sub>	6.25	0.0	0.0	0.0	0
W <sub>Ma</sub>	91.97	0.0	0.0	0.0	0
R <sub>CIE</sub>	39.92	59.8	31.05	67.38	27
J <sub>CIE</sub>	81.26	-2.52	76.25	76.29	92
G <sub>CIE</sub>	52.23	-41.56	17.14	44.96	158
B <sub>CIE</sub>	30.57	2.63	-43.77	43.86	273



%Umfang  
 $u^*_{rel} = 114$   
%Regularität  
 $g^*_{H,rel} = 28$   
 $g^*_{C,rel} = 43$

FRS06	$L^*=L^*_a$	$a^*_a$	$b^*_a$	$C^*_{ab,a}$	$h^*_{ab,a}$
O <sub>M</sub>	32.57	61.14	43.72	75.16	36
Y <sub>M</sub>	82.73	-3.5	109.24	109.3	92
L <sub>M</sub>	39.43	-62.86	42.8	76.06	146
C <sub>M</sub>	47.86	-27.72	-37.61	46.74	234
V <sub>M</sub>	10.16	53.56	-62.91	82.63	310
M <sub>M</sub>	34.5	79.53	-36.76	87.62	335
N <sub>M</sub>	6.25	-1.62	-1.72	2.38	227
W <sub>M</sub>	91.97	-0.17	-5.1	5.11	268
R <sub>CIE</sub>	39.92	58.74	27.99	65.07	25
J <sub>CIE</sub>	81.26	-2.88	71.56	71.62	92
G <sub>CIE</sub>	52.23	-42.41	13.6	44.55	162
B <sub>CIE</sub>	30.57	1.41	-46.46	46.49	272

**Relatives CIELAB-Buntheitsdiagramm:** ( $a^*_r = lab^*a$ ,  $b^*_r = lab^*b$ ) und **absolutes CIELAB Bunttondreiecks-Diagramm:** ( $L^*$ ,  $C^*_{ab}$ ) für Ein- (---) und Ausgabe (----) TLS00: Eingabe (i) Farbmatrik-Sytem; Sechs Bunttonwinkel des Farbgerätes: (40.0, 102.8, 136.0, 196.4, 306.3, 328.2); Vier Bunttonwinkel der Elementarfarben: (25.5, 92.3, 162.2, 271.7) FRS06: Ausgabe (o) Farbmatrik-Sytem; Sechs Bunttonwinkel des Farbgerätes: (36.7, 91.6, 143.4, 232.0, 312.1, 337.2); Vier Bunttonwinkel der Elementarfarben: (27.4, 91.9, 157.6, 273.4)

#### Y Gelb

$olv3Mi = 1.0 \ 1.0 \ 0.0$   
 $olv3Mo = 0.783 \ 1.0 \ 0.0$   
 $LCHMi = 92.7 \ 93.1 \ 103$   
 $LCHo = 73.3 \ 106.0 \ 103$   
 $tchMi = 0.5 \ 1.0 \ 0.286$   
 $tchMo = 0.5 \ 1.0 \ 0.286$

#### L Laubgrün

$olv3Mi = 0.0 \ 1.0 \ 0.0$   
 $olv3Mo = 0.143 \ 1.0 \ 0.0$   
 $LCHMi = 83.6 \ 115.0 \ 136$   
 $LCHo = 45.6 \ 82.3 \ 136$   
 $tchMi = 0.5 \ 1.0 \ 0.378$   
 $tchMo = 0.5 \ 1.0 \ 0.378$

#### C Cyanblau

$olv3Mi = 0.0 \ 1.0 \ 1.0$   
 $olv3Mo = 0.0 \ 1.0 \ 0.598$   
 $LCHMi = 86.9 \ 48.1 \ 196$   
 $LCHo = 44.5 \ 56.9 \ 196$   
 $tchMi = 0.5 \ 1.0 \ 0.545$   
 $tchMo = 0.5 \ 1.0 \ 0.545$

#### O Orangerot

$olv3Mi = 1.0 \ 0.0 \ 0.0$   
 $olv3Mo = 1.0 \ 0.06 \ 0.0$   
 $LCHMi = 50.5 \ 100.4 \ 40$   
 $LCHo = 35.6 \ 79.9 \ 40$   
 $tchMi = 0.5 \ 1.0 \ 0.111$   
 $tchMo = 0.5 \ 1.0 \ 0.111$

#### M Magentarot

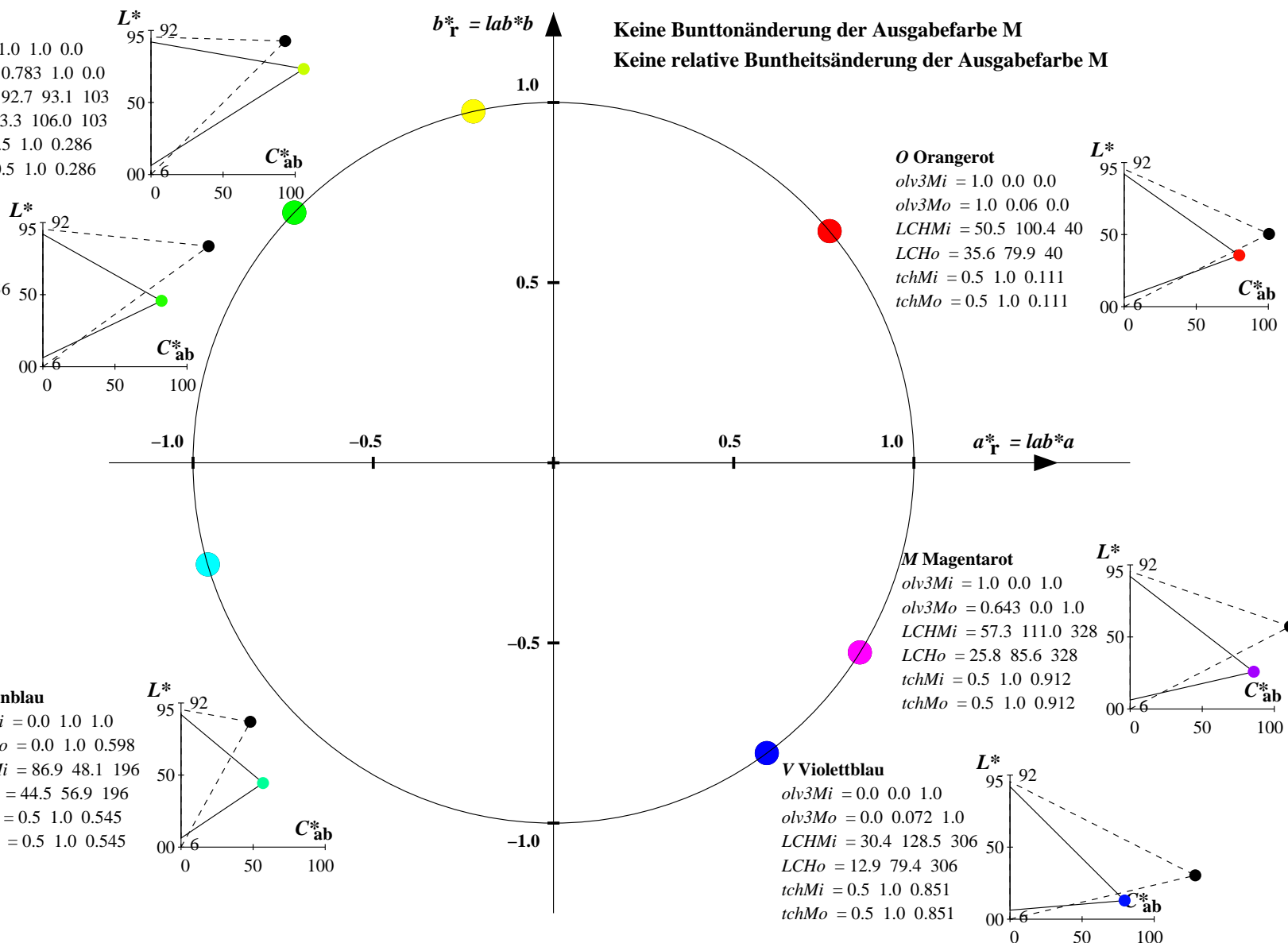
$olv3Mi = 1.0 \ 0.0 \ 1.0$   
 $olv3Mo = 0.643 \ 0.0 \ 1.0$   
 $LCHMi = 57.3 \ 111.0 \ 328$   
 $LCHo = 25.8 \ 85.6 \ 328$   
 $tchMi = 0.5 \ 1.0 \ 0.912$   
 $tchMo = 0.5 \ 1.0 \ 0.912$

#### V Violettblau

$olv3Mi = 0.0 \ 0.0 \ 1.0$   
 $olv3Mo = 0.0 \ 0.072 \ 1.0$   
 $LCHMi = 30.4 \ 128.5 \ 306$   
 $LCHo = 12.9 \ 79.4 \ 306$   
 $tchMi = 0.5 \ 1.0 \ 0.851$   
 $tchMo = 0.5 \ 1.0 \ 0.851$

Keine Bunttonänderung der Ausgabefarbe M

Keine relative Buntheitsänderung der Ausgabefarbe M



Relatives CIELAB-Buntheitsdiagramm: ( $a^*_R = lab^*a$ ,  $b^*_R = lab^*b$ ) und absolutes CIELAB Bunttondreiecks-Diagramm: ( $L^*$ ,  $C^*_{ab}$ ) für Ein- (---) und Ausgabe (----) TLS00: Eingabe (i) Farbmatrik-Sytem; Sechs Bunttonwinkel des Farbgerätes: (40.0, 102.8, 136.0, 196.4, 306.3, 328.2); Vier Bunttonwinkel der Elementarfarben: (25.5, 92.3, 162.2, 271.7) FRS06: Ausgabe (o) Farbmatrik-Sytem; Sechs Bunttonwinkel des Farbgerätes: (36.7, 91.6, 143.4, 232.0, 312.1, 337.2); Vier Bunttonwinkel der Elementarfarben: (27.4, 91.9, 157.6, 273.4)

#### Y Gelb

olv3Mi = 1.0 1.0 0.0  
olv3Mo = 0.59 1.0 0.0  
LCHMi = 92.7 93.1 103  
LCHo = 65.0 98.8 113  
tchMi = 0.5 1.0 0.286  
tchMo = 0.5 1.0 0.313

#### L Laubgrün

olv3Mi = 0.0 1.0 0.0  
olv3Mo = 0.0 1.0 0.029  
LCHMi = 83.6 115.0 136  
LCHo = 39.7 76.0 146  
tchMi = 0.5 1.0 0.378  
tchMo = 0.5 1.0 0.406

#### C Cyanblau

olv3Mi = 0.0 1.0 1.0  
olv3Mo = 0.0 1.0 0.711  
LCHMi = 86.9 48.1 196  
LCHo = 45.4 53.2 206  
tchMi = 0.5 1.0 0.545  
tchMo = 0.5 1.0 0.573

#### O Orangerot

olv3Mi = 1.0 0.0 0.0  
olv3Mo = 1.0 0.242 0.0  
LCHMi = 50.5 100.4 40  
LCHo = 44.7 86.5 50  
tchMi = 0.5 1.0 0.111  
tchMo = 0.5 1.0 0.139

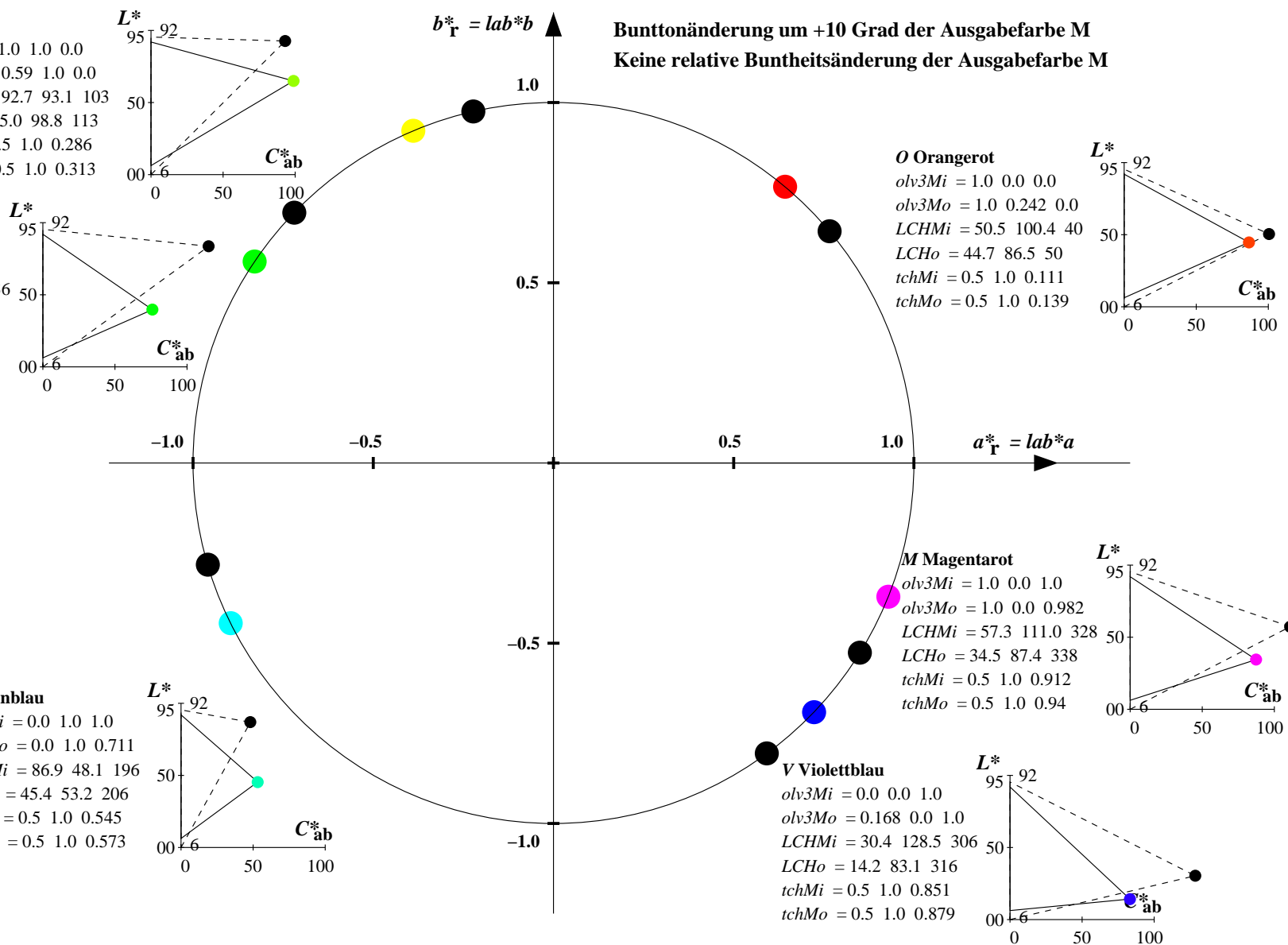
#### M Magentarot

olv3Mi = 1.0 0.0 1.0  
olv3Mo = 1.0 0.0 0.982  
LCHMi = 57.3 111.0 328  
LCHo = 34.5 87.4 338  
tchMi = 0.5 1.0 0.912  
tchMo = 0.5 1.0 0.94

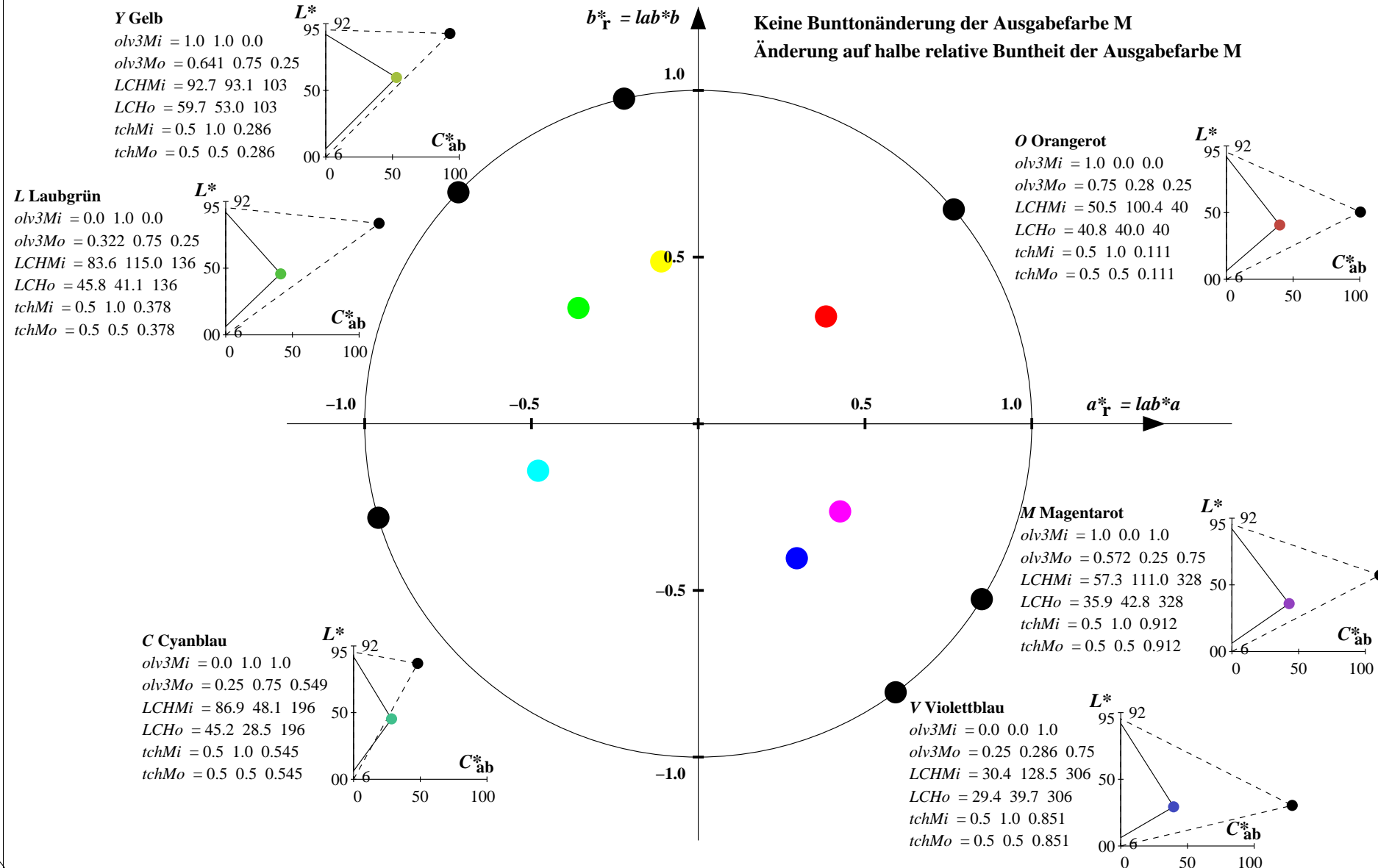
#### V Violettblau

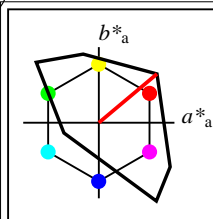
olv3Mi = 0.0 0.0 1.0  
olv3Mo = 0.168 0.0 1.0  
LCHMi = 30.4 128.5 306  
LCHo = 14.2 83.1 316  
tchMi = 0.5 1.0 0.851  
tchMo = 0.5 1.0 0.879

Bunttonänderung um +10 Grad der Ausgabefarbe M  
Keine relative Buntheitsänderung der Ausgabefarbe M



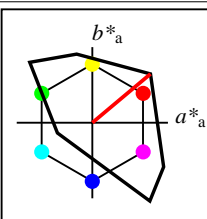
**Relatives CIELAB-Buntheitsdiagramm: ( $a_R^* = lab^*a$ ,  $b_R^* = lab^*b$ ) und absolutes CIELAB Bunttondreiecks-Diagramm: ( $L^*$ ,  $C_{ab}^*$ ) für Ein- (—) und Ausgabe (---)**  
**TLS00:** Eingabe (i) Farbmatrik-Sytem; Sechs Bunttonwinkel des Farbgerätes: (40.0, 102.8, 136.0, 196.4, 306.3, 328.2); Vier Bunttonwinkel der Elementarfarben: (25.5, 92.3, 162.2, 271.7)  
**FRS06:** Ausgabe (o) Farbmatrik-Sytem; Sechs Bunttonwinkel des Farbgerätes: (36.7, 91.6, 143.4, 232.0, 312.1, 337.2); Vier Bunttonwinkel der Elementarfarben: (27.4, 91.9, 157.6, 273.4)





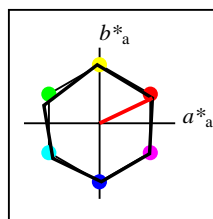
%Umfang  
 $u^*_{rel} = 158$   
%Regularität  
 $g^*_{H,rel} = 20$   
 $g^*_{C,rel} = 37$

TLS00	$L^*=L^*_a$	$a^*_a$	$b^*_a$	$C^*_{ab,a}$	$h^*_{ab,a}$
O <sub>M</sub>	50.5	76.92	64.55	100.42	40
Y <sub>M</sub>	92.66	-20.69	90.75	93.08	103
L <sub>M</sub>	83.63	-82.75	79.9	115.04	136
C <sub>M</sub>	86.88	-46.16	-13.55	48.12	196
V <sub>M</sub>	30.39	76.06	-103.59	128.52	306
M <sub>M</sub>	57.3	94.35	-58.41	110.97	328
N <sub>M</sub>	0.01	0.0	0.0	0.0	0
W <sub>M</sub>	95.41	0.0	0.0	0.0	0
R <sub>CIE</sub>	39.92	58.74	27.99	65.07	25
J <sub>CIE</sub>	81.26	-2.88	71.56	71.62	92
G <sub>CIE</sub>	52.23	-42.41	13.6	44.55	162
B <sub>CIE</sub>	30.57	1.41	-46.46	46.49	272



%Umfang  
 $u^*_{rel} = 158$   
%Regularität  
 $g^*_{H,rel} = 20$   
 $g^*_{C,rel} = 37$

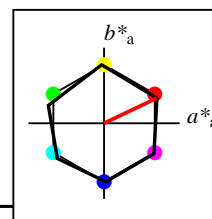
TLS00a; adaptierte CIELAB-Daten	$L^*=L^*_a$	$a^*_a$	$b^*_a$	$C^*_{ab,a}$	$h^*_{ab,a}$
O <sub>Ma</sub>	50.5	76.92	64.55	100.42	40
Y <sub>Ma</sub>	92.66	-20.69	90.75	93.08	103
L <sub>Ma</sub>	83.63	-82.75	79.9	115.04	136
C <sub>Ma</sub>	86.88	-46.16	-13.55	48.12	196
V <sub>Ma</sub>	30.39	76.06	-103.59	128.52	306
M <sub>Ma</sub>	57.3	94.35	-58.41	110.97	328
N <sub>Ma</sub>	0.01	0.0	0.0	0.0	0
W <sub>Ma</sub>	95.41	0.0	0.0	0.0	0
R <sub>CIE</sub>	39.92	58.74	27.99	65.07	25
J <sub>CIE</sub>	81.26	-2.88	71.56	71.62	92
G <sub>CIE</sub>	52.23	-42.41	13.6	44.55	162
B <sub>CIE</sub>	30.57	1.41	-46.46	46.49	272



%Umfang  
 $u^*_{rel} = 100$   
%Regularität  
 $g^*_{H,rel} = 78$   
 $g^*_{C,rel} = 100$

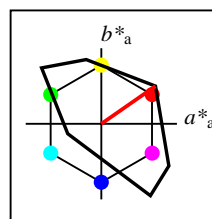
NRS18a; adaptierte CIELAB-Daten	$L^*=L^*_a$	$a^*_a$	$b^*_a$	$C^*_{ab,a}$	$h^*_{ab,a}$
O <sub>Ma</sub>	56.71	69.87	33.29	77.4	25
Y <sub>Ma</sub>	56.71	-3.1	77.34	77.4	92
L <sub>Ma</sub>	56.71	-73.68	23.63	77.39	162
C <sub>Ma</sub>	56.71	-61.81	-46.54	77.39	217
V <sub>Ma</sub>	56.71	2.35	-77.34	77.39	272
M <sub>Ma</sub>	56.71	66.07	-40.3	77.4	329
N <sub>Ma</sub>	18.01	0.0	0.0	0.0	0
W <sub>Ma</sub>	95.41	0.0	0.0	0.0	0
R <sub>CIE</sub>	39.92	58.74	27.99	65.07	25
J <sub>CIE</sub>	81.26	-2.88	71.56	71.62	92
G <sub>CIE</sub>	52.23	-42.41	13.6	44.55	162
B <sub>CIE</sub>	30.57	1.41	-46.46	46.49	272

Workflow-Wahlen  
für Farbmuster:  
1. keine Farbänderung  
2. Buntton-Änderung  
3. Buntheits-Änderung



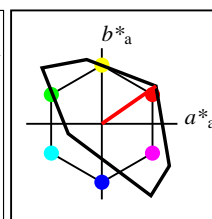
%Umfang  
 $u^*_{rel} = 100$   
%Regularität  
 $g^*_{H,rel} = 78$   
 $g^*_{C,rel} = 100$

NRS18a; adaptierte CIELAB-Daten	$L^*=L^*_a$	$a^*_a$	$b^*_a$	$C^*_{ab,a}$	$h^*_{ab,a}$
O <sub>Ma</sub>	56.71	69.87	33.29	77.4	25
Y <sub>Ma</sub>	56.71	-3.1	77.34	77.4	92
L <sub>Ma</sub>	56.71	-73.68	23.63	77.39	162
C <sub>Ma</sub>	56.71	-61.81	-46.54	77.39	217
V <sub>Ma</sub>	56.71	2.35	-77.34	77.39	272
M <sub>Ma</sub>	56.71	66.07	-40.3	77.4	329
N <sub>Ma</sub>	18.01	0.0	0.0	0.0	0
W <sub>Ma</sub>	95.41	0.0	0.0	0.0	0
R <sub>CIE</sub>	39.92	58.74	27.99	65.07	25
J <sub>CIE</sub>	81.26	-2.88	71.56	71.62	92
G <sub>CIE</sub>	52.23	-42.41	13.6	44.55	162
B <sub>CIE</sub>	30.57	1.41	-46.46	46.49	272



%Umfang  
 $u^*_{rel} = 118$   
%Regularität  
 $g^*_{H,rel} = 22$   
 $g^*_{C,rel} = 40$

TLS18a; adaptierte CIELAB-Daten	$L^*=L^*_a$	$a^*_a$	$b^*_a$	$C^*_{ab,a}$	$h^*_{ab,a}$
O <sub>Ma</sub>	52.76	71.63	49.88	87.29	35
Y <sub>Ma</sub>	92.74	-20.02	84.97	87.3	103
L <sub>Ma</sub>	84.0	-78.98	73.94	108.2	137
C <sub>Ma</sub>	87.14	-44.41	-13.11	46.32	196
V <sub>Ma</sub>	35.47	64.92	-95.06	115.12	304
M <sub>Ma</sub>	59.01	89.33	-55.67	105.26	328
N <sub>Ma</sub>	18.01	0.0	0.0	0.0	0
W <sub>Ma</sub>	95.41	0.0	0.0	0.0	0
R <sub>CIE</sub>	39.92	58.74	27.99	65.07	25
J <sub>CIE</sub>	81.26	-2.88	71.56	71.62	92
G <sub>CIE</sub>	52.23	-42.41	13.6	44.55	162
B <sub>CIE</sub>	30.57	1.41	-46.46	46.49	272



%Umfang  
 $u^*_{rel} = 118$   
%Regularität  
 $g^*_{H,rel} = 22$   
 $g^*_{C,rel} = 40$

TLS18	$L^*=L^*_a$	$a^*_a$	$b^*_a$	$C^*_{ab,a}$	$h^*_{ab,a}$
O <sub>M</sub>	52.76	71.63	49.88	87.29	35
Y <sub>M</sub>	92.74	-20.02	84.97	87.3	103
L <sub>M</sub>	84.0	-78.98	73.94	108.2	137
C <sub>M</sub>	87.14	-44.41	-13.11	46.32	196
V <sub>M</sub>	35.47	64.92	-95.06	115.12	304
M <sub>M</sub>	59.01	89.33	-55.67	105.26	328
N <sub>M</sub>	18.01	0.0	0.0	0.0	0
W <sub>M</sub>	95.41	0.0	0.0	0.0	0
R <sub>CIE</sub>	39.92	58.74	27.99	65.07	25
J <sub>CIE</sub>	81.26	-2.88	71.56	71.62	92
G <sub>CIE</sub>	52.23	-42.41	13.6	44.55	162
B <sub>CIE</sub>	30.57	1.41	-46.46	46.49	272



**Relatives CIELAB-Buntheitsdiagramm:** ( $a^*_r = lab^*a$ ,  $b^*_r = lab^*b$ ) und **absolutes CIELAB Bunttondreiecks-Diagramm:** ( $L^*$ ,  $C^*_{ab}$ ) für Ein- (---) und Ausgabe (----) TLS00: Eingabe (i) Farbmatrik-Sytem; Sechs Bunttonwinkel des Farbgerätes: (40.0, 102.8, 136.0, 196.4, 306.3, 328.2); Vier Bunttonwinkel der Elementarfarben: (25.5, 92.3, 162.2, 271.7)  
TLS18: Ausgabe (o) Farbmatrik-Sytem; Sechs Bunttonwinkel des Farbgerätes: (34.9, 103.3, 136.9, 196.5, 304.3, 328.1); Vier Bunttonwinkel der Elementarfarben: (25.5, 92.3, 162.2, 271.7)

**Y Gelb**

$olv3Mi = 1.0 \ 1.0 \ 0.0$   
 $olv3Mo = 1.0 \ 0.994 \ 0.0$   
 $LCHMi = 92.7 \ 93.1 \ 103$   
 $LCHo = 92.5 \ 87.3 \ 103$   
 $tchMi = 0.5 \ 1.0 \ 0.286$   
 $tchMo = 0.5 \ 1.0 \ 0.286$

**L Laubgrün**

$olv3Mi = 0.0 \ 1.0 \ 0.0$   
 $olv3Mo = 0.026 \ 1.0 \ 0.0$   
 $LCHMi = 83.6 \ 115.0 \ 136$   
 $LCHo = 84.2 \ 107.6 \ 136$   
 $tchMi = 0.5 \ 1.0 \ 0.378$   
 $tchMo = 0.5 \ 1.0 \ 0.378$

**C Cyanblau**

$olv3Mi = 0.0 \ 1.0 \ 1.0$   
 $olv3Mo = 0.0 \ 1.0 \ 0.999$   
 $LCHMi = 86.9 \ 48.1 \ 196$   
 $LCHo = 87.1 \ 46.4 \ 196$   
 $tchMi = 0.5 \ 1.0 \ 0.545$   
 $tchMo = 0.5 \ 1.0 \ 0.545$

**O Orangerot**

$olv3Mi = 1.0 \ 0.0 \ 0.0$   
 $olv3Mo = 1.0 \ 0.075 \ 0.0$   
 $LCHMi = 50.5 \ 100.4 \ 40$   
 $LCHo = 55.8 \ 87.3 \ 40$   
 $tchMi = 0.5 \ 1.0 \ 0.111$   
 $tchMo = 0.5 \ 1.0 \ 0.111$

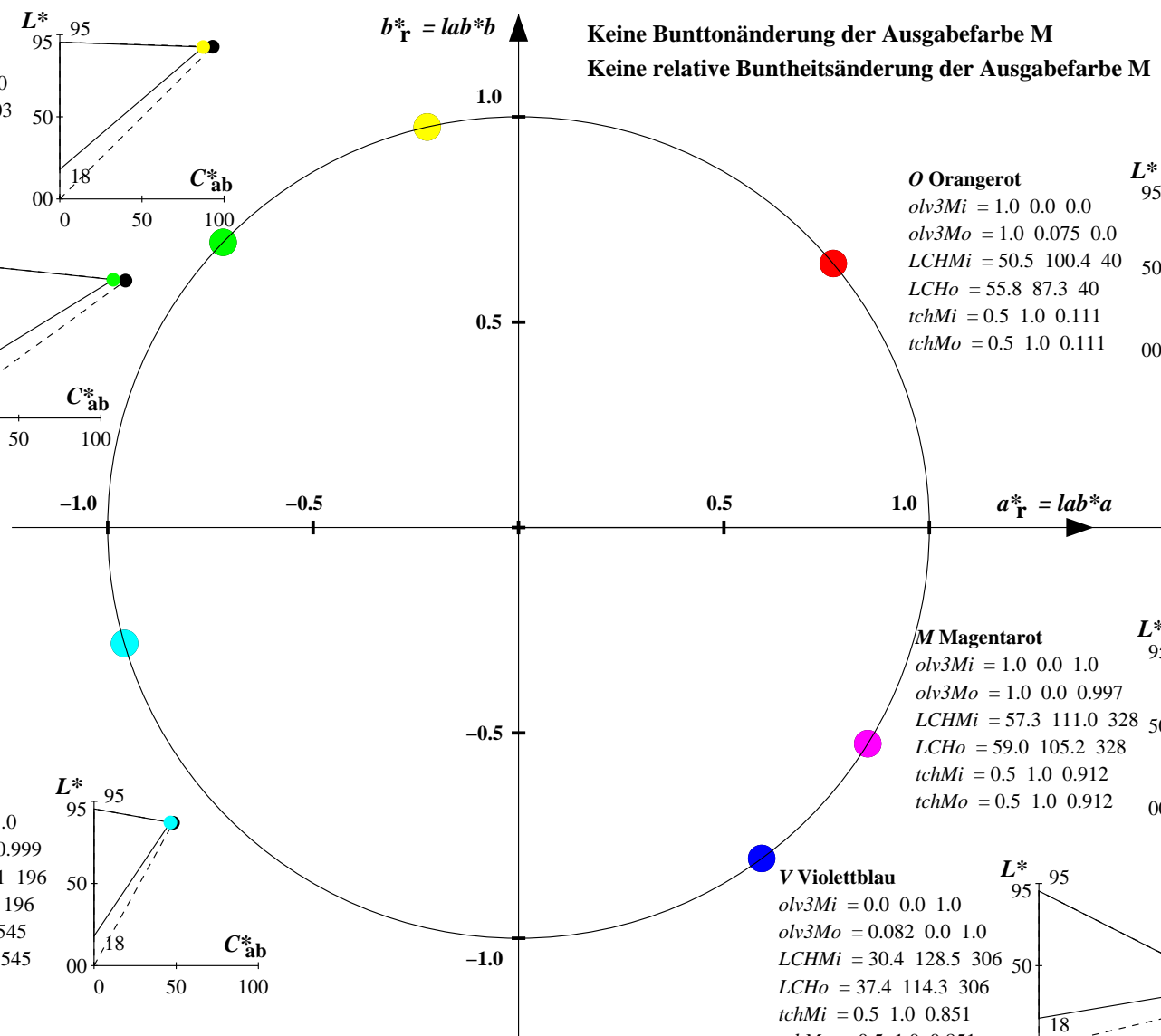
**M Magentarot**

$olv3Mi = 1.0 \ 0.0 \ 1.0$   
 $olv3Mo = 1.0 \ 0.0 \ 0.997$   
 $LCHMi = 57.3 \ 111.0 \ 328$   
 $LCHo = 59.0 \ 105.2 \ 328$   
 $tchMi = 0.5 \ 1.0 \ 0.912$   
 $tchMo = 0.5 \ 1.0 \ 0.912$

**V Violettblau**

$olv3Mi = 0.0 \ 0.0 \ 1.0$   
 $olv3Mo = 0.082 \ 0.0 \ 1.0$   
 $LCHMi = 30.4 \ 128.5 \ 306$   
 $LCHo = 37.4 \ 114.3 \ 306$   
 $tchMi = 0.5 \ 1.0 \ 0.851$   
 $tchMo = 0.5 \ 1.0 \ 0.851$

**Keine Bunttonänderung der Ausgabefarbe M**  
**Keine relative Buntheitsänderung der Ausgabefarbe M**



**Relatives CIELAB-Buntheitsdiagramm:** ( $a_R^* = lab^*a$ ,  $b_R^* = lab^*b$ ) und **absolutes CIELAB Bunttondreiecks-Diagramm:** ( $L^*$ ,  $C_{ab}^*$ ) für Ein- (---) und Ausgabe (----) TLS00: Eingabe (i) Farbmatrik-Sytem; Sechs Bunttonwinkel des Farbgerätes: (40.0, 102.8, 136.0, 196.4, 306.3, 328.2); Vier Bunttonwinkel der Elementarfarben: (25.5, 92.3, 162.2, 271.7)  
TLS18: Ausgabe (o) Farbmatrik-Sytem; Sechs Bunttonwinkel des Farbgerätes: (34.9, 103.3, 136.9, 196.5, 304.3, 328.1); Vier Bunttonwinkel der Elementarfarben: (25.5, 92.3, 162.2, 271.7)

#### Y Gelb

$olv3Mi = 1.0 \ 1.0 \ 0.0$   
 $olv3Mo = 0.715 \ 1.0 \ 0.0$   
 $LCHMi = 92.7 \ 93.1 \ 103$   
 $LCHo = 90.2 \ 93.3 \ 113$   
 $tchMi = 0.5 \ 1.0 \ 0.286$   
 $tchMo = 0.5 \ 1.0 \ 0.313$

#### L Laubgrün

$olv3Mi = 0.0 \ 1.0 \ 0.0$   
 $olv3Mo = 0.0 \ 1.0 \ 0.153$   
 $LCHMi = 83.6 \ 115.0 \ 136$   
 $LCHo = 84.5 \ 98.7 \ 146$   
 $tchMi = 0.5 \ 1.0 \ 0.378$   
 $tchMo = 0.5 \ 1.0 \ 0.406$

#### C Cyanblau

$olv3Mi = 0.0 \ 1.0 \ 1.0$   
 $olv3Mo = 0.0 \ 0.908 \ 1.0$   
 $LCHMi = 86.9 \ 48.1 \ 196$   
 $LCHo = 82.4 \ 52.6 \ 206$   
 $tchMi = 0.5 \ 1.0 \ 0.545$   
 $tchMo = 0.5 \ 1.0 \ 0.573$

#### O Orangerot

$olv3Mi = 1.0 \ 0.0 \ 0.0$   
 $olv3Mo = 1.0 \ 0.222 \ 0.0$   
 $LCHMi = 50.5 \ 100.4 \ 40$   
 $LCHo = 61.6 \ 87.3 \ 50$   
 $tchMi = 0.5 \ 1.0 \ 0.111$   
 $tchMo = 0.5 \ 1.0 \ 0.139$

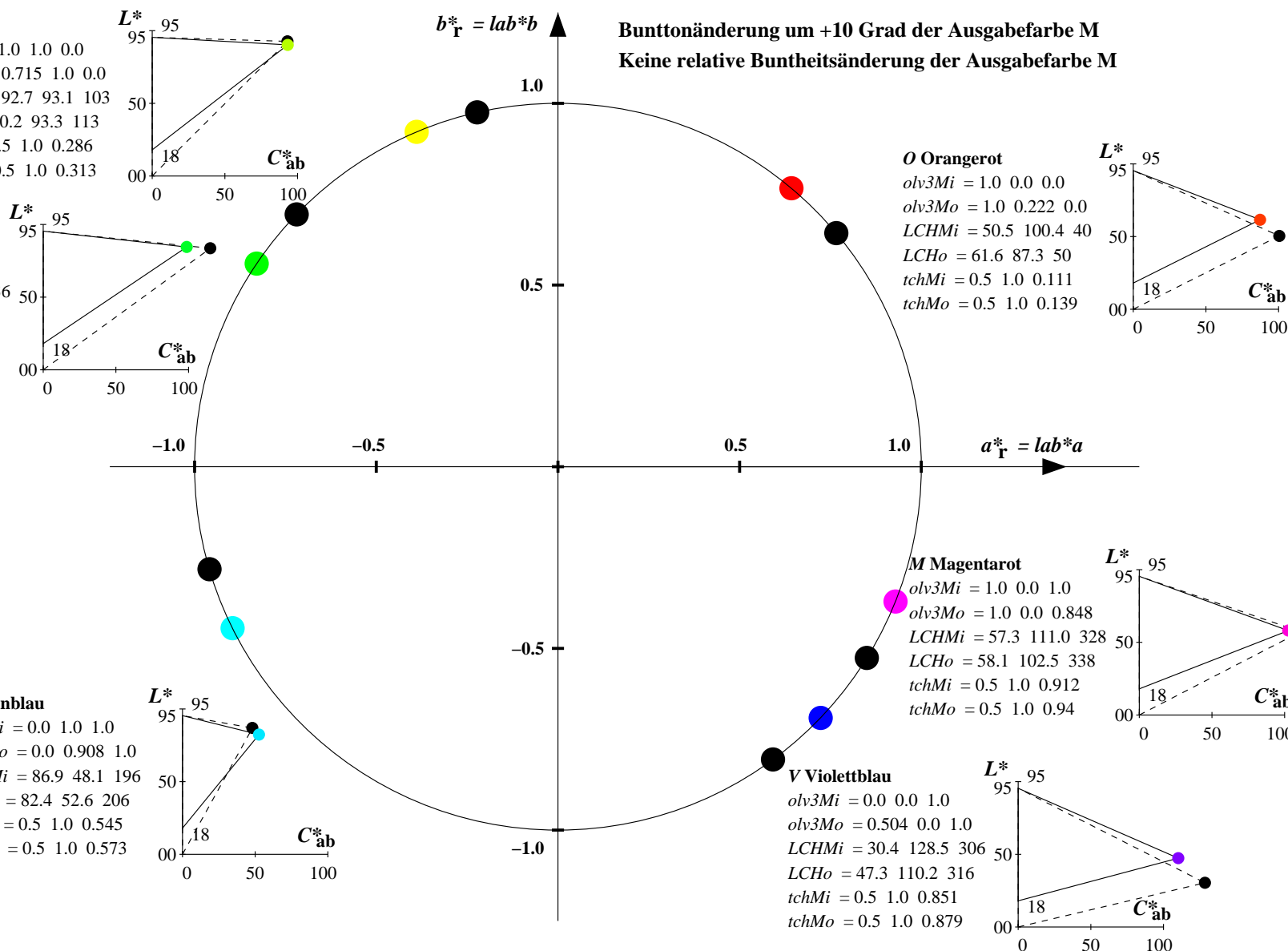
#### M Magentarot

$olv3Mi = 1.0 \ 0.0 \ 1.0$   
 $olv3Mo = 1.0 \ 0.0 \ 0.848$   
 $LCHMi = 57.3 \ 111.0 \ 328$   
 $LCHo = 58.1 \ 102.5 \ 338$   
 $tchMi = 0.5 \ 1.0 \ 0.912$   
 $tchMo = 0.5 \ 1.0 \ 0.94$

#### V Violettblau

$olv3Mi = 0.0 \ 0.0 \ 1.0$   
 $olv3Mo = 0.504 \ 0.0 \ 1.0$   
 $LCHMi = 30.4 \ 128.5 \ 306$   
 $LCHo = 47.3 \ 110.2 \ 316$   
 $tchMi = 0.5 \ 1.0 \ 0.851$   
 $tchMo = 0.5 \ 1.0 \ 0.879$

**Bunttonänderung um +10 Grad der Ausgabefarbe M**  
**Keine relative Buntheitsänderung der Ausgabefarbe M**



**Relatives CIELAB-Buntheitsdiagramm:** ( $a^*_r = lab^*a$ ,  $b^*_r = lab^*b$ ) und **absolutes CIELAB Bunttondreiecks-Diagramm:** ( $L^*$ ,  $C^*_{ab}$ ) für Ein- (---) und Ausgabe (----) TLS00: Eingabe (i) Farbmatrik-Sytem; Sechs Bunttonwinkel des Farbgerätes: (40.0, 102.8, 136.0, 196.4, 306.3, 328.2); Vier Bunttonwinkel der Elementarfarben: (25.5, 92.3, 162.2, 271.7)  
TLS18: Ausgabe (o) Farbmatrik-Sytem; Sechs Bunttonwinkel des Farbgerätes: (34.9, 103.3, 136.9, 196.5, 304.3, 328.1); Vier Bunttonwinkel der Elementarfarben: (25.5, 92.3, 162.2, 271.7)

**Y Gelb**

$olv3Mi = 1.0 \ 1.0 \ 0.0$   
 $olv3Mo = 0.75 \ 0.747 \ 0.25$   
 $LCHMi = 92.7 \ 93.1 \ 103$   
 $LCHo = 70.1 \ 43.6 \ 103$   
 $tchMi = 0.5 \ 1.0 \ 0.286$   
 $tchMo = 0.5 \ 0.5 \ 0.286$

**L Laubgrün**

$olv3Mi = 0.0 \ 1.0 \ 0.0$   
 $olv3Mo = 0.263 \ 0.75 \ 0.25$   
 $LCHMi = 83.6 \ 115.0 \ 136$   
 $LCHo = 66.0 \ 53.8 \ 136$   
 $tchMi = 0.5 \ 1.0 \ 0.378$   
 $tchMo = 0.5 \ 0.5 \ 0.378$

**C Cyanblau**

$olv3Mi = 0.0 \ 1.0 \ 1.0$   
 $olv3Mo = 0.25 \ 0.75 \ 0.749$   
 $LCHMi = 86.9 \ 48.1 \ 196$   
 $LCHo = 67.4 \ 23.2 \ 196$   
 $tchMi = 0.5 \ 1.0 \ 0.545$   
 $tchMo = 0.5 \ 0.5 \ 0.545$

**O Orangerot**

$olv3Mi = 1.0 \ 0.0 \ 0.0$   
 $olv3Mo = 0.75 \ 0.288 \ 0.25$   
 $LCHMi = 50.5 \ 100.4 \ 40$   
 $LCHo = 51.7 \ 43.6 \ 40$   
 $tchMi = 0.5 \ 1.0 \ 0.111$   
 $tchMo = 0.5 \ 0.5 \ 0.111$

**M Magentarot**

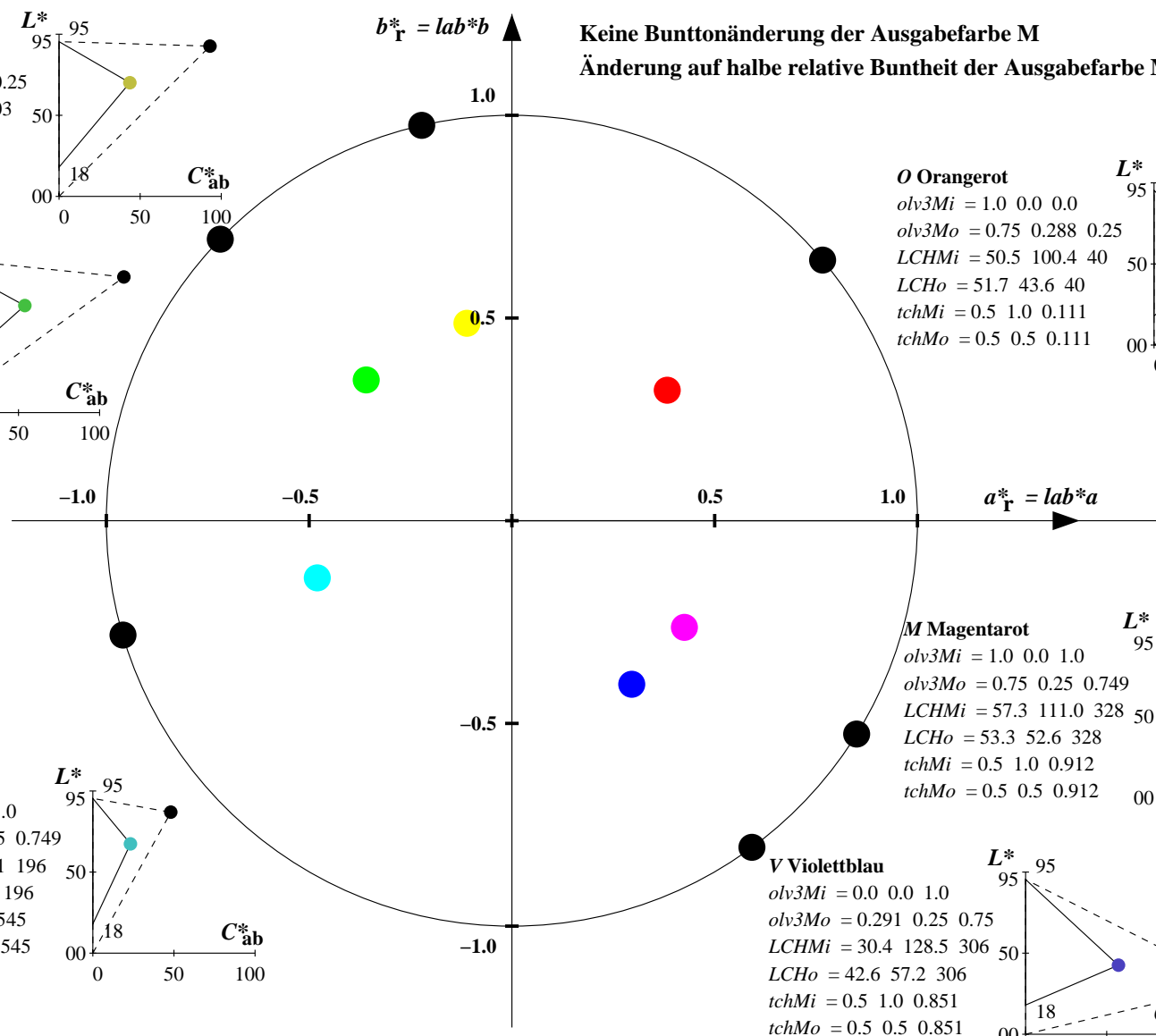
$olv3Mi = 1.0 \ 0.0 \ 1.0$   
 $olv3Mo = 0.75 \ 0.25 \ 0.749$   
 $LCHMi = 57.3 \ 111.0 \ 328$   
 $LCHo = 53.3 \ 52.6 \ 328$   
 $tchMi = 0.5 \ 1.0 \ 0.912$   
 $tchMo = 0.5 \ 0.5 \ 0.912$

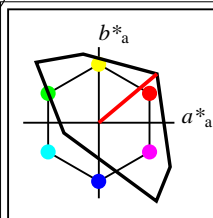
**V Violettblau**

$olv3Mi = 0.0 \ 0.0 \ 1.0$   
 $olv3Mo = 0.291 \ 0.25 \ 0.75$   
 $LCHMi = 30.4 \ 128.5 \ 306$   
 $LCHo = 42.6 \ 57.2 \ 306$   
 $tchMi = 0.5 \ 1.0 \ 0.851$   
 $tchMo = 0.5 \ 0.5 \ 0.851$

**Keine Bunttonänderung der Ausgabefarbe M**

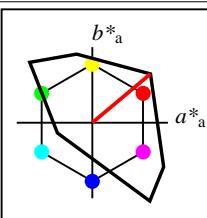
**Änderung auf halbe relative Buntheit der Ausgabefarbe M**





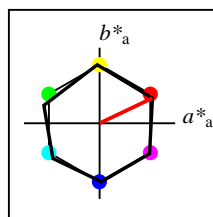
%Umfang  
 $u^*_{rel} = 158$   
%Regularität  
 $g^*_{H,rel} = 20$   
 $g^*_{C,rel} = 37$

TLS00	$L^*=L^*_a$	$a^*_a$	$b^*_a$	$C^*_{ab,a}$	$h^*_{ab,a}$
O <sub>M</sub>	50.5	76.92	64.55	100.42	40
Y <sub>M</sub>	92.66	-20.69	90.75	93.08	103
L <sub>M</sub>	83.63	-82.75	79.9	115.04	136
C <sub>M</sub>	86.88	-46.16	-13.55	48.12	196
V <sub>M</sub>	30.39	76.06	-103.59	128.52	306
M <sub>M</sub>	57.3	94.35	-58.41	110.97	328
N <sub>M</sub>	0.01	0.0	0.0	0.0	0
W <sub>M</sub>	95.41	0.0	0.0	0.0	0
R <sub>CIE</sub>	39.92	58.74	27.99	65.07	25
J <sub>CIE</sub>	81.26	-2.88	71.56	71.62	92
G <sub>CIE</sub>	52.23	-42.41	13.6	44.55	162
B <sub>CIE</sub>	30.57	1.41	-46.46	46.49	272



%Umfang  
 $u^*_{rel} = 158$   
%Regularität  
 $g^*_{H,rel} = 20$   
 $g^*_{C,rel} = 37$

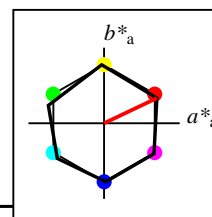
TLS00a; adaptierte CIELAB-Daten	$L^*=L^*_a$	$a^*_a$	$b^*_a$	$C^*_{ab,a}$	$h^*_{ab,a}$
O <sub>Ma</sub>	50.5	76.92	64.55	100.42	40
Y <sub>Ma</sub>	92.66	-20.69	90.75	93.08	103
L <sub>Ma</sub>	83.63	-82.75	79.9	115.04	136
C <sub>Ma</sub>	86.88	-46.16	-13.55	48.12	196
V <sub>Ma</sub>	30.39	76.06	-103.59	128.52	306
M <sub>Ma</sub>	57.3	94.35	-58.41	110.97	328
N <sub>Ma</sub>	0.01	0.0	0.0	0.0	0
W <sub>Ma</sub>	95.41	0.0	0.0	0.0	0
R <sub>CIE</sub>	39.92	58.74	27.99	65.07	25
J <sub>CIE</sub>	81.26	-2.88	71.56	71.62	92
G <sub>CIE</sub>	52.23	-42.41	13.6	44.55	162
B <sub>CIE</sub>	30.57	1.41	-46.46	46.49	272



%Umfang  
 $u^*_{rel} = 100$   
%Regularität  
 $g^*_{H,rel} = 78$   
 $g^*_{C,rel} = 100$

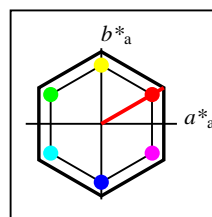
NRS18a; adaptierte CIELAB-Daten	$L^*=L^*_a$	$a^*_a$	$b^*_a$	$C^*_{ab,a}$	$h^*_{ab,a}$
O <sub>Ma</sub>	56.71	69.87	33.29	77.4	25
Y <sub>Ma</sub>	56.71	-3.1	77.34	77.4	92
L <sub>Ma</sub>	56.71	-73.68	23.63	77.39	162
C <sub>Ma</sub>	56.71	-61.81	-46.54	77.39	217
V <sub>Ma</sub>	56.71	2.35	-77.34	77.39	272
M <sub>Ma</sub>	56.71	66.07	-40.3	77.4	329
N <sub>Ma</sub>	18.01	0.0	0.0	0.0	0
W <sub>Ma</sub>	95.41	0.0	0.0	0.0	0
R <sub>CIE</sub>	39.92	58.74	27.99	65.07	25
J <sub>CIE</sub>	81.26	-2.88	71.56	71.62	92
G <sub>CIE</sub>	52.23	-42.41	13.6	44.55	162
B <sub>CIE</sub>	30.57	1.41	-46.46	46.49	272

Workflow-Wahlen  
für Farbmuster:  
1. keine Farbänderung  
2. Buntton-Änderung  
3. Buntheits-Änderung



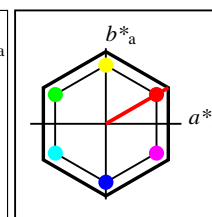
%Umfang  
 $u^*_{rel} = 100$   
%Regularität  
 $g^*_{H,rel} = 78$   
 $g^*_{C,rel} = 100$

NRS18a; adaptierte CIELAB-Daten	$L^*=L^*_a$	$a^*_a$	$b^*_a$	$C^*_{ab,a}$	$h^*_{ab,a}$
O <sub>Ma</sub>	56.71	69.87	33.29	77.4	25
Y <sub>Ma</sub>	56.71	-3.1	77.34	77.4	92
L <sub>Ma</sub>	56.71	-73.68	23.63	77.39	162
C <sub>Ma</sub>	56.71	-61.81	-46.54	77.39	217
V <sub>Ma</sub>	56.71	2.35	-77.34	77.39	272
M <sub>Ma</sub>	56.71	66.07	-40.3	77.4	329
N <sub>Ma</sub>	18.01	0.0	0.0	0.0	0
W <sub>Ma</sub>	95.41	0.0	0.0	0.0	0
R <sub>CIE</sub>	39.92	58.74	27.99	65.07	25
J <sub>CIE</sub>	81.26	-2.88	71.56	71.62	92
G <sub>CIE</sub>	52.23	-42.41	13.6	44.55	162
B <sub>CIE</sub>	30.57	1.41	-46.46	46.49	272



%Umfang  
 $u^*_{rel} = 152$   
%Regularität  
 $g^*_{H,rel} = 100$   
 $g^*_{C,rel} = 100$

NLS00a; adaptierte CIELAB-Daten	$L^*=L^*_a$	$a^*_a$	$b^*_a$	$C^*_{ab,a}$	$h^*_{ab,a}$
O <sub>Ma</sub>	31.81	82.62	47.7	95.4	30
Y <sub>Ma</sub>	63.61	0.0	95.4	95.4	90
L <sub>Ma</sub>	31.81	-82.61	47.7	95.4	150
C <sub>Ma</sub>	63.61	-82.61	-47.69	95.4	210
V <sub>Ma</sub>	31.81	0.0	-95.39	95.4	270
M <sub>Ma</sub>	63.61	82.62	-47.69	95.4	330
N <sub>Ma</sub>	0.01	0.0	0.0	0.0	0
W <sub>Ma</sub>	95.41	0.0	0.0	0.0	0
R <sub>CIE</sub>	39.92	58.74	27.99	65.07	25
J <sub>CIE</sub>	81.26	-2.88	71.56	71.62	92
G <sub>CIE</sub>	52.23	-42.41	13.6	44.55	162
B <sub>CIE</sub>	30.57	1.41	-46.46	46.49	272



%Umfang  
 $u^*_{rel} = 152$   
%Regularität  
 $g^*_{H,rel} = 100$   
 $g^*_{C,rel} = 100$

NLS00	$L^*=L^*_a$	$a^*_a$	$b^*_a$	$C^*_{ab,a}$	$h^*_{ab,a}$
O <sub>M</sub>	31.81	82.62	47.7	95.4	30
Y <sub>M</sub>	63.61	0.0	95.4	95.4	90
L <sub>M</sub>	31.81	-82.61	47.7	95.4	150
C <sub>M</sub>	63.61	-82.61	-47.69	95.4	210
V <sub>M</sub>	31.81	0.0	-95.39	95.4	270
M <sub>M</sub>	63.61	82.62	-47.69	95.4	330
N <sub>M</sub>	0.01	0.0	0.0	0.0	0
W <sub>M</sub>	95.41	0.0	0.0	0.0	0
R <sub>CIE</sub>	39.92	58.74	27.99	65.07	25
J <sub>CIE</sub>	81.26	-2.88	71.56	71.62	92
G <sub>CIE</sub>	52.23	-42.41	13.6	44.55	162
B <sub>CIE</sub>	30.57	1.41	-46.46	46.49	272

**Relatives CIELAB-Buntheitsdiagramm:** ( $a^*_r = lab^*a$ ,  $b^*_r = lab^*b$ ) und **absolutes CIELAB Bunttondreiecks-Diagramm:** ( $L^*$ ,  $C^*_{ab}$ ) für Ein- (---) und Ausgabe (----) TLS00: Eingabe (i) Farbmatrik-Sytem; Sechs Bunttonwinkel des Farbgerätes: (40.0, 102.8, 136.0, 196.4, 306.3, 328.2); Vier Bunttonwinkel der Elementarfarben: (25.5, 92.3, 162.2, 271.7) NLS00: Ausgabe (o) Farbmatrik-Sytem; Sechs Bunttonwinkel des Farbgerätes: (30.0, 90.0, 150.0, 210.0, 270.0, 330.0); Vier Bunttonwinkel der Elementarfarben: (25.5, 92.3, 162.2, 271.7)

#### Y Gelb

$olv3Mi = 1.0 \ 1.0 \ 0.0$   
 $olv3Mo = 0.786 \ 1.0 \ 0.0$   
 $LCHMi = 92.7 \ 93.1 \ 103$   
 $LCHo = 56.8 \ 95.4 \ 103$   
 $tchMi = 0.5 \ 1.0 \ 0.286$   
 $tchMo = 0.5 \ 1.0 \ 0.286$

#### L Laubgrün

$olv3Mi = 0.0 \ 1.0 \ 0.0$   
 $olv3Mo = 0.233 \ 1.0 \ 0.0$   
 $LCHMi = 83.6 \ 115.0 \ 136$   
 $LCHo = 39.2 \ 95.4 \ 136$   
 $tchMi = 0.5 \ 1.0 \ 0.378$   
 $tchMo = 0.5 \ 1.0 \ 0.378$

#### C Cyanblau

$olv3Mi = 0.0 \ 1.0 \ 1.0$   
 $olv3Mo = 0.0 \ 1.0 \ 0.773$   
 $LCHMi = 86.9 \ 48.1 \ 196$   
 $LCHo = 56.4 \ 95.4 \ 196$   
 $tchMi = 0.5 \ 1.0 \ 0.545$   
 $tchMo = 0.5 \ 1.0 \ 0.545$

#### O Orangerot

$olv3Mi = 1.0 \ 0.0 \ 0.0$   
 $olv3Mo = 1.0 \ 0.167 \ 0.0$   
 $LCHMi = 50.5 \ 100.4 \ 40$   
 $LCHo = 37.1 \ 95.4 \ 40$   
 $tchMi = 0.5 \ 1.0 \ 0.111$   
 $tchMo = 0.5 \ 1.0 \ 0.111$

#### M Magentarot

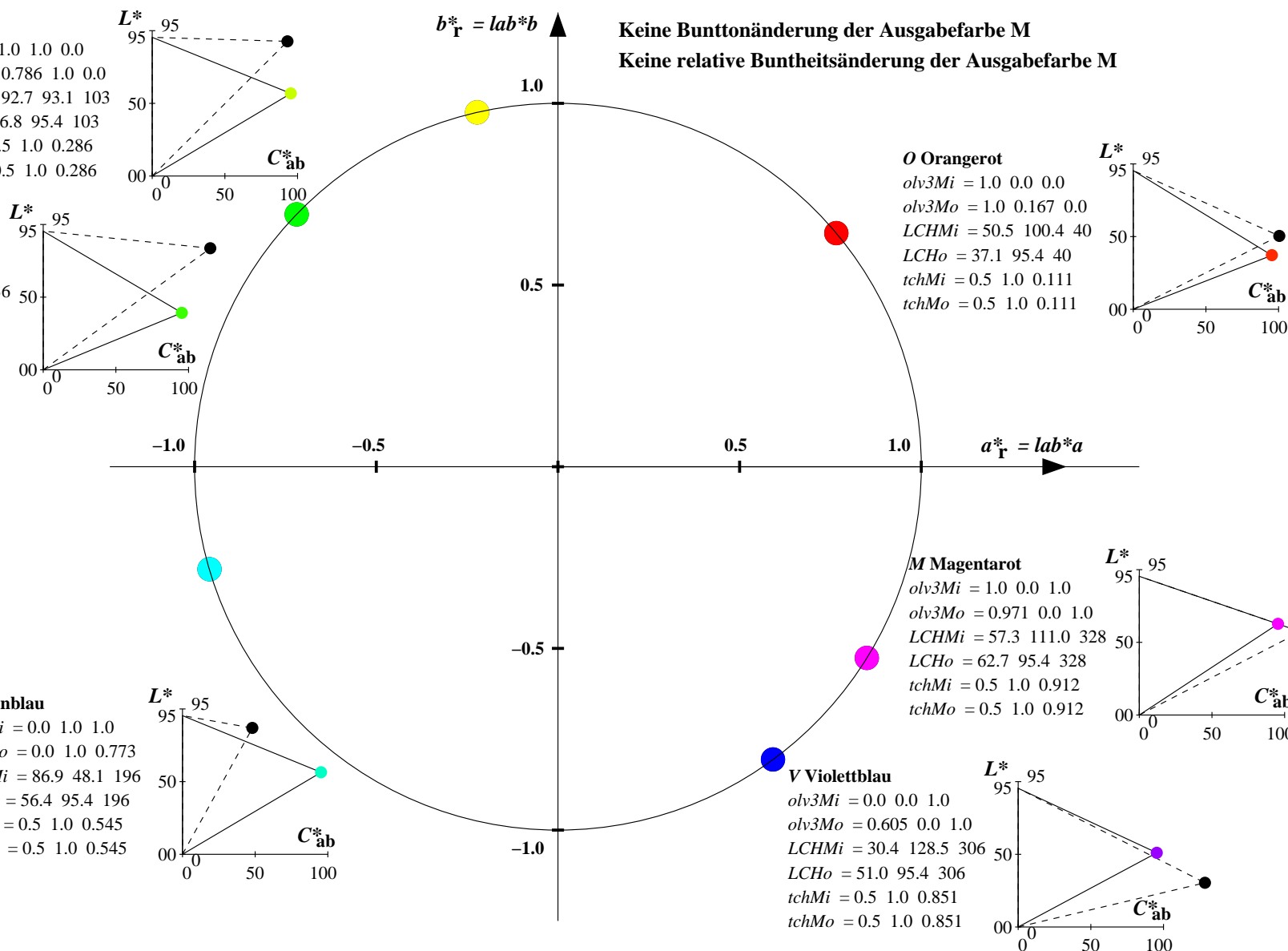
$olv3Mi = 1.0 \ 0.0 \ 1.0$   
 $olv3Mo = 0.971 \ 0.0 \ 1.0$   
 $LCHMi = 57.3 \ 111.0 \ 328$   
 $LCHo = 62.7 \ 95.4 \ 328$   
 $tchMi = 0.5 \ 1.0 \ 0.912$   
 $tchMo = 0.5 \ 1.0 \ 0.912$

#### V Violettblau

$olv3Mi = 0.0 \ 0.0 \ 1.0$   
 $olv3Mo = 0.605 \ 0.0 \ 1.0$   
 $LCHMi = 30.4 \ 128.5 \ 306$   
 $LCHo = 51.0 \ 95.4 \ 306$   
 $tchMi = 0.5 \ 1.0 \ 0.851$   
 $tchMo = 0.5 \ 1.0 \ 0.851$

Keine Bunttonänderung der Ausgabefarbe M

Keine relative Buntheitsänderung der Ausgabefarbe M





**Relatives CIELAB-Buntheitsdiagramm:** ( $a^*_r = lab^*a$ ,  $b^*_r = lab^*b$ ) und **absolutes CIELAB Bunttondreiecks-Diagramm:** ( $L^*$ ,  $C^*_{ab}$ ) für Ein- (---) und Ausgabe (----) TLS00: Eingabe (i) Farbmatrik-Sytem; Sechs Bunttonwinkel des Farbgerätes: (40.0, 102.8, 136.0, 196.4, 306.3, 328.2); Vier Bunttonwinkel der Elementarfarben: (25.5, 92.3, 162.2, 271.7) NLS00: Ausgabe (o) Farbmatrik-Sytem; Sechs Bunttonwinkel des Farbgerätes: (30.0, 90.0, 150.0, 210.0, 270.0, 330.0); Vier Bunttonwinkel der Elementarfarben: (25.5, 92.3, 162.2, 271.7)

#### Y Gelb

$olv3Mi = 1.0 \ 1.0 \ 0.0$   
 $olv3Mo = 0.619 \ 1.0 \ 0.0$   
 $LCHMi = 92.7 \ 93.1 \ 103$   
 $LCHo = 51.5 \ 95.4 \ 113$   
 $tchMi = 0.5 \ 1.0 \ 0.286$   
 $tchMo = 0.5 \ 1.0 \ 0.313$

#### L Laubgrün

$olv3Mi = 0.0 \ 1.0 \ 0.0$   
 $olv3Mo = 0.066 \ 1.0 \ 0.0$   
 $LCHMi = 83.6 \ 115.0 \ 136$   
 $LCHo = 33.9 \ 95.4 \ 146$   
 $tchMi = 0.5 \ 1.0 \ 0.378$   
 $tchMo = 0.5 \ 1.0 \ 0.406$

#### C Cyanblau

$olv3Mi = 0.0 \ 1.0 \ 1.0$   
 $olv3Mo = 0.0 \ 1.0 \ 0.94$   
 $LCHMi = 86.9 \ 48.1 \ 196$   
 $LCHo = 61.7 \ 95.4 \ 206$   
 $tchMi = 0.5 \ 1.0 \ 0.545$   
 $tchMo = 0.5 \ 1.0 \ 0.573$

#### O Orangerot

$olv3Mi = 1.0 \ 0.0 \ 0.0$   
 $olv3Mo = 1.0 \ 0.334 \ 0.0$   
 $LCHMi = 50.5 \ 100.4 \ 40$   
 $LCHo = 42.4 \ 95.4 \ 50$   
 $tchMi = 0.5 \ 1.0 \ 0.111$   
 $tchMo = 0.5 \ 1.0 \ 0.139$

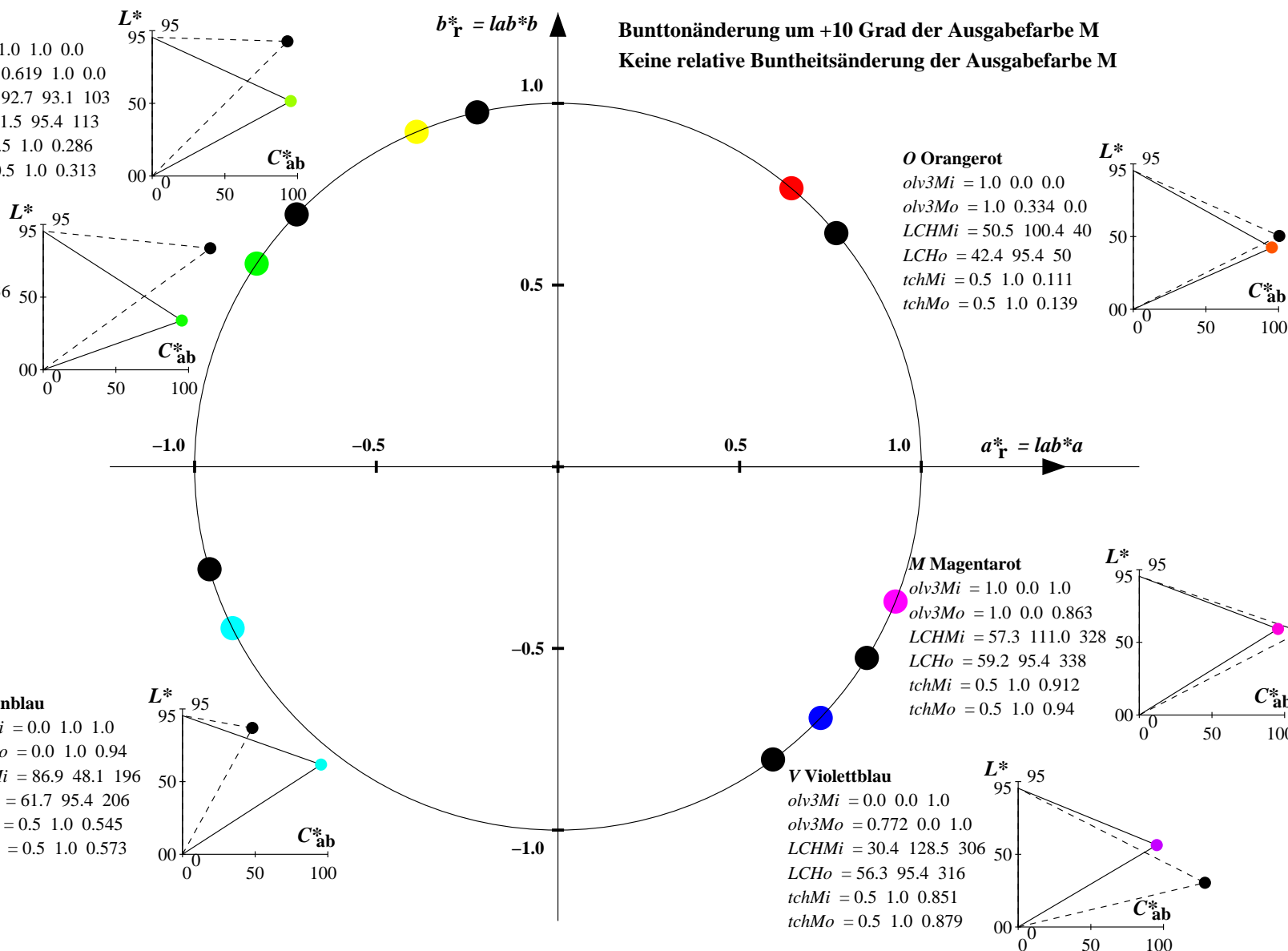
#### M Magentarot

$olv3Mi = 1.0 \ 0.0 \ 1.0$   
 $olv3Mo = 1.0 \ 0.0 \ 0.863$   
 $LCHMi = 57.3 \ 111.0 \ 328$   
 $LCHo = 59.2 \ 95.4 \ 338$   
 $tchMi = 0.5 \ 1.0 \ 0.912$   
 $tchMo = 0.5 \ 1.0 \ 0.94$

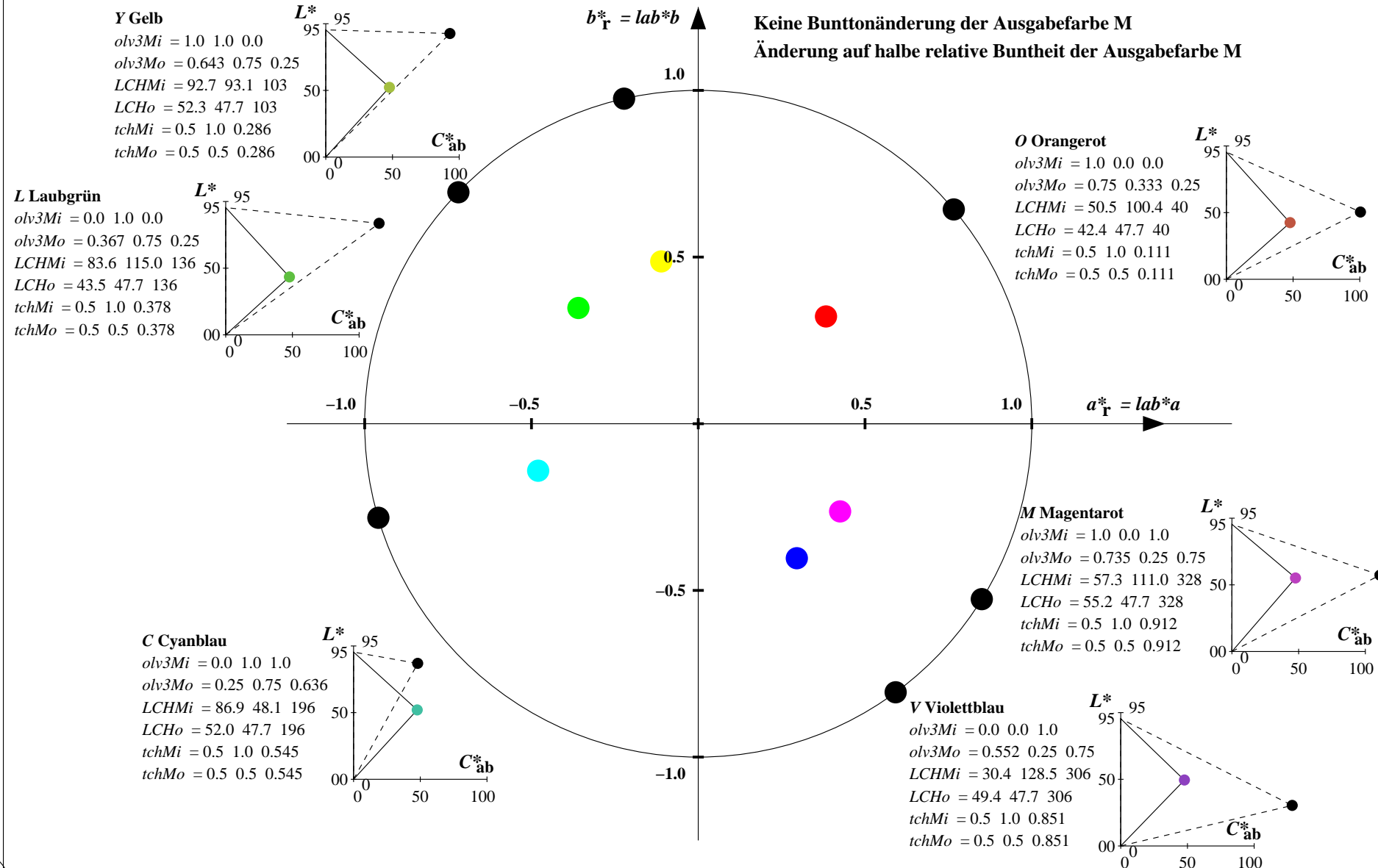
#### V Violettblau

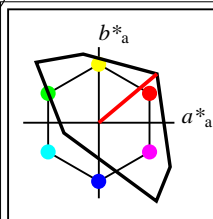
$olv3Mi = 0.0 \ 0.0 \ 1.0$   
 $olv3Mo = 0.772 \ 0.0 \ 1.0$   
 $LCHMi = 30.4 \ 128.5 \ 306$   
 $LCHo = 56.3 \ 95.4 \ 316$   
 $tchMi = 0.5 \ 1.0 \ 0.851$   
 $tchMo = 0.5 \ 1.0 \ 0.879$

**Bunttonänderung um +10 Grad der Ausgabefarbe M**  
**Keine relative Buntheitsänderung der Ausgabefarbe M**



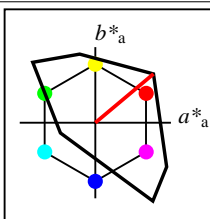
**Relatives CIELAB-Buntheitsdiagramm:** ( $a_R^* = lab^*a$ ,  $b_R^* = lab^*b$ ) und **absolutes CIELAB Bunttondreiecks-Diagramm:** ( $L^*$ ,  $C_{ab}^*$ ) für Ein- (—) und Ausgabe (---) TLS00: Eingabe (i) Farbmatrik-Sytem; Sechs Bunttonwinkel des Farbgerätes: (40.0, 102.8, 136.0, 196.4, 306.3, 328.2); Vier Bunttonwinkel der Elementarfarben: (25.5, 92.3, 162.2, 271.7) NLS00: Ausgabe (o) Farbmatrik-Sytem; Sechs Bunttonwinkel des Farbgerätes: (30.0, 90.0, 150.0, 210.0, 270.0, 330.0); Vier Bunttonwinkel der Elementarfarben: (25.5, 92.3, 162.2, 271.7)





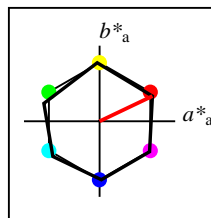
%Umfang  
 $u^*_{rel} = 158$   
%Regularität  
 $g^*_{H,rel} = 20$   
 $g^*_{C,rel} = 37$

TLS00	$L^*=L^*_a$	$a^*_a$	$b^*_a$	$C^*_{ab,a}$	$h^*_{ab,a}$
O <sub>M</sub>	50.5	76.92	64.55	100.42	40
Y <sub>M</sub>	92.66	-20.69	90.75	93.08	103
L <sub>M</sub>	83.63	-82.75	79.9	115.04	136
C <sub>M</sub>	86.88	-46.16	-13.55	48.12	196
V <sub>M</sub>	30.39	76.06	-103.59	128.52	306
M <sub>M</sub>	57.3	94.35	-58.41	110.97	328
N <sub>M</sub>	0.01	0.0	0.0	0.0	0
W <sub>M</sub>	95.41	0.0	0.0	0.0	0
R <sub>CIE</sub>	39.92	58.74	27.99	65.07	25
J <sub>CIE</sub>	81.26	-2.88	71.56	71.62	92
G <sub>CIE</sub>	52.23	-42.41	13.6	44.55	162
B <sub>CIE</sub>	30.57	1.41	-46.46	46.49	272



%Umfang  
 $u^*_{rel} = 158$   
%Regularität  
 $g^*_{H,rel} = 20$   
 $g^*_{C,rel} = 37$

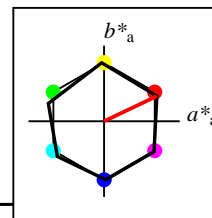
TLS00a; adaptierte CIELAB-Daten	$L^*=L^*_a$	$a^*_a$	$b^*_a$	$C^*_{ab,a}$	$h^*_{ab,a}$
O <sub>Ma</sub>	50.5	76.92	64.55	100.42	40
Y <sub>Ma</sub>	92.66	-20.69	90.75	93.08	103
L <sub>Ma</sub>	83.63	-82.75	79.9	115.04	136
C <sub>Ma</sub>	86.88	-46.16	-13.55	48.12	196
V <sub>Ma</sub>	30.39	76.06	-103.59	128.52	306
M <sub>Ma</sub>	57.3	94.35	-58.41	110.97	328
N <sub>Ma</sub>	0.01	0.0	0.0	0.0	0
W <sub>Ma</sub>	95.41	0.0	0.0	0.0	0
R <sub>CIE</sub>	39.92	58.74	27.99	65.07	25
J <sub>CIE</sub>	81.26	-2.88	71.56	71.62	92
G <sub>CIE</sub>	52.23	-42.41	13.6	44.55	162
B <sub>CIE</sub>	30.57	1.41	-46.46	46.49	272



%Umfang  
 $u^*_{rel} = 100$   
%Regularität  
 $g^*_{H,rel} = 78$   
 $g^*_{C,rel} = 100$

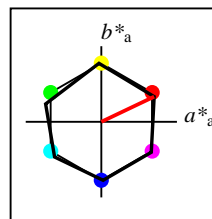
NRS18a; adaptierte CIELAB-Daten	$L^*=L^*_a$	$a^*_a$	$b^*_a$	$C^*_{ab,a}$	$h^*_{ab,a}$
O <sub>Ma</sub>	56.71	69.87	33.29	77.4	25
Y <sub>Ma</sub>	56.71	-3.1	77.34	77.4	92
L <sub>Ma</sub>	56.71	-73.68	23.63	77.39	162
C <sub>Ma</sub>	56.71	-61.81	-46.54	77.39	217
V <sub>Ma</sub>	56.71	2.35	-77.34	77.39	272
M <sub>Ma</sub>	56.71	66.07	-40.3	77.4	329
N <sub>Ma</sub>	18.01	0.0	0.0	0.0	0
W <sub>Ma</sub>	95.41	0.0	0.0	0.0	0
R <sub>CIE</sub>	39.92	58.74	27.99	65.07	25
J <sub>CIE</sub>	81.26	-2.88	71.56	71.62	92
G <sub>CIE</sub>	52.23	-42.41	13.6	44.55	162
B <sub>CIE</sub>	30.57	1.41	-46.46	46.49	272

Workflow-Wahlen  
für Farbmuster:  
1. keine Farbänderung  
2. Buntton-Änderung  
3. Buntheits-Änderung



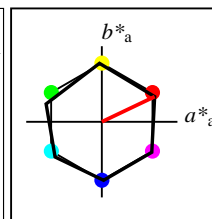
%Umfang  
 $u^*_{rel} = 100$   
%Regularität  
 $g^*_{H,rel} = 78$   
 $g^*_{C,rel} = 100$

NRS18a; adaptierte CIELAB-Daten	$L^*=L^*_a$	$a^*_a$	$b^*_a$	$C^*_{ab,a}$	$h^*_{ab,a}$
O <sub>Ma</sub>	56.71	69.87	33.29	77.4	25
Y <sub>Ma</sub>	56.71	-3.1	77.34	77.4	92
L <sub>Ma</sub>	56.71	-73.68	23.63	77.39	162
C <sub>Ma</sub>	56.71	-61.81	-46.54	77.39	217
V <sub>Ma</sub>	56.71	2.35	-77.34	77.39	272
M <sub>Ma</sub>	56.71	66.07	-40.3	77.4	329
N <sub>Ma</sub>	18.01	0.0	0.0	0.0	0
W <sub>Ma</sub>	95.41	0.0	0.0	0.0	0
R <sub>CIE</sub>	39.92	58.74	27.99	65.07	25
J <sub>CIE</sub>	81.26	-2.88	71.56	71.62	92
G <sub>CIE</sub>	52.23	-42.41	13.6	44.55	162
B <sub>CIE</sub>	30.57	1.41	-46.46	46.49	272



%Umfang  
 $u^*_{rel} = 100$   
%Regularität  
 $g^*_{H,rel} = 78$   
 $g^*_{C,rel} = 100$

NRS18a; adaptierte CIELAB-Daten	$L^*=L^*_a$	$a^*_a$	$b^*_a$	$C^*_{ab,a}$	$h^*_{ab,a}$
O <sub>Ma</sub>	56.71	69.87	33.29	77.4	25
Y <sub>Ma</sub>	56.71	-3.1	77.34	77.4	92
L <sub>Ma</sub>	56.71	-73.68	23.63	77.39	162
C <sub>Ma</sub>	56.71	-61.81	-46.54	77.39	217
V <sub>Ma</sub>	56.71	2.35	-77.34	77.39	272
M <sub>Ma</sub>	56.71	66.07	-40.3	77.4	329
N <sub>Ma</sub>	18.01	0.0	0.0	0.0	0
W <sub>Ma</sub>	95.41	0.0	0.0	0.0	0
R <sub>CIE</sub>	39.92	58.74	27.99	65.07	25
J <sub>CIE</sub>	81.26	-2.88	71.56	71.62	92
G <sub>CIE</sub>	52.23	-42.41	13.6	44.55	162
B <sub>CIE</sub>	30.57	1.41	-46.46	46.49	272



%Umfang  
 $u^*_{rel} = 100$   
%Regularität  
 $g^*_{H,rel} = 78$   
 $g^*_{C,rel} = 100$

NRS18	$L^*=L^*_a$	$a^*_a$	$b^*_a$	$C^*_{ab,a}$	$h^*_{ab,a}$
O <sub>M</sub>	56.71	69.87	33.29	77.4	25
Y <sub>M</sub>	56.71	-3.1	77.34	77.4	92
L <sub>M</sub>	56.71	-73.68	23.63	77.39	162
C <sub>M</sub>	56.71	-61.81	-46.54	77.39	217
V <sub>M</sub>	56.71	2.35	-77.34	77.39	272
M <sub>M</sub>	56.71	66.07	-40.3	77.4	329
N <sub>M</sub>	18.01	0.0	0.0	0.0	0
W <sub>M</sub>	95.41	0.0	0.0	0.0	0
R <sub>CIE</sub>	39.92	58.74	27.99	65.07	25
J <sub>CIE</sub>	81.26	-2.88	71.56	71.62	92
G <sub>CIE</sub>	52.23	-42.41	13.6	44.55	162
B <sub>CIE</sub>	30.57	1.41	-46.46	46.49	272

**Relatives CIELAB-Buntheitsdiagramm: ( $a_R^* = lab^*a$ ,  $b_R^* = lab^*b$ ) und absolutes CIELAB Bunttendreiecks-Diagramm: ( $L^*$ ,  $C_{ab}^*$ ) für Ein- (---) und Ausgabe (----) TLS00: Eingabe (i) Farbmatrik-Sytem; Sechs Bunttonwinkel des Farbgerätes: (40.0, 102.8, 136.0, 196.4, 306.3, 328.2); Vier Bunttonwinkel der Elementarfarben: (25.5, 92.3, 162.2, 271.7) NRS18: Ausgabe (o) Farbmatrik-Sytem; Sechs Bunttonwinkel des Farbgerätes: (25.5, 92.3, 162.2, 217.0, 271.7, 328.6); Vier Bunttonwinkel der Elementarfarben: (25.5, 92.3, 162.2, 271.7)**

#### Y Gelb

$olv3Mi = 1.0 \ 1.0 \ 0.0$   
 $olv3Mo = 0.849 \ 1.0 \ 0.0$   
 $LCHMi = 92.7 \ 93.1 \ 103$   
 $LCHo = 56.7 \ 77.4 \ 103$   
 $tchMi = 0.5 \ 1.0 \ 0.286$   
 $tchMo = 0.5 \ 1.0 \ 0.286$

#### L Laubgrün

$olv3Mi = 0.0 \ 1.0 \ 0.0$   
 $olv3Mo = 0.375 \ 1.0 \ 0.0$   
 $LCHMi = 83.6 \ 115.0 \ 136$   
 $LCHo = 56.7 \ 77.4 \ 136$   
 $tchMi = 0.5 \ 1.0 \ 0.378$   
 $tchMo = 0.5 \ 1.0 \ 0.378$

#### C Cyanblau

$olv3Mi = 0.0 \ 1.0 \ 1.0$   
 $olv3Mo = 0.0 \ 1.0 \ 0.624$   
 $LCHMi = 86.9 \ 48.1 \ 196$   
 $LCHo = 56.7 \ 77.4 \ 196$   
 $tchMi = 0.5 \ 1.0 \ 0.545$   
 $tchMo = 0.5 \ 1.0 \ 0.545$

#### O Orangerot

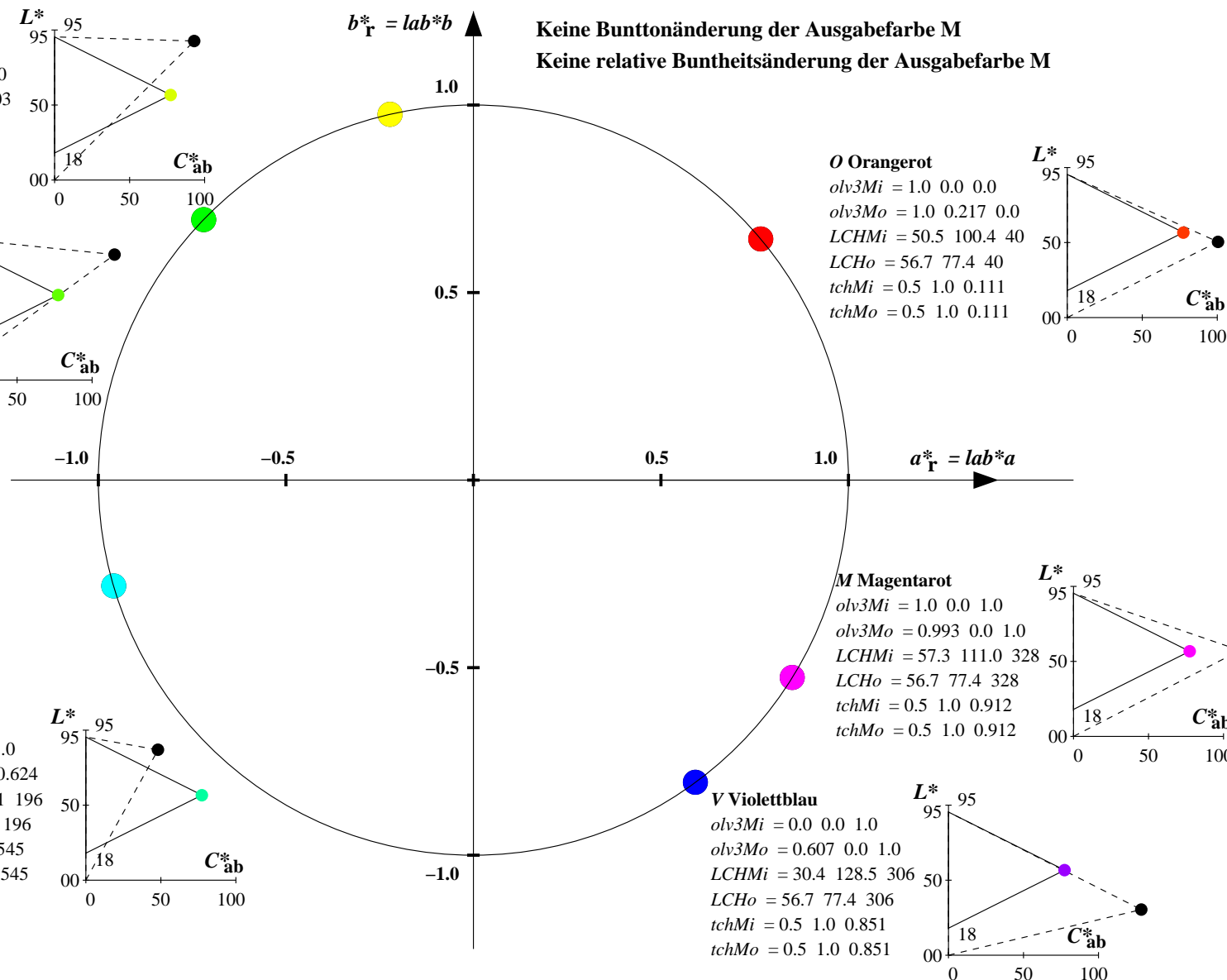
$olv3Mi = 1.0 \ 0.0 \ 0.0$   
 $olv3Mo = 1.0 \ 0.217 \ 0.0$   
 $LCHMi = 50.5 \ 100.4 \ 40$   
 $LCHo = 56.7 \ 77.4 \ 40$   
 $tchMi = 0.5 \ 1.0 \ 0.111$   
 $tchMo = 0.5 \ 1.0 \ 0.111$

#### M Magentarot

$olv3Mi = 1.0 \ 0.0 \ 1.0$   
 $olv3Mo = 0.993 \ 0.0 \ 1.0$   
 $LCHMi = 57.3 \ 111.0 \ 328$   
 $LCHo = 56.7 \ 77.4 \ 328$   
 $tchMi = 0.5 \ 1.0 \ 0.912$   
 $tchMo = 0.5 \ 1.0 \ 0.912$

#### V Violettblau

$olv3Mi = 0.0 \ 0.0 \ 1.0$   
 $olv3Mo = 0.607 \ 0.0 \ 1.0$   
 $LCHMi = 30.4 \ 128.5 \ 306$   
 $LCHo = 56.7 \ 77.4 \ 306$   
 $tchMi = 0.5 \ 1.0 \ 0.851$   
 $tchMo = 0.5 \ 1.0 \ 0.851$



**Relatives CIELAB-Buntheitsdiagramm:** ( $a_R^* = lab^*a$ ,  $b_R^* = lab^*b$ ) und **absolutes CIELAB Bunttondreiecks-Diagramm:** ( $L^*$ ,  $C_{ab}^*$ ) für Ein- (---) und Ausgabe (----) TLS00: Eingabe (i) Farbmatrik-Sytem; Sechs Bunttonwinkel des Farbgerätes: (40.0, 102.8, 136.0, 196.4, 306.3, 328.2); Vier Bunttonwinkel der Elementarfarben: (25.5, 92.3, 162.2, 271.7) NRS18: Ausgabe (o) Farbmatrik-Sytem; Sechs Bunttonwinkel des Farbgerätes: (25.5, 92.3, 162.2, 217.0, 271.7, 328.6); Vier Bunttonwinkel der Elementarfarben: (25.5, 92.3, 162.2, 271.7)

#### Y Gelb

olv3Mi = 1.0 1.0 0.0  
olv3Mo = 0.706 1.0 0.0  
LCHMi = 92.7 93.1 103  
LCHo = 56.7 77.4 113  
tchMi = 0.5 1.0 0.286  
tchMo = 0.5 1.0 0.313

#### L Laubgrün

olv3Mi = 0.0 1.0 0.0  
olv3Mo = 0.232 1.0 0.0  
LCHMi = 83.6 115.0 136  
LCHo = 56.7 77.4 146  
tchMi = 0.5 1.0 0.378  
tchMo = 0.5 1.0 0.406

#### C Cyanblau

olv3Mi = 0.0 1.0 1.0  
olv3Mo = 0.0 1.0 0.806  
LCHMi = 86.9 48.1 196  
LCHo = 56.7 77.4 206  
tchMi = 0.5 1.0 0.545  
tchMo = 0.5 1.0 0.573

#### O Orangerot

olv3Mi = 1.0 0.0 0.0  
olv3Mo = 1.0 0.367 0.0  
LCHMi = 50.5 100.4 40  
LCHo = 56.7 77.4 50  
tchMi = 0.5 1.0 0.111  
tchMo = 0.5 1.0 0.139

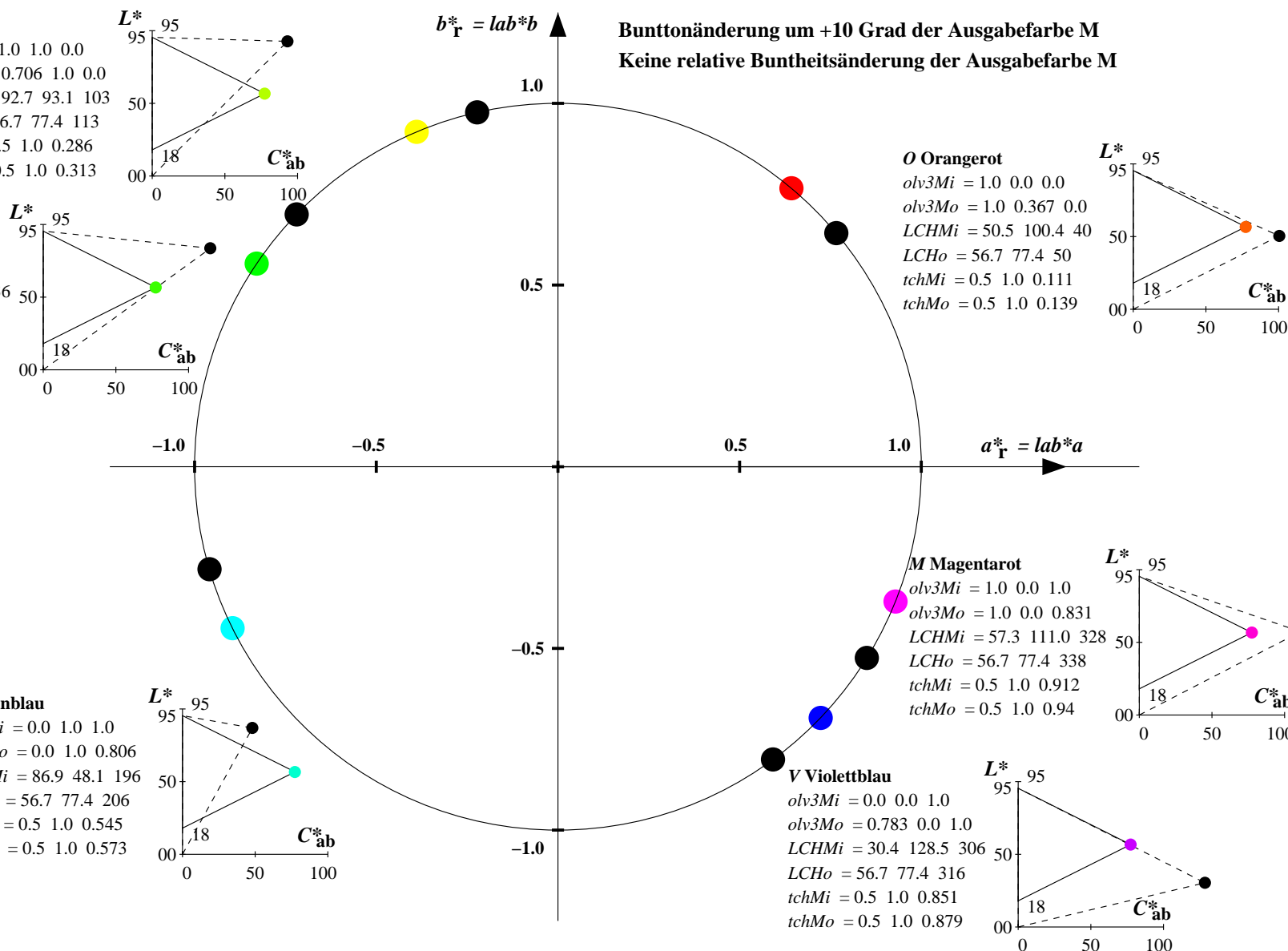
#### M Magentarot

olv3Mi = 1.0 0.0 1.0  
olv3Mo = 1.0 0.0 0.831  
LCHMi = 57.3 111.0 328  
LCHo = 56.7 77.4 338  
tchMi = 0.5 1.0 0.912  
tchMo = 0.5 1.0 0.94

#### V Violettblau

olv3Mi = 0.0 0.0 1.0  
olv3Mo = 0.783 0.0 1.0  
LCHMi = 30.4 128.5 306  
LCHo = 56.7 77.4 316  
tchMi = 0.5 1.0 0.851  
tchMo = 0.5 1.0 0.879

**Bunttonänderung um +10 Grad der Ausgabefarbe M**  
**Keine relative Buntheitsänderung der Ausgabefarbe M**





**Relatives CIELAB-Buntheitsdiagramm:** ( $a^*_r = lab^*a$ ,  $b^*_r = lab^*b$ ) und **absolutes CIELAB Bunttondreiecks-Diagramm:** ( $L^*$ ,  $C^*_{ab}$ ) für Ein- (—) und Ausgabe (---) TLS00: Eingabe (i) Farbmatrik-Sytem; Sechs Bunttonwinkel des Farbgerätes: (40.0, 102.8, 136.0, 196.4, 306.3, 328.2); Vier Bunttonwinkel der Elementarfarben: (25.5, 92.3, 162.2, 271.7) NRS18: Ausgabe (o) Farbmatrik-Sytem; Sechs Bunttonwinkel des Farbgerätes: (25.5, 92.3, 162.2, 217.0, 271.7, 328.6); Vier Bunttonwinkel der Elementarfarben: (25.5, 92.3, 162.2, 271.7)

#### Y Gelb

$olv3Mi = 1.0 \ 1.0 \ 0.0$   
 $olv3Mo = 0.675 \ 0.75 \ 0.25$   
 $LCHMi = 92.7 \ 93.1 \ 103$   
 $LCHo = 52.2 \ 38.7 \ 103$   
 $tchMi = 0.5 \ 1.0 \ 0.286$   
 $tchMo = 0.5 \ 0.5 \ 0.286$

#### L Laubgrün

$olv3Mi = 0.0 \ 1.0 \ 0.0$   
 $olv3Mo = 0.437 \ 0.75 \ 0.25$   
 $LCHMi = 83.6 \ 115.0 \ 136$   
 $LCHo = 52.2 \ 38.7 \ 136$   
 $tchMi = 0.5 \ 1.0 \ 0.378$   
 $tchMo = 0.5 \ 0.5 \ 0.378$

#### C Cyanblau

$olv3Mi = 0.0 \ 1.0 \ 1.0$   
 $olv3Mo = 0.25 \ 0.75 \ 0.562$   
 $LCHMi = 86.9 \ 48.1 \ 196$   
 $LCHo = 52.2 \ 38.7 \ 196$   
 $tchMi = 0.5 \ 1.0 \ 0.545$   
 $tchMo = 0.5 \ 0.5 \ 0.545$

#### O Orangerot

$olv3Mi = 1.0 \ 0.0 \ 0.0$   
 $olv3Mo = 0.75 \ 0.359 \ 0.25$   
 $LCHMi = 50.5 \ 100.4 \ 40$   
 $LCHo = 52.2 \ 38.7 \ 40$   
 $tchMi = 0.5 \ 1.0 \ 0.111$   
 $tchMo = 0.5 \ 0.5 \ 0.111$

#### M Magentarot

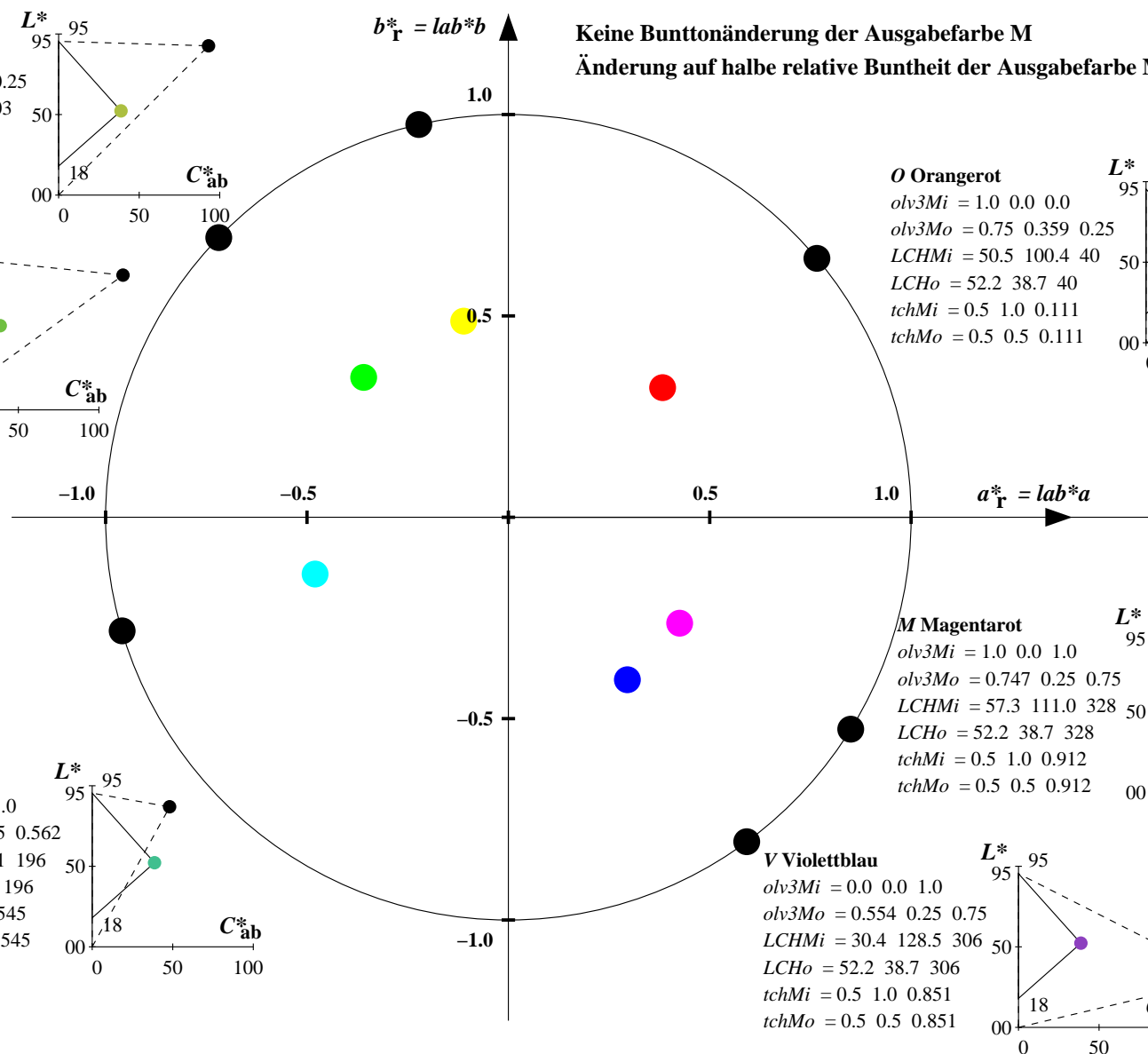
$olv3Mi = 1.0 \ 0.0 \ 1.0$   
 $olv3Mo = 0.747 \ 0.25 \ 0.75$   
 $LCHMi = 57.3 \ 111.0 \ 328$   
 $LCHo = 52.2 \ 38.7 \ 328$   
 $tchMi = 0.5 \ 1.0 \ 0.912$   
 $tchMo = 0.5 \ 0.5 \ 0.912$

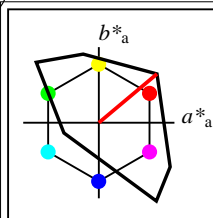
#### V Violettblau

$olv3Mi = 0.0 \ 0.0 \ 1.0$   
 $olv3Mo = 0.554 \ 0.25 \ 0.75$   
 $LCHMi = 30.4 \ 128.5 \ 306$   
 $LCHo = 52.2 \ 38.7 \ 306$   
 $tchMi = 0.5 \ 1.0 \ 0.851$   
 $tchMo = 0.5 \ 0.5 \ 0.851$

**Keine Bunttonänderung der Ausgabefarbe M**

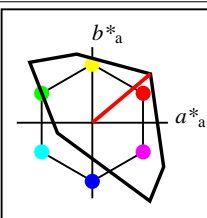
**Änderung auf halbe relative Buntheit der Ausgabefarbe M**





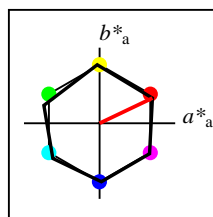
%Umfang  
 $u^*_{rel} = 158$   
%Regularität  
 $g^*_{H,rel} = 20$   
 $g^*_{C,rel} = 37$

TLS00	$L^*=L^*_a$	$a^*_a$	$b^*_a$	$C^*_{ab,a}$	$h^*_{ab,a}$
O <sub>M</sub>	50.5	76.92	64.55	100.42	40
Y <sub>M</sub>	92.66	-20.69	90.75	93.08	103
L <sub>M</sub>	83.63	-82.75	79.9	115.04	136
C <sub>M</sub>	86.88	-46.16	-13.55	48.12	196
V <sub>M</sub>	30.39	76.06	-103.59	128.52	306
M <sub>M</sub>	57.3	94.35	-58.41	110.97	328
N <sub>M</sub>	0.01	0.0	0.0	0.0	0
W <sub>M</sub>	95.41	0.0	0.0	0.0	0
R <sub>CIE</sub>	39.92	58.74	27.99	65.07	25
J <sub>CIE</sub>	81.26	-2.88	71.56	71.62	92
G <sub>CIE</sub>	52.23	-42.41	13.6	44.55	162
B <sub>CIE</sub>	30.57	1.41	-46.46	46.49	272



%Umfang  
 $u^*_{rel} = 158$   
%Regularität  
 $g^*_{H,rel} = 20$   
 $g^*_{C,rel} = 37$

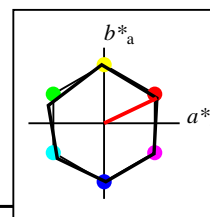
TLS00a; adaptierte CIELAB-Daten	$L^*=L^*_a$	$a^*_a$	$b^*_a$	$C^*_{ab,a}$	$h^*_{ab,a}$
O <sub>Ma</sub>	50.5	76.92	64.55	100.42	40
Y <sub>Ma</sub>	92.66	-20.69	90.75	93.08	103
L <sub>Ma</sub>	83.63	-82.75	79.9	115.04	136
C <sub>Ma</sub>	86.88	-46.16	-13.55	48.12	196
V <sub>Ma</sub>	30.39	76.06	-103.59	128.52	306
M <sub>Ma</sub>	57.3	94.35	-58.41	110.97	328
N <sub>Ma</sub>	0.01	0.0	0.0	0.0	0
W <sub>Ma</sub>	95.41	0.0	0.0	0.0	0
R <sub>CIE</sub>	39.92	58.74	27.99	65.07	25
J <sub>CIE</sub>	81.26	-2.88	71.56	71.62	92
G <sub>CIE</sub>	52.23	-42.41	13.6	44.55	162
B <sub>CIE</sub>	30.57	1.41	-46.46	46.49	272



%Umfang  
 $u^*_{rel} = 100$   
%Regularität  
 $g^*_{H,rel} = 78$   
 $g^*_{C,rel} = 100$

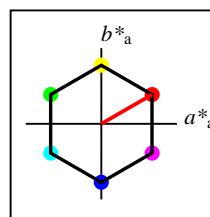
NRS18a; adaptierte CIELAB-Daten	$L^*=L^*_a$	$a^*_a$	$b^*_a$	$C^*_{ab,a}$	$h^*_{ab,a}$
O <sub>Ma</sub>	56.71	69.87	33.29	77.4	25
Y <sub>Ma</sub>	56.71	-3.1	77.34	77.4	92
L <sub>Ma</sub>	56.71	-73.68	23.63	77.39	162
C <sub>Ma</sub>	56.71	-61.81	-46.54	77.39	217
V <sub>Ma</sub>	56.71	2.35	-77.34	77.39	272
M <sub>Ma</sub>	56.71	66.07	-40.3	77.4	329
N <sub>Ma</sub>	18.01	0.0	0.0	0.0	0
W <sub>Ma</sub>	95.41	0.0	0.0	0.0	0
R <sub>CIE</sub>	39.92	58.74	27.99	65.07	25
J <sub>CIE</sub>	81.26	-2.88	71.56	71.62	92
G <sub>CIE</sub>	52.23	-42.41	13.6	44.55	162
B <sub>CIE</sub>	30.57	1.41	-46.46	46.49	272

Workflow-Wahlen  
für Farbmuster:  
1. keine Farbänderung  
2. Buntton-Änderung  
3. Buntheits-Änderung



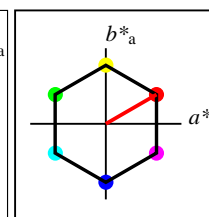
%Umfang  
 $u^*_{rel} = 100$   
%Regularität  
 $g^*_{H,rel} = 78$   
 $g^*_{C,rel} = 100$

NRS18a; adaptierte CIELAB-Daten	$L^*=L^*_a$	$a^*_a$	$b^*_a$	$C^*_{ab,a}$	$h^*_{ab,a}$
O <sub>Ma</sub>	56.71	69.87	33.29	77.4	25
Y <sub>Ma</sub>	56.71	-3.1	77.34	77.4	92
L <sub>Ma</sub>	56.71	-73.68	23.63	77.39	162
C <sub>Ma</sub>	56.71	-61.81	-46.54	77.39	217
V <sub>Ma</sub>	56.71	2.35	-77.34	77.39	272
M <sub>Ma</sub>	56.71	66.07	-40.3	77.4	329
N <sub>Ma</sub>	18.01	0.0	0.0	0.0	0
W <sub>Ma</sub>	95.41	0.0	0.0	0.0	0
R <sub>CIE</sub>	39.92	58.74	27.99	65.07	25
J <sub>CIE</sub>	81.26	-2.88	71.56	71.62	92
G <sub>CIE</sub>	52.23	-42.41	13.6	44.55	162
B <sub>CIE</sub>	30.57	1.41	-46.46	46.49	272



%Umfang  
 $u^*_{rel} = 100$   
%Regularität  
 $g^*_{H,rel} = 100$   
 $g^*_{C,rel} = 100$

SRS18a; adaptierte CIELAB-Daten	$L^*=L^*_a$	$a^*_a$	$b^*_a$	$C^*_{ab,a}$	$h^*_{ab,a}$
O <sub>Ma</sub>	56.71	67.03	38.7	77.4	30
Y <sub>Ma</sub>	56.71	0.0	77.4	77.4	90
L <sub>Ma</sub>	56.71	-67.02	38.7	77.4	150
C <sub>Ma</sub>	56.71	-67.02	-38.69	77.4	210
V <sub>Ma</sub>	56.71	0.0	-77.39	77.4	270
M <sub>Ma</sub>	56.71	67.03	-38.69	77.4	330
N <sub>Ma</sub>	18.01	0.0	0.0	0.0	0
W <sub>Ma</sub>	95.41	0.0	0.0	0.0	0
R <sub>CIE</sub>	39.92	58.74	27.99	65.07	25
J <sub>CIE</sub>	81.26	-2.88	71.56	71.62	92
G <sub>CIE</sub>	52.23	-42.41	13.6	44.55	162
B <sub>CIE</sub>	30.57	1.41	-46.46	46.49	272



%Umfang  
 $u^*_{rel} = 100$   
%Regularität  
 $g^*_{H,rel} = 100$   
 $g^*_{C,rel} = 100$

SRS18	$L^*=L^*_a$	$a^*_a$	$b^*_a$	$C^*_{ab,a}$	$h^*_{ab,a}$
O <sub>M</sub>	56.71	67.03	38.7	77.4	30
Y <sub>M</sub>	56.71	0.0	77.4	77.4	90
L <sub>M</sub>	56.71	-67.02	38.7	77.4	150
C <sub>M</sub>	56.71	-67.02	-38.69	77.4	210
V <sub>M</sub>	56.71	0.0	-77.39	77.4	270
M <sub>M</sub>	56.71	67.03	-38.69	77.4	330
N <sub>M</sub>	18.01	0.0	0.0	0.0	0
W <sub>M</sub>	95.41	0.0	0.0	0.0	0
R <sub>CIE</sub>	39.92	58.74	27.99	65.07	25
J <sub>CIE</sub>	81.26	-2.88	71.56	71.62	92
G <sub>CIE</sub>	52.23	-42.41	13.6	44.55	162
B <sub>CIE</sub>	30.57	1.41	-46.46	46.49	272

**Relatives CIELAB-Buntheitsdiagramm:** ( $a^*_r = lab^*a$ ,  $b^*_r = lab^*b$ ) und **absolutes CIELAB Bunttondreiecks-Diagramm:** ( $L^*$ ,  $C^*_{ab}$ ) für Ein- (---) und Ausgabe (----) TLS00: Eingabe (i) Farbmatrik-Sytem; Sechs Bunttonwinkel des Farbgerätes: (40.0, 102.8, 136.0, 196.4, 306.3, 328.2); Vier Bunttonwinkel der Elementarfarben: (25.5, 92.3, 162.2, 271.7) SRS18: Ausgabe (o) Farbmatrik-Sytem; Sechs Bunttonwinkel des Farbgerätes: (30.0, 90.0, 150.0, 210.0, 270.0, 330.0); Vier Bunttonwinkel der Elementarfarben: (25.5, 92.3, 162.2, 271.7)

#### Y Gelb

$olv3Mi = 1.0 \ 1.0 \ 0.0$   
 $olv3Mo = 0.786 \ 1.0 \ 0.0$   
 $LCHMi = 92.7 \ 93.1 \ 103$   
 $LCHo = 56.7 \ 77.4 \ 103$   
 $tchMi = 0.5 \ 1.0 \ 0.286$   
 $tchMo = 0.5 \ 1.0 \ 0.286$

#### L Laubgrün

$olv3Mi = 0.0 \ 1.0 \ 0.0$   
 $olv3Mo = 0.233 \ 1.0 \ 0.0$   
 $LCHMi = 83.6 \ 115.0 \ 136$   
 $LCHo = 56.7 \ 77.4 \ 136$   
 $tchMi = 0.5 \ 1.0 \ 0.378$   
 $tchMo = 0.5 \ 1.0 \ 0.378$

#### C Cyanblau

$olv3Mi = 0.0 \ 1.0 \ 1.0$   
 $olv3Mo = 0.0 \ 1.0 \ 0.773$   
 $LCHMi = 86.9 \ 48.1 \ 196$   
 $LCHo = 56.7 \ 77.4 \ 196$   
 $tchMi = 0.5 \ 1.0 \ 0.545$   
 $tchMo = 0.5 \ 1.0 \ 0.545$

#### M Magentarot

$olv3Mi = 1.0 \ 0.0 \ 1.0$   
 $olv3Mo = 0.971 \ 0.0 \ 1.0$   
 $LCHMi = 57.3 \ 111.0 \ 328$   
 $LCHo = 56.7 \ 77.4 \ 328$   
 $tchMi = 0.5 \ 1.0 \ 0.912$   
 $tchMo = 0.5 \ 1.0 \ 0.912$

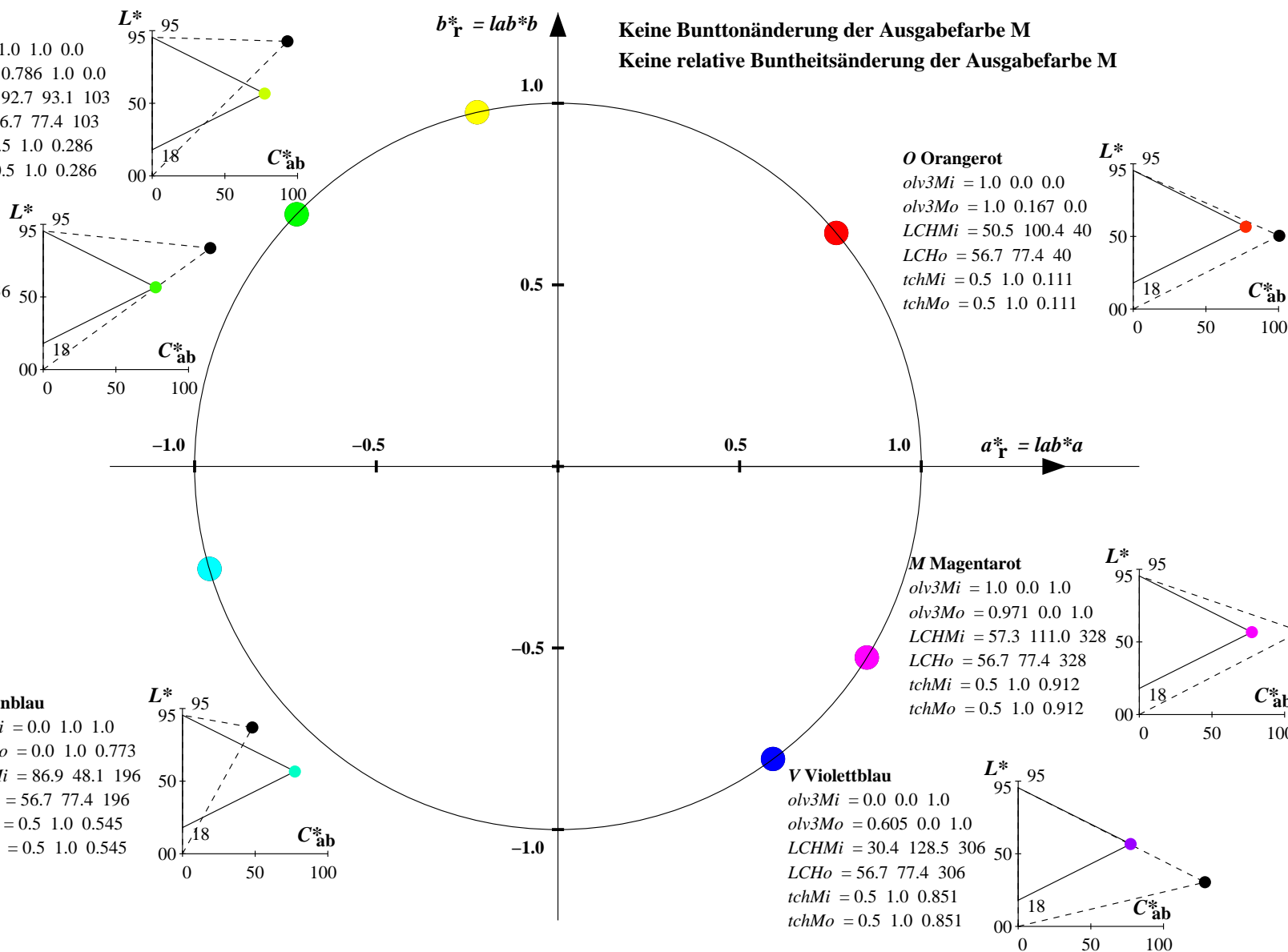
#### V Violettblau

$olv3Mi = 0.0 \ 0.0 \ 1.0$   
 $olv3Mo = 0.605 \ 0.0 \ 1.0$   
 $LCHMi = 30.4 \ 128.5 \ 306$   
 $LCHo = 56.7 \ 77.4 \ 306$   
 $tchMi = 0.5 \ 1.0 \ 0.851$   
 $tchMo = 0.5 \ 1.0 \ 0.851$

#### O Orangerot

$olv3Mi = 1.0 \ 0.0 \ 0.0$   
 $olv3Mo = 1.0 \ 0.167 \ 0.0$   
 $LCHMi = 50.5 \ 100.4 \ 40$   
 $LCHo = 56.7 \ 77.4 \ 40$   
 $tchMi = 0.5 \ 1.0 \ 0.111$   
 $tchMo = 0.5 \ 1.0 \ 0.111$

**Keine Bunttonänderung der Ausgabefarbe M**  
**Keine relative Buntheitsänderung der Ausgabefarbe M**



**Relatives CIELAB-Buntheitsdiagramm:** ( $a_R^* = lab^*a$ ,  $b_R^* = lab^*b$ ) und **absolutes CIELAB Bunttondreiecks-Diagramm:** ( $L^*$ ,  $C_{ab}^*$ ) für Ein- (---) und Ausgabe (----) TLS00: Eingabe (i) Farbmatrik-Sytem; Sechs Bunttonwinkel des Farbgerätes: (40.0, 102.8, 136.0, 196.4, 306.3, 328.2); Vier Bunttonwinkel der Elementarfarben: (25.5, 92.3, 162.2, 271.7) SRS18: Ausgabe (o) Farbmatrik-Sytem; Sechs Bunttonwinkel des Farbgerätes: (30.0, 90.0, 150.0, 210.0, 270.0, 330.0); Vier Bunttonwinkel der Elementarfarben: (25.5, 92.3, 162.2, 271.7)

#### Y Gelb

$olv3Mi = 1.0 \ 1.0 \ 0.0$   
 $olv3Mo = 0.619 \ 1.0 \ 0.0$   
 $LCHMi = 92.7 \ 93.1 \ 103$   
 $LCHo = 56.7 \ 77.4 \ 113$   
 $tchMi = 0.5 \ 1.0 \ 0.286$   
 $tchMo = 0.5 \ 1.0 \ 0.313$

#### L Laubgrün

$olv3Mi = 0.0 \ 1.0 \ 0.0$   
 $olv3Mo = 0.066 \ 1.0 \ 0.0$   
 $LCHMi = 83.6 \ 115.0 \ 136$   
 $LCHo = 56.7 \ 77.4 \ 146$   
 $tchMi = 0.5 \ 1.0 \ 0.378$   
 $tchMo = 0.5 \ 1.0 \ 0.406$

#### C Cyanblau

$olv3Mi = 0.0 \ 1.0 \ 1.0$   
 $olv3Mo = 0.0 \ 1.0 \ 0.94$   
 $LCHMi = 86.9 \ 48.1 \ 196$   
 $LCHo = 56.7 \ 77.4 \ 206$   
 $tchMi = 0.5 \ 1.0 \ 0.545$   
 $tchMo = 0.5 \ 1.0 \ 0.573$

#### O Orangerot

$olv3Mi = 1.0 \ 0.0 \ 0.0$   
 $olv3Mo = 1.0 \ 0.334 \ 0.0$   
 $LCHMi = 50.5 \ 100.4 \ 40$   
 $LCHo = 56.7 \ 77.4 \ 50$   
 $tchMi = 0.5 \ 1.0 \ 0.111$   
 $tchMo = 0.5 \ 1.0 \ 0.139$

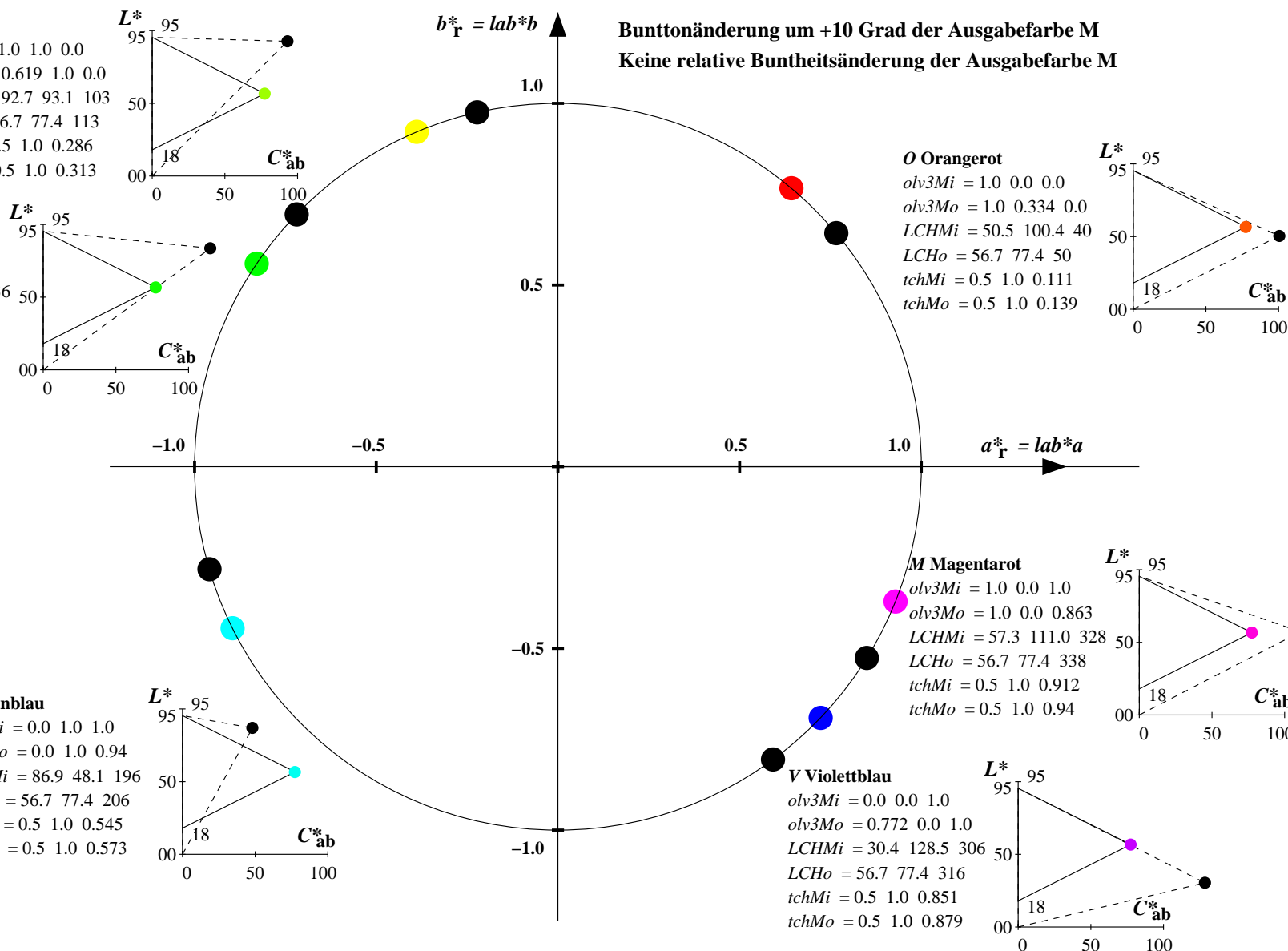
#### M Magentarot

$olv3Mi = 1.0 \ 0.0 \ 1.0$   
 $olv3Mo = 1.0 \ 0.0 \ 0.863$   
 $LCHMi = 57.3 \ 111.0 \ 328$   
 $LCHo = 56.7 \ 77.4 \ 338$   
 $tchMi = 0.5 \ 1.0 \ 0.912$   
 $tchMo = 0.5 \ 1.0 \ 0.94$

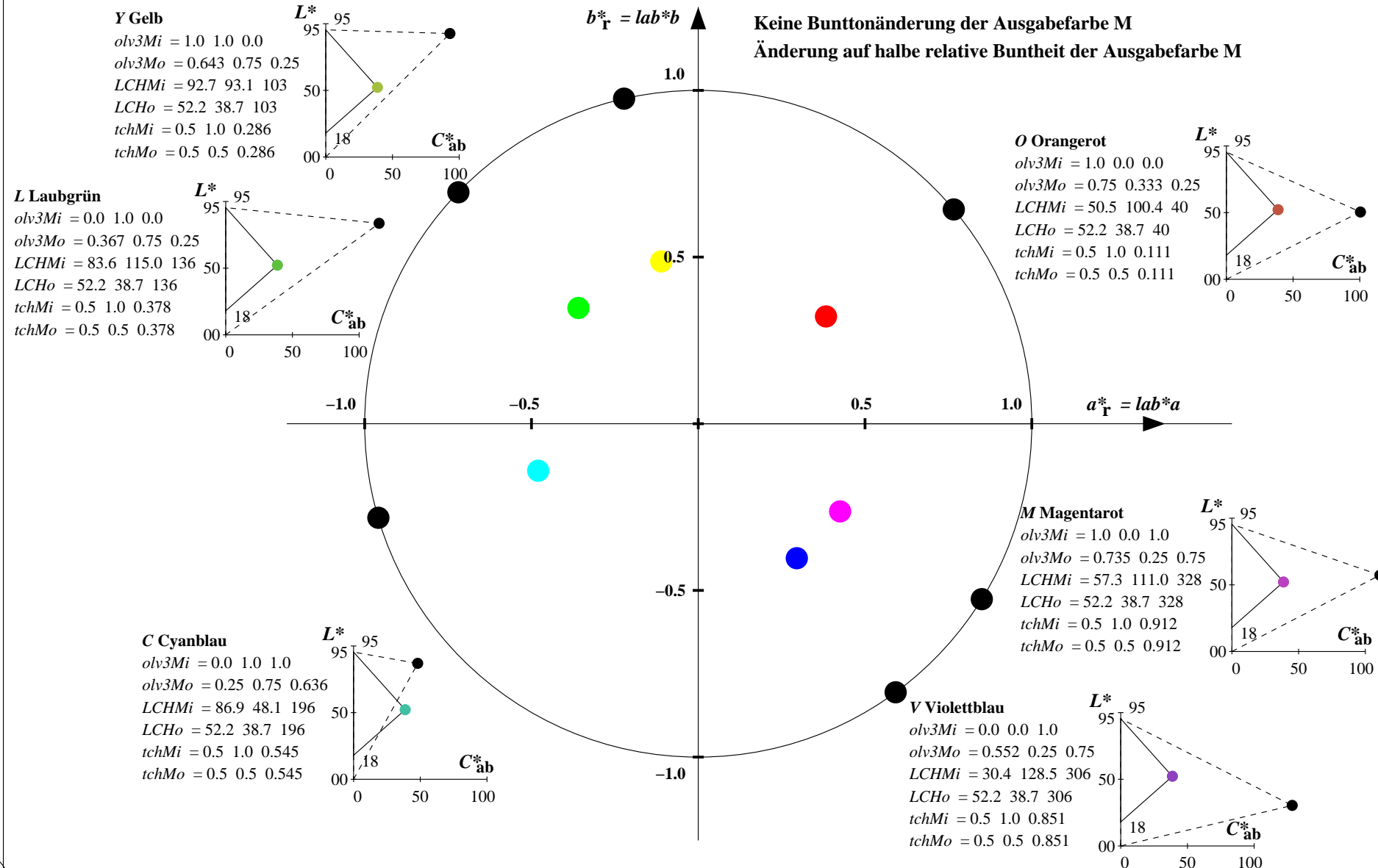
#### V Violettblau

$olv3Mi = 0.0 \ 0.0 \ 1.0$   
 $olv3Mo = 0.772 \ 0.0 \ 1.0$   
 $LCHMi = 30.4 \ 128.5 \ 306$   
 $LCHo = 56.7 \ 77.4 \ 316$   
 $tchMi = 0.5 \ 1.0 \ 0.851$   
 $tchMo = 0.5 \ 1.0 \ 0.879$

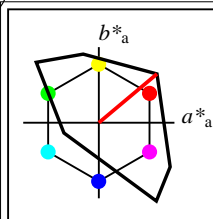
**Bunttonänderung um +10 Grad der Ausgabefarbe M**  
**Keine relative Buntheitsänderung der Ausgabefarbe M**



**Relatives CIELAB-Buntheitsdiagramm:** ( $a_R^* = lab^*a$ ,  $b_R^* = lab^*b$ ) und **absolutes CIELAB Bunttondreiecks-Diagramm:** ( $L^*$ ,  $C_{ab}^*$ ) für Ein- (---) und Ausgabe (----) TLS00: Eingabe (i) Farbmatrik-Sytem; Sechs Bunttonwinkel des Farbgerätes: (40.0, 102.8, 136.0, 196.4, 306.3, 328.2); Vier Bunttonwinkel der Elementarfarben: (25.5, 92.3, 162.2, 271.7) SRS18: Ausgabe (o) Farbmatrik-Sytem; Sechs Bunttonwinkel des Farbgerätes: (30.0, 90.0, 150.0, 210.0, 270.0, 330.0); Vier Bunttonwinkel der Elementarfarben: (25.5, 92.3, 162.2, 271.7)

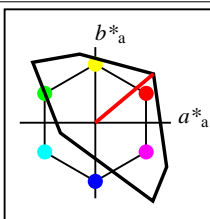






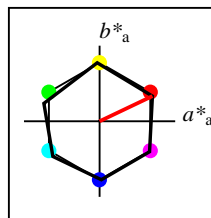
%Umfang  
 $u^*_{rel} = 158$   
%Regularität  
 $g^*_{H,rel} = 20$   
 $g^*_{C,rel} = 37$

TLS00	$L^*=L^*_a$	$a^*_a$	$b^*_a$	$C^*_{ab,a}$	$h^*_{ab,a}$
O <sub>M</sub>	50.5	76.92	64.55	100.42	40
Y <sub>M</sub>	92.66	-20.69	90.75	93.08	103
L <sub>M</sub>	83.63	-82.75	79.9	115.04	136
C <sub>M</sub>	86.88	-46.16	-13.55	48.12	196
V <sub>M</sub>	30.39	76.06	-103.59	128.52	306
M <sub>M</sub>	57.3	94.35	-58.41	110.97	328
N <sub>M</sub>	0.01	0.0	0.0	0.0	0
W <sub>M</sub>	95.41	0.0	0.0	0.0	0
R <sub>CIE</sub>	39.92	58.74	27.99	65.07	25
J <sub>CIE</sub>	81.26	-2.88	71.56	71.62	92
G <sub>CIE</sub>	52.23	-42.41	13.6	44.55	162
B <sub>CIE</sub>	30.57	1.41	-46.46	46.49	272



%Umfang  
 $u^*_{rel} = 158$   
%Regularität  
 $g^*_{H,rel} = 20$   
 $g^*_{C,rel} = 37$

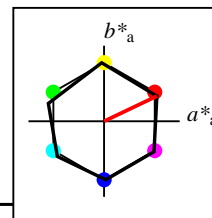
TLS00a; adaptierte CIELAB-Daten	$L^*=L^*_a$	$a^*_a$	$b^*_a$	$C^*_{ab,a}$	$h^*_{ab,a}$
O <sub>Ma</sub>	50.5	76.92	64.55	100.42	40
Y <sub>Ma</sub>	92.66	-20.69	90.75	93.08	103
L <sub>Ma</sub>	83.63	-82.75	79.9	115.04	136
C <sub>Ma</sub>	86.88	-46.16	-13.55	48.12	196
V <sub>Ma</sub>	30.39	76.06	-103.59	128.52	306
M <sub>Ma</sub>	57.3	94.35	-58.41	110.97	328
N <sub>Ma</sub>	0.01	0.0	0.0	0.0	0
W <sub>Ma</sub>	95.41	0.0	0.0	0.0	0
R <sub>CIE</sub>	39.92	58.74	27.99	65.07	25
J <sub>CIE</sub>	81.26	-2.88	71.56	71.62	92
G <sub>CIE</sub>	52.23	-42.41	13.6	44.55	162
B <sub>CIE</sub>	30.57	1.41	-46.46	46.49	272



%Umfang  
 $u^*_{rel} = 100$   
%Regularität  
 $g^*_{H,rel} = 78$   
 $g^*_{C,rel} = 100$

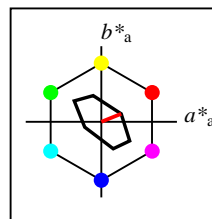
NRS18a; adaptierte CIELAB-Daten	$L^*=L^*_a$	$a^*_a$	$b^*_a$	$C^*_{ab,a}$	$h^*_{ab,a}$
O <sub>Ma</sub>	56.71	69.87	33.29	77.4	25
Y <sub>Ma</sub>	56.71	-3.1	77.34	77.4	92
L <sub>Ma</sub>	56.71	-73.68	23.63	77.39	162
C <sub>Ma</sub>	56.71	-61.81	-46.54	77.39	217
V <sub>Ma</sub>	56.71	2.35	-77.34	77.39	272
M <sub>Ma</sub>	56.71	66.07	-40.3	77.4	329
N <sub>Ma</sub>	18.01	0.0	0.0	0.0	0
W <sub>Ma</sub>	95.41	0.0	0.0	0.0	0
R <sub>CIE</sub>	39.92	58.74	27.99	65.07	25
J <sub>CIE</sub>	81.26	-2.88	71.56	71.62	92
G <sub>CIE</sub>	52.23	-42.41	13.6	44.55	162
B <sub>CIE</sub>	30.57	1.41	-46.46	46.49	272

Workflow-Wahlen  
für Farbmuster:  
1. keine Farbänderung  
2. Buntton-Änderung  
3. Buntheits-Änderung



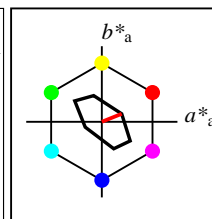
%Umfang  
 $u^*_{rel} = 100$   
%Regularität  
 $g^*_{H,rel} = 78$   
 $g^*_{C,rel} = 100$

NRS18a; adaptierte CIELAB-Daten	$L^*=L^*_a$	$a^*_a$	$b^*_a$	$C^*_{ab,a}$	$h^*_{ab,a}$
O <sub>Ma</sub>	56.71	69.87	33.29	77.4	25
Y <sub>Ma</sub>	56.71	-3.1	77.34	77.4	92
L <sub>Ma</sub>	56.71	-73.68	23.63	77.39	162
C <sub>Ma</sub>	56.71	-61.81	-46.54	77.39	217
V <sub>Ma</sub>	56.71	2.35	-77.34	77.39	272
M <sub>Ma</sub>	56.71	66.07	-40.3	77.4	329
N <sub>Ma</sub>	18.01	0.0	0.0	0.0	0
W <sub>Ma</sub>	95.41	0.0	0.0	0.0	0
R <sub>CIE</sub>	39.92	58.74	27.99	65.07	25
J <sub>CIE</sub>	81.26	-2.88	71.56	71.62	92
G <sub>CIE</sub>	52.23	-42.41	13.6	44.55	162
B <sub>CIE</sub>	30.57	1.41	-46.46	46.49	272



%Umfang  
 $u^*_{rel} = 16$   
%Regularität  
 $g^*_{H,rel} = 34$   
 $g^*_{C,rel} = 51$

TLS70a; adaptierte CIELAB-Daten	$L^*=L^*_a$	$a^*_a$	$b^*_a$	$C^*_{ab,a}$	$h^*_{ab,a}$
O <sub>Ma</sub>	76.43	26.27	10.57	28.32	22
Y <sub>Ma</sub>	93.93	-10.76	34.63	36.27	107
L <sub>Ma</sub>	89.32	-35.8	27.64	45.24	142
C <sub>Ma</sub>	90.93	-21.95	-7.07	23.07	198
V <sub>Ma</sub>	72.1	15.76	-35.63	38.97	294
M <sub>Ma</sub>	78.5	37.52	-25.23	45.22	326
N <sub>Ma</sub>	69.7	0.0	0.0	0.0	0
W <sub>Ma</sub>	95.41	0.0	0.0	0.0	0
R <sub>CIE</sub>	39.92	58.74	27.99	65.07	25
J <sub>CIE</sub>	81.26	-2.88	71.56	71.62	92
G <sub>CIE</sub>	52.23	-42.41	13.6	44.55	162
B <sub>CIE</sub>	30.57	1.41	-46.46	46.49	272



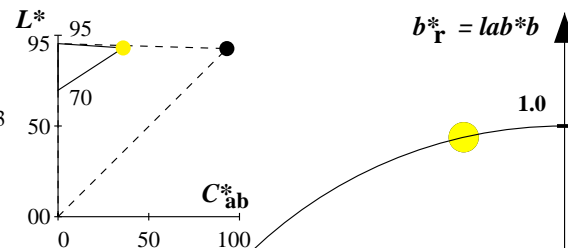
%Umfang  
 $u^*_{rel} = 16$   
%Regularität  
 $g^*_{H,rel} = 34$   
 $g^*_{C,rel} = 51$

TLS70	$L^*=L^*_a$	$a^*_a$	$b^*_a$	$C^*_{ab,a}$	$h^*_{ab,a}$
O <sub>M</sub>	76.43	26.27	10.57	28.32	22
Y <sub>M</sub>	93.93	-10.76	34.63	36.27	107
L <sub>M</sub>	89.32	-35.8	27.64	45.24	142
C <sub>M</sub>	90.93	-21.95	-7.07	23.07	198
V <sub>M</sub>	72.1	15.76	-35.63	38.97	294
M <sub>M</sub>	78.5	37.52	-25.23	45.22	326
N <sub>M</sub>	69.7	0.0	0.0	0.0	0
W <sub>M</sub>	95.41	0.0	0.0	0.0	0
R <sub>CIE</sub>	39.92	58.74	27.99	65.07	25
J <sub>CIE</sub>	81.26	-2.88	71.56	71.62	92
G <sub>CIE</sub>	52.23	-42.41	13.6	44.55	162
B <sub>CIE</sub>	30.57	1.41	-46.46	46.49	272

**Relatives CIELAB-Buntheitsdiagramm:** ( $a^*_r = lab^*a$ ,  $b^*_r = lab^*b$ ) und **absolutes CIELAB Bunttondreiecks-Diagramm:** ( $L^*$ ,  $C^*_{ab}$ ) für Ein- (---) und Ausgabe (----) TLS00: Eingabe (i) Farbmatrik-Sytem; Sechs Bunttonwinkel des Farbgerätes: (40.0, 102.8, 136.0, 196.4, 306.3, 328.2); Vier Bunttonwinkel der Elementarfarben: (25.5, 92.3, 162.2, 271.7)  
TLS70: Ausgabe (o) Farbmatrik-Sytem; Sechs Bunttonwinkel des Farbgerätes: (21.9, 107.3, 142.3, 197.9, 293.9, 326.1); Vier Bunttonwinkel der Elementarfarben: (25.5, 92.3, 162.2, 271.7)

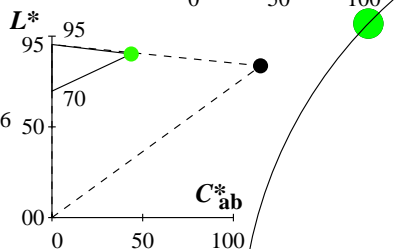
#### Y Gelb

$olv3Mi = 1.0 \ 1.0 \ 0.0$   
 $olv3Mo = 1.0 \ 0.948 \ 0.0$   
 $LCHMi = 92.7 \ 93.1 \ 103$   
 $LCHo = 93.0 \ 35.9 \ 103$   
 $tchMi = 0.5 \ 1.0 \ 0.286$   
 $tchMo = 0.5 \ 1.0 \ 0.286$



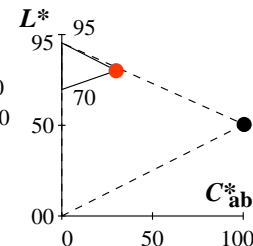
#### L Laubgrün

$olv3Mi = 0.0 \ 1.0 \ 0.0$   
 $olv3Mo = 0.181 \ 1.0 \ 0.0$   
 $LCHMi = 83.6 \ 115.0 \ 136$   
 $LCHo = 90.2 \ 43.6 \ 136$   
 $tchMi = 0.5 \ 1.0 \ 0.378$   
 $tchMo = 0.5 \ 1.0 \ 0.378$



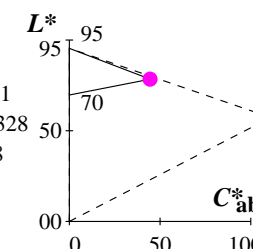
#### O Orangerot

$olv3Mi = 1.0 \ 0.0 \ 0.0$   
 $olv3Mo = 1.0 \ 0.212 \ 0.0$   
 $LCHMi = 50.5 \ 100.4 \ 40$   
 $LCHo = 80.1 \ 30.0 \ 40$   
 $tchMi = 0.5 \ 1.0 \ 0.111$   
 $tchMo = 0.5 \ 1.0 \ 0.111$



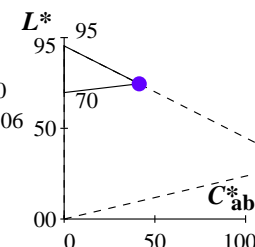
#### M Magentarot

$olv3Mi = 1.0 \ 0.0 \ 1.0$   
 $olv3Mo = 1.0 \ 0.0 \ 0.961$   
 $LCHMi = 57.3 \ 111.0 \ 328$   
 $LCHo = 78.4 \ 44.6 \ 328$   
 $tchMi = 0.5 \ 1.0 \ 0.912$   
 $tchMo = 0.5 \ 1.0 \ 0.912$



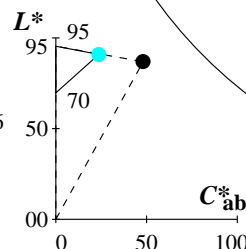
#### V Violettblau

$olv3Mi = 0.0 \ 0.0 \ 1.0$   
 $olv3Mo = 0.386 \ 0.0 \ 1.0$   
 $LCHMi = 30.4 \ 128.5 \ 306$   
 $LCHo = 74.6 \ 41.4 \ 306$   
 $tchMi = 0.5 \ 1.0 \ 0.851$   
 $tchMo = 0.5 \ 1.0 \ 0.851$



#### C Cyanblau

$olv3Mi = 0.0 \ 1.0 \ 1.0$   
 $olv3Mo = 0.0 \ 1.0 \ 0.973$   
 $LCHMi = 86.9 \ 48.1 \ 196$   
 $LCHo = 90.9 \ 23.7 \ 196$   
 $tchMi = 0.5 \ 1.0 \ 0.545$   
 $tchMo = 0.5 \ 1.0 \ 0.545$



Keine Bunttonänderung der Ausgabefarbe M

Keine relative Buntheitsänderung der Ausgabefarbe M

Siehe ähnliche Dateien: <http://www.ps.bam.de/YG61/>  
Technische Information: <http://www.ps.bam.de> Version 2.1, io=1,1, CIELAB

BAM-Registrierung: 20061101-YG61/10L/L61G10FP.PS/.PDF BAM-Material: Code=rh4ta  
Anwendung für Beurteilung und Messung von Drucker- oder Monitorsystemen  
/YG61/ Form: 30/8, Serie: 1/1, Seite: 30  
Seite 30/32

**Relatives CIELAB-Buntheitsdiagramm:** ( $a^*_r = lab^*a$ ,  $b^*_r = lab^*b$ ) und **absolutes CIELAB Bunttondreiecks-Diagramm:** ( $L^*$ ,  $C^*_{ab}$ ) für Ein- (---) und Ausgabe (----) TLS00: Eingabe (i) Farbmatrik-Sytem; Sechs Bunttonwinkel des Farbgerätes: (40.0, 102.8, 136.0, 196.4, 306.3, 328.2); Vier Bunttonwinkel der Elementarfarben: (25.5, 92.3, 162.2, 271.7)  
TLS70: Ausgabe (o) Farbmatrik-Sytem; Sechs Bunttonwinkel des Farbgerätes: (21.9, 107.3, 142.3, 197.9, 293.9, 326.1); Vier Bunttonwinkel der Elementarfarben: (25.5, 92.3, 162.2, 271.7)

#### Y Gelb

$olv3Mi = 1.0 \ 1.0 \ 0.0$   
 $olv3Mo = 0.841 \ 1.0 \ 0.0$   
 $LCHMi = 92.7 \ 93.1 \ 103$   
 $LCHo = 93.2 \ 37.7 \ 113$   
 $tchMi = 0.5 \ 1.0 \ 0.286$   
 $tchMo = 0.5 \ 1.0 \ 0.313$

#### L Laubgrün

$olv3Mi = 0.0 \ 1.0 \ 0.0$   
 $olv3Mo = 0.0 \ 1.0 \ 0.066$   
 $LCHMi = 83.6 \ 115.0 \ 136$   
 $LCHo = 89.4 \ 43.8 \ 146$   
 $tchMi = 0.5 \ 1.0 \ 0.378$   
 $tchMo = 0.5 \ 1.0 \ 0.406$

#### C Cyanblau

$olv3Mi = 0.0 \ 1.0 \ 1.0$   
 $olv3Mo = 0.0 \ 0.911 \ 1.0$   
 $LCHMi = 86.9 \ 48.1 \ 196$   
 $LCHo = 89.3 \ 24.5 \ 206$   
 $tchMi = 0.5 \ 1.0 \ 0.545$   
 $tchMo = 0.5 \ 1.0 \ 0.573$

#### O Orangerot

$olv3Mi = 1.0 \ 0.0 \ 0.0$   
 $olv3Mo = 1.0 \ 0.329 \ 0.0$   
 $LCHMi = 50.5 \ 100.4 \ 40$   
 $LCHo = 82.2 \ 30.9 \ 50$   
 $tchMi = 0.5 \ 1.0 \ 0.111$   
 $tchMo = 0.5 \ 1.0 \ 0.139$

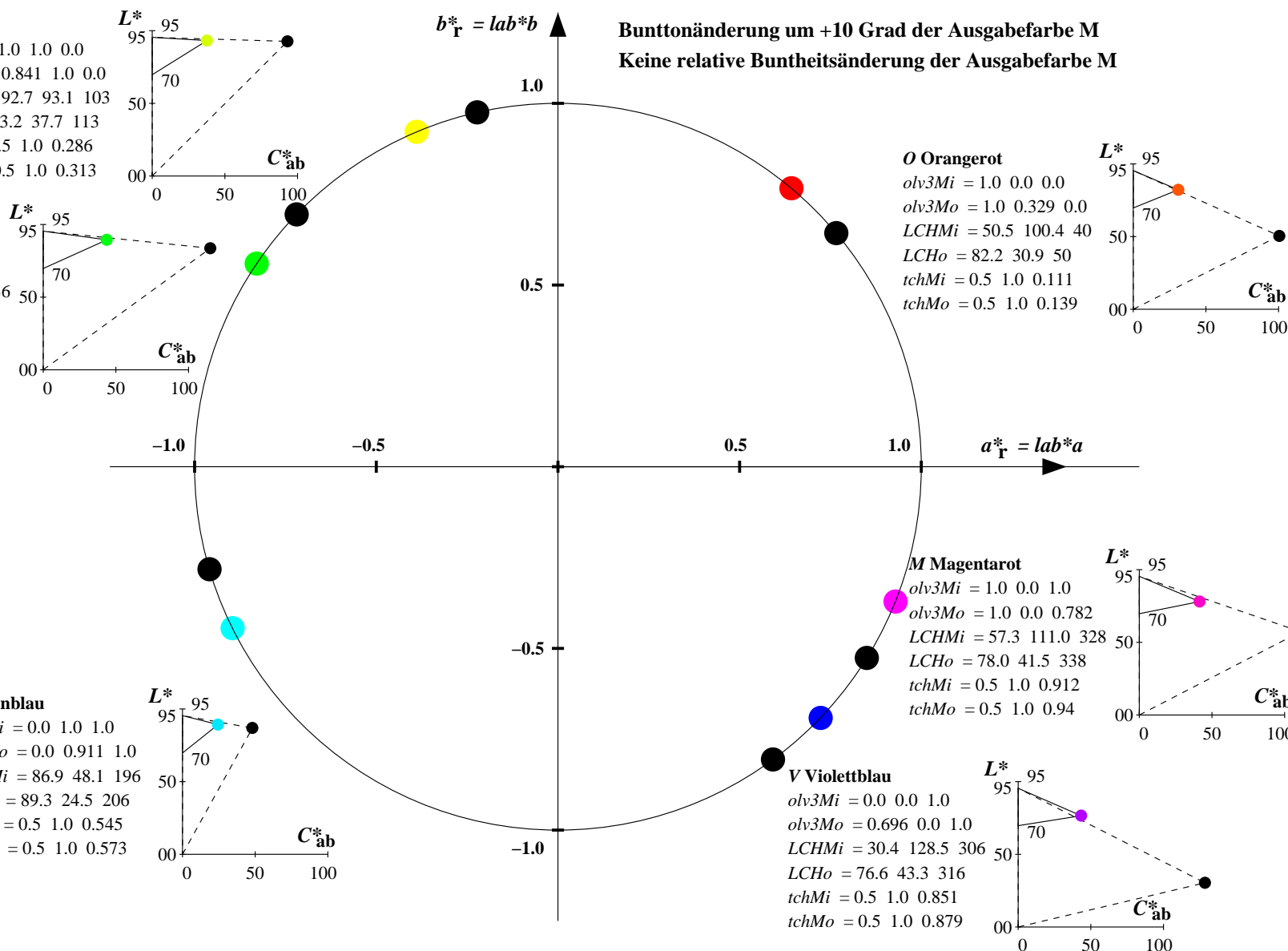
#### M Magentarot

$olv3Mi = 1.0 \ 0.0 \ 1.0$   
 $olv3Mo = 1.0 \ 0.0 \ 0.782$   
 $LCHMi = 57.3 \ 111.0 \ 328$   
 $LCHo = 78.0 \ 41.5 \ 338$   
 $tchMi = 0.5 \ 1.0 \ 0.912$   
 $tchMo = 0.5 \ 1.0 \ 0.94$

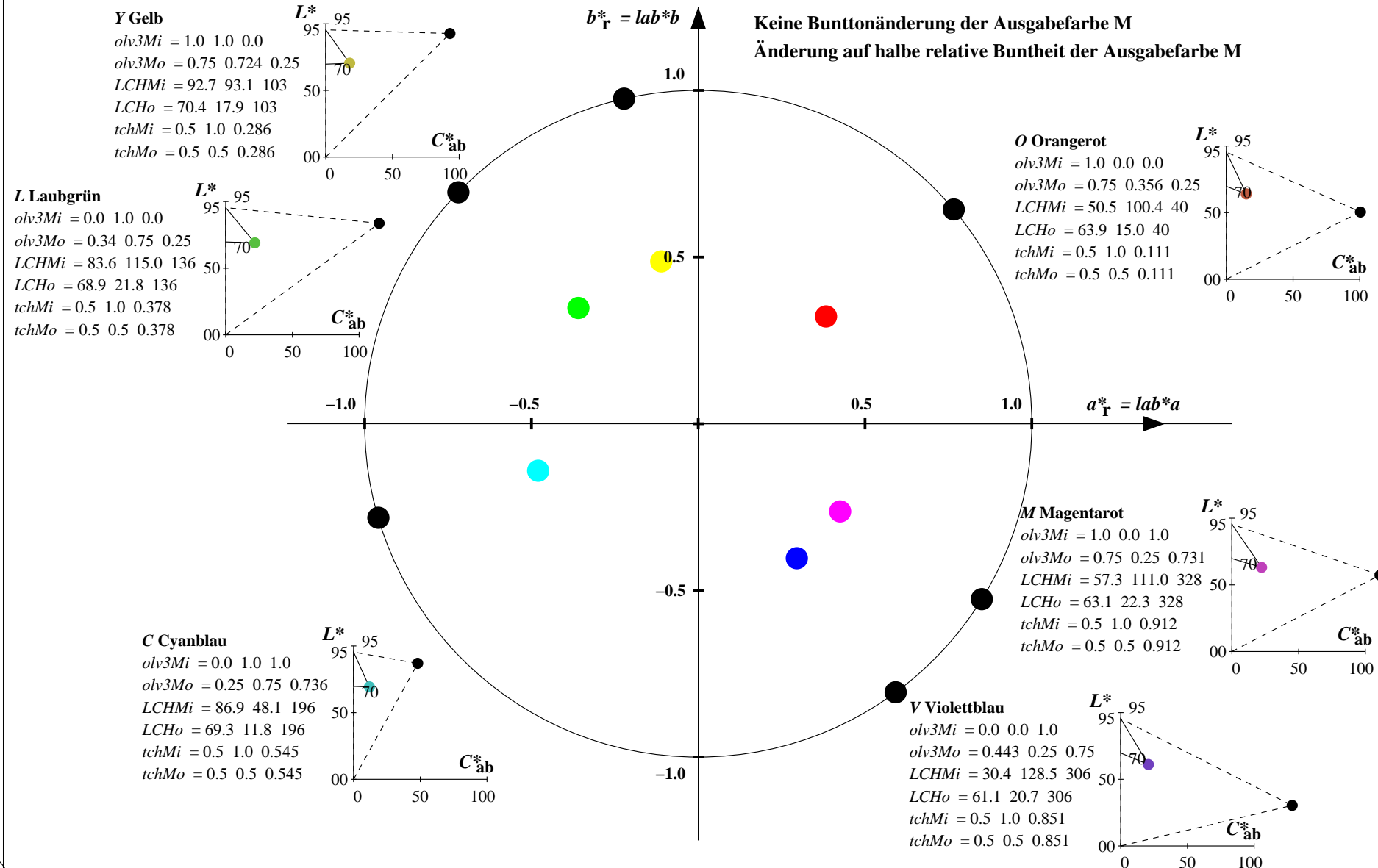
#### V Violettblau

$olv3Mi = 0.0 \ 0.0 \ 1.0$   
 $olv3Mo = 0.696 \ 0.0 \ 1.0$   
 $LCHMi = 30.4 \ 128.5 \ 306$   
 $LCHo = 76.6 \ 43.3 \ 316$   
 $tchMi = 0.5 \ 1.0 \ 0.851$   
 $tchMo = 0.5 \ 1.0 \ 0.879$

**Bunttonänderung um +10 Grad der Ausgabefarbe M**  
**Keine relative Buntheitsänderung der Ausgabefarbe M**



**Relatives CIELAB-Buntheitsdiagramm:** ( $a_R^* = lab^*a$ ,  $b_R^* = lab^*b$ ) und **absolutes CIELAB Bunttondreiecks-Diagramm:** ( $L^*$ ,  $C_{ab}^*$ ) für Ein- (---) und Ausgabe (----) TLS00: Eingabe (i) Farbmatrik-Sytem; Sechs Bunttonwinkel des Farbgerätes: (40.0, 102.8, 136.0, 196.4, 306.3, 328.2); Vier Bunttonwinkel der Elementarfarben: (25.5, 92.3, 162.2, 271.7)  
TLS70: Ausgabe (o) Farbmatrik-Sytem; Sechs Bunttonwinkel des Farbgerätes: (21.9, 107.3, 142.3, 197.9, 293.9, 326.1); Vier Bunttonwinkel der Elementarfarben: (25.5, 92.3, 162.2, 271.7)



YG610-7, Farb-Management-Workflow: Geräte-Farbeingabedaten des Farbenraums TLS00 -> Geräte-Farbausgabedaten des Farbenraums TLS70, Seite 32/32

BAM-Prüfvorlage YG61; Farbmatrikworkflow TLS00->TLS70 Eingabe: olv\* setrgbcolor  
D65: 6 Grundfarben; Geräte- und Musterdaten; Seite 32/32 Ausgabe: olv\*' (TRI9) setrgbcolor